



ใบรับรองวิทยานิพนธ์
บัณฑิตวิทยาลัย มหาวิทยาลัยเกษตรศาสตร์

วิศวกรรมศาสตร์มหาบัณฑิต (วิศวกรรมสิ่งแวดล้อม)

ปริญญา

วิศวกรรมสิ่งแวดล้อม

สาขา

วิศวกรรมสิ่งแวดล้อม

ภาควิชา

เรื่อง การผลิตกระแสไฟฟ้าจากน้ำเสียโดยใช้เซลล์เชื้อเพลิงจุลชีพ

Production of Electricity from Wastewater Using Microbial Fuel Cell

นามผู้วิจัย นายณัฐสิริ แสงธรรมชร

ได้พิจารณาเห็นชอบโดย

อาจารย์ที่ปรึกษาวิทยานิพนธ์หลัก

(ผู้ช่วยศาสตราจารย์นฤมล วงศ์ธนากุล, D.Eng.)

อาจารย์ที่ปรึกษาวิทยานิพนธ์ร่วม

(ผู้ช่วยศาสตราจารย์นิพนธ์ พิสุทธิ์ไพบูล, Ph.D.)

หัวหน้าภาควิชา

(ผู้ช่วยศาสตราจารย์มงคล ดำรงค์ศรี, Dr.Ing.)

บัณฑิตวิทยาลัย มหาวิทยาลัยเกษตรศาสตร์รับรองแล้ว

(รองศาสตราจารย์กัญจนा ธีระกุล, D.Agr.)

คณบดีบัณฑิตวิทยาลัย

วันที่ เดือน พ.ศ.

วิทยานิพนธ์

เรื่อง

การผลิตกระแสไฟฟ้าจากน้ำเสียโดยใช้เซลล์เชื้อเพลิงจุลชีพ

Production of Electricity from Wastewater Using Microbial Fuel Cell

โดย

นายณัฐสิริ แสงธรรมธร

เสนอ

บัณฑิตวิทยาลัย มหาวิทยาลัยเกษตรศาสตร์

เพื่อความสมบูรณ์แห่งปริญญาวิศวกรรมศาสตรมหาบัณฑิต (วิศวกรรมสิ่งแวดล้อม)

พ.ศ. 2552

ณัฐสิริ แสงธรรมชร 2552: การผลิตกระแสไฟฟ้าจากน้ำเสียโดยใช้เซลล์เชือเพลิงจุลชีพ ปริญญา
วิศวกรรมศาสตรมหาบัณฑิต (วิศวกรรมสิ่งแวดล้อม) สาขาวิศวกรรมสิ่งแวดล้อม ภาควิชาวิศวกรรม
สิ่งแวดล้อม อาจารย์ที่ปรึกษาวิทยานิพนธ์หลัก: ผู้ช่วยศาสตราจารย์นฤมล วงศ์ชนาสุนทร, D.Eng.
92 หน้า

งานวิจัยนี้ศึกษาการผลิตกระแสไฟฟ้าจากน้ำเสีย 3 ชนิดในการทดลอง คือ น้ำเสียสังเคราะห์ น้ำากส่า
และน้ำเสียโรงอาหาร โดยใช้เซลล์เชือเพลิงจุลชีพแบบห้องสูญ ในการทดลอง ได้ทำการประเมินความเข้มข้นค่าบี
ไอโอดีของน้ำเสียรีมตัน คือ 125, 250, 400, 600, 800 และ 1,000 มิลลิกรัมต่อลิตร ค่าไฟอิชของน้ำเสียรีมตัน
เท่ากับ 7 อัตราการป้อนน้ำเสียเข้าครึ่งเซลล์แอโนดตลอดการทดลองเท่ากับ 0.35 มิลลิตรต่อนาที ส่วนน้ำที่
อั่นตัวด้วยออกซิเจนถูกป้อนเข้าครึ่งเซลล์แคโทดที่อัตราการไหล 5 มิลลิลิตรต่อนาที ความด้านทานใน
วงจรไฟฟ้ากำหนดคงที่เท่ากับ 10 โอม ผลการทดลองพบว่าปริมาณกระแสไฟฟ้าผลิตได้สูงที่สุด จากน้ำเสีย
สังเคราะห์ รองลงมาคือน้ำากส่า และน้ำเสียโรงอาหาร ที่ความเข้มข้นของบีไอโอดี 1,000 มิลลิกรัมต่อลิตร โดย
ค่ากระแสไฟฟ้าที่ผลิตได้เท่ากับ 0.92, 0.78 และ 0.70 มิลลิแอมเปอร์ ตามลำดับ ปริมาณกระแสไฟฟ้าที่ผลิตได้
ประเมินโดยตรงกับความเข้มข้นบีไอโอดีของน้ำเสียรีมตันที่ป้อนเข้าสู่ครึ่งเซลล์แอโนดสำหรับน้ำเสียทั้ง 3 ชนิด
สำหรับประสิทธิภาพในการกำจัดค่าบีไอโอดีและซีไอโอดีในน้ำเสียแต่ละชนิดมีความแตกต่างกัน โดยน้ำเสีย
สังเคราะห์มีประสิทธิภาพในการกำจัดบีไอโอดีสูงที่สุด คือประมาณ 76 เปอร์เซ็นต์ รองลงมาคือ น้ำเสียสังเคราะห์มี
และน้ำากส่า เท่ากับ 67 และ 63 เปอร์เซ็นต์ ตามลำดับ ในส่วนของการกำจัดซีไอโอดี น้ำเสียสังเคราะห์มี
เบอร์เซ็นต์การกำจัดสูงที่สุด รองลงมาคือ น้ำเสียโรงอาหาร และน้ำากส่า ได้ค่าเท่ากับ 76, 50 และ 30
เปอร์เซ็นต์ขึ้นไปตามลำดับ เซลล์เชือเพลิงจุลชีพสามารถผลิตพลังงานไฟฟ้าสูงสุดได้ 0.145 กิโลวัตต์-ชั่วโมง

Natsiri Sangthammathorn 2009: Production of Electricity from Wastewater Using Microbial Fuel Cell. Master of Engineering (Environmental Engineering), Major Field: Environmental Engineering, Department of Environmental Engineering. Thesis Advisor: Assistant Professor Narumol Vongthanasunthorn, D.Eng. 92 pages.

The study investigated the electrical current generation from 3 types of wastewaters including synthetic, distillery and canteen wastewater, using double chamber microbial fuel cells (MFCs). The biochemical oxygen demand (BOD) concentrations of influent were varied as 125, 250, 400, 600, 800 and 1000 mg L⁻¹. pH of influent was fixed at 7. The wastewater was fed into a half-cell anode chamber with fixed flow rate of 0.35 mL min⁻¹, while the oxygen-saturated distilled water was fed into a half-cell cathodic chamber with a fixed flow rate of 5 mL min⁻¹. The circuit resistance was fixed at 10 ohms. The results showed that maximum current output obtained from the synthetic wastewater, distillery wastewater and canteen wastewater of King Mongkut' University of Technology North Bangkok with the BOD concentration of 1000 mg L⁻¹ were 0.92 0.78 \approx 0.7 mA, respectively. The produced electrical currents were directly proportional to the BOD concentrations in the influent for all types of wastewater, whereas BOD and COD removal efficiencies were dependent on the types of wastewater. The BOD removal efficiencies of synthetic, canteen and distillery wastewaters were 76, 67 and 63%, respectively, while removal efficiencies of synthetic, canteen and distillery wastewaters were 76, 50 and 30%, respectively. In this study, MFCs can produce the electrical energy of 0.145 kW – hr.

Student's signature

Thesis Advisor's signature

/ ____ / ____

กิตติกรรมประกาศ

กราบขอบพระคุณ ผู้ช่วยศาสตราจารย์ ดร.นฤมล วงศ์ธนานาสุนทร ประธานกรรมการที่ปรึกษาวิทยานิพนธ์หลัก ผู้ช่วยศาสตราจารย์ ดร.นิพนธ์ พิสุทธิ์ไพศาล กรรมการที่ปรึกษาวิทยานิพนธ์ร่วม ผู้ให้คำปรึกษาในการเรียน การค้นคว้าวิจัย และเสียสละเวลาในการตรวจแก้ไข วิทยานิพนธ์จนกระทั้งเสร็จสมบูรณ์ นอกจากนี้ผู้วิจัยขอกราบขอบพระคุณ รองศาสตราจารย์ กัชรา กรณ์ สุวรรณวิทยา ประธานการสอน และ ผู้ช่วยศาสตราจารย์ ดร.ชลอ จาลุสุทธิรักษ์ ผู้ทรงคุณวุฒิ ภายนอก ที่ได้กรุณามาก ให้คำชี้แนะอันมีประโยชน์อย่างยิ่งแก่ผู้วิจัย อีกทั้งได้กรุณาตรวจสอบแก้ไข วิทยานิพนธ์ฉบับนี้ให้มีความสมบูรณ์ยิ่งขึ้น

วิทยานิพนธ์นี้ได้รับการสนับสนุนจากกองทุนเพื่อส่งเสริมการอนุรักษ์พลังงาน สำนักงานนโยบายและแผนพลังงาน ผู้วิจัยขอขอบคุณรุ่นพี่ปริญญาโททุกท่าน และเพื่อ恩รุ่นปริญญาโท เจ้าหน้าที่ภาควิชาวิศวกรรมสิ่งแวดล้อม ที่ให้ความอนุเคราะห์เครื่องมือ อุปกรณ์ และอำนวยความสะดวกต่าง ๆ ในการวิจัยครั้งนี้

ท้ายที่สุดนี้ขอกราบขอบพระคุณ คุณพ่อ คุณแม่ พี่สาว และน้องชายผู้ช่วยสร้างครอบครัวที่อบอุ่น ผู้เป็นความรักและกำลังใจที่ยิ่งใหญ่ให้แก่ข้าพเจ้า โดยเฉพาะคุณพ่อและคุณแม่ผู้ช่วยเป็นแรงบันดาลใจให้การสนับสนุนข้าพเจ้าเสมอมา

ณัฐสิริ แสงธรรมชร
มีนาคม 2552

สารบัญ

หน้า

สารบัญ	(1)
สารบัญตาราง	(2)
สารบัญภาพ	(3)
คำอธิบายสัญลักษณ์และคำย่อ	(6)
คำนำ	1
วัตถุประสงค์	2
การตรวจสอบสาร	3
อุปกรณ์และวิธีการ	29
อุปกรณ์	29
วิธีการ	39
ผลการทดลองและวิจารณ์ผลการทดลอง	42
สรุปและข้อเสนอแนะ	62
สรุป	62
ข้อเสนอแนะ	63
เอกสารและสิ่งที่น้ำหนัก	64
ภาคผนวก	70
ภาคผนวก ก นำเสียงเคราะห์ที่ใช้ในการทดลอง	71
ภาคผนวก ข การวิเคราะห์ซีโอดี	73
ภาคผนวก ค การวิเคราะห์บีโอดี	77
ภาคผนวก ง ตารางบันทึกผลการทดลอง	82
ประวัติการศึกษาและการทำงาน	92

สารบัญตาราง

	ตารางที่	หน้า
1	ชาตุอาหารเสริมที่เหมาะสมสำหรับการย่อยสลายแบบไร้ออกซิเจน	7
2	ข้อแตกต่างของเซลล์เชื้อเพลิงจุลชีพแบบห้องเดียวและห้องคู่	11
3	ค่า power output ของเซลล์เชื้อเพลิงจุลินทรีย์โดยไม่ใช้สารตัวกลาง (Mediator-less microbial fuel cell)	27
4	การเลือกขนาดตัวอย่างและอัตราเจือจากสำหรับช่วงบีโอดีต่างๆ	37
5	ค่าเฉลี่ยกระแสไฟฟ้าที่เกิดขึ้นจากเซลล์เชื้อเพลิงจุลชีพโดยใช้น้ำเสียชนิดต่างๆ	49
6	อัตราส่วนบีโอดีต่อซีโอดีของน้ำเสียเข้าและออกจากระบบเซลล์เชื้อเพลิงจุลชีพที่ช่วงความเข้มข้นบีโอดีต่างๆ	53
7	ค่าเฉลี่ยเอกสารเซ็นต์การกำจัดบีโอดีและซีโอดีของน้ำเสีย	54
8	ผลงานไฟฟ้าที่ได้จากน้ำเสียชนิดต่างๆผ่านเซลล์เชื้อเพลิงจุลชีพ	60

สารบัญภาพ

ภาพที่	หน้า
1 ขั้นตอนการย่อยสลายสารอินทรีย์ในสภาวะไร้ออกซิเจน	5
2 รูปแบบของเซลล์เชื้อเพลิงจุลินทรีย์ชนิดสองถังและถังเดียว (two chamber และ single chamber)	10
3 การเปรียบเทียบผลกระบวนการของเมมเบรนที่มีต่อความหนาแน่นกำลัง และประสิทธิภาพคลุกอมบิก	10
4 เซลล์เชื้อเพลิงจุลินทรีย์แบบต่อเนื่อง (continuous Upflow MFC)	12
5 การเปรียบเทียบลักษณะของเกรไฟต์ทั้ง3แบบที่มีผลต่อกำลัง (Power output)	13
6 ผลกระทบของวัสดุที่ใช้ทำข้ออิเล็กโทรดที่มีผลต่อความต่างศักย์	14
7 ตัวอย่างของการเปลี่ยนแปลงความสัมพันธ์ระหว่างค่าความต้านทาน และความหนาแน่นของกำลัง (Power density)	15
8 ตัวอย่างกระบวนการเมแทabolism อ) Aerobic Heterotrophic ฯ) Aerobic Autotrophic ค) Anaerobic Heterotrophic	16
9 การทำงานของสารตัวกลางในการขนส่งอิเล็กตรอน	24
10 ปัจจัยที่มีผลต่อการทำงานของเซลล์เชื้อเพลิงจุลินทรีย์	25
11 การทำงานของแบคทีเรีย <i>R. ferrireducens</i> ในเซลล์เชื้อเพลิงจุลินทรีย์	26
12 เชื้อเพลิงจุลชีพแบบห้องคู่	29
13 ถังป้อนน้ำเสีย	30
14 ถุงบรรจุเก๊สไนโตรเจน	30
15 ตู้ควบคุมอุณหภูมิ (incubator)	31
16 เครื่องวัดกระแสไฟฟ้า (Multi meter)	31
17 peristaltic pump	32
18 น้ำเสียสังเคราะห์	33
19 น้ำากาส่า	33
20 น้ำเสียโรงอาหาร	34
21 ตะกอนจุลินทรีย์	34

สารบัญภาพ (ต่อ)

ภาพที่	หน้า
22 การเดินระบบของเซลล์เชื้อเพลิงจุลชีพ	35
23 แผนภูมิการทดลอง	39
24 แนวโน้มกระแทกไฟฟ้าที่เกิดขึ้นจากน้ำเสียสังเคราะห์ที่ความเข้มข้นบีโอดี 125, 250, 400 600, 800 และ 1,000 มิลลิกรัมต่อลิตร	43
25 ค่ากระแทกไฟฟ้าเฉลี่ยที่เกิดขึ้นจากน้ำเสียสังเคราะห์ที่ความเข้มข้นบีโอดี 125, 250, 400, 600, 800 และ 1,000 มิลลิกรัมต่อลิตร ตามลำดับ	44
26 แนวโน้มกระแทกไฟฟ้าที่เกิดขึ้นจากน้ำากล่าที่ความเข้มข้นบีโอดี 125, 250, 400 600, 800 และ 1,000 มิลลิกรัมต่อลิตรตามลำดับ	45
27 ค่ากระแทกไฟฟ้าเฉลี่ยที่เกิดขึ้นจากน้ำากล่าที่ความเข้มข้นบีโอดี 125, 250, 400, 600, 800 และ 1,000 มิลลิกรัมต่อลิตร ตามลำดับ	45
28 แนวโน้มกระแทกไฟฟ้าที่เกิดขึ้นจากน้ำเสียrongอาหารที่ความเข้มข้นบีโอดี 125, 250, 400, 600, 800 และ 1,000 มิลลิกรัมต่อลิตรตามลำดับ	46
29 ค่ากระแทกไฟฟ้าเฉลี่ยที่เกิดขึ้นจากน้ำเสียrongอาหารที่ความเข้มข้นบีโอดี 125, 250, 400, 600, 800 และ 1,000 มิลลิกรัมต่อลิตรตามลำดับ	47
30 การเปรียบเทียบระหว่างค่ากระแทกไฟฟ้าที่ได้จากน้ำเสียสังเคราะห์, น้ำากล่า และน้ำเสียrongอาหาร	49
31 ค่าพีเอชที่ความเข้มข้นบีโอดี 125, 250, 400, 600, 800 และ 1000 ตามลำดับ	50
32 แนวโน้มกระแทกไฟฟ้าที่เกิดขึ้นจากน้ำากล่าที่ไม่ได้ผสมบัฟเฟอร์ที่ความเข้มข้นบีโอดี 125, 250, 400, 600, 800 และ 1,000 มิลลิกรัมต่อลิตรตามลำดับ	51
33 ค่ากระแทกไฟฟ้าเฉลี่ยที่เกิดขึ้นจากน้ำากล่าที่ไม่ได้ผสมบัฟเฟอร์ที่ความเข้มข้นบีโอดี 125, 250, 400, 600, 800 และ 1,000 มิลลิกรัมต่อลิตรตามลำดับ	52
34 การเปรียบเทียบเบปอร์เรชันต์การกำจัดบีโอดีของเซลล์เชื้อเพลิงจุลชีพเมื่อใช้น้ำเสียสังเคราะห์, น้ำากล่า และน้ำเสียrongอาหารที่ความเข้มข้นบีโอดี 125, 250, 400, 600, 800 และ 1,000 มิลลิกรัมต่อลิตรตามลำดับ	55

สารบัญภาพ (ต่อ)

ภาพที่	หน้า
35 การเปรียบเทียบเบอร์เต็นต์การกำจัดซีโอดีของเซลล์เชื้อเพลิงกุลชิพเมื่อใช้น้ำเสียสังเคราะห์, น้ำากากส่า และน้ำเสียโรงอาหารที่ความเข้มข้น 125, 250, 400, 600, 800 และ 1000 มิลลิกรัมต่อลิตรตามลำดับ	56
36 ความสัมพันธ์ระหว่างปริมาณการกำจัดบีโอดีและซีโอดีของน้ำเสียสังเคราะห์	57
37 ความสัมพันธ์ระหว่างปริมาณการกำจัดบีโอดีและซีโอดีของน้ำเสียโรงอาหาร	58
38 ความสัมพันธ์ระหว่างปริมาณการกำจัดบีโอดี และซีโอดีของน้ำากากส่า	59

(6)

คำอธิบายลัญลักษณ์และคำย่อ

ATP	=	Adenosine Tri Phosphate
BOD	=	บีโอดี
COD	=	ซีโอดี
PEM	=	Permeable Proton Exchange Membrane
EAB	=	Electrochemically-active bacteria
PFR	=	Plug Flow Reactor
CSTR	=	Continuous-flow Stirred-tank Reactor
UASB	=	Upflow Anaerobic Sludge Blanket
KHP	=	โกลเดนไซด์ ไฮโดรเจนฟาราเดต

การผลิตกระแสไฟฟ้าจากน้ำเสียโดยใช้เซลล์เชื้อเพลิงจุลชีพ

Production of Electricity from Wastewater using Microbial Fuel Cell

คำนำ

ปัจจุบันปัญหาราคาเชื้อเพลิงที่นำเข้าจากต่างประเทศ เช่น ถ่านหิน ปิโตรเลียม และแก๊สธรรมชาติได้เพิ่มขึ้นอย่างต่อเนื่อง การขับตัวของราคาน้ำเสียเพลิงเหล่านี้ก่อให้เกิดผลกระทบต่อเศรษฐกิจ โดยตรงต่อประเทศไทยที่ต้องพึ่งพาแหล่งเชื้อเพลิงจากต่างประเทศ นอกจากนี้แหล่งเชื้อเพลิงดังกล่าวยังเป็นแหล่งเชื้อเพลิงที่ใช้แล้วหมดไป และมีผลกระทบโดยตรงต่อสิ่งแวดล้อม เนื่องจากปฏิกรรมการเผาไหม้มีของเสียเพลิงเหล่านี้ปลดปล่อยแก๊สมลพิษที่มีผลกระทบต่อสิ่งแวดล้อม เช่น แก๊สคาร์บอน ไดออกไซด์ ซึ่งเป็นแก๊สเรือนกระจก ซัลเฟอร์ไดออกไซด์และไนโตรเจนออกไซด์ซึ่งเป็นแก๊สที่มีความเป็นพิษต่อระบบทางเดินหายใจและผิวนังของมนุษย์ จากเหตุผลดังกล่าวข้างต้น จึงก่อให้เกิดแนวคิดในการหาแหล่งเชื้อเพลิงที่เป็นแหล่งพลังงานแบบยั่งยืนเพื่อทดแทนแหล่งพลังงานที่ใช้แล้วหมดไปซึ่งแหล่งพลังงานทดแทนใหม่นั้นจะต้องเป็นแหล่งพลังงานที่ใช้แล้วไม่หมดไปและไม่ก่อให้เกิดปัญหาต่อสิ่งแวดล้อมการผลิตกระแสไฟฟ้าจากน้ำเสียเป็นอีกทางเลือกหนึ่งที่น่าสนใจเนื่องจาก น้ำเสียจากภาคอุตสาหกรรมและการการเกษตรที่ประกอบด้วยสารอินทรีย์ที่มีความเข้มข้นสูงจะมีพลังงานสะสมอยู่ในรูปของพลังงานพันธะเคมีซึ่งพลังงานนี้สามารถสักด็อกอกมาใช้ในรูปกระแสไฟฟ้า (อิเล็กตรอน) โดยจุลินทรีย์ชนิดเฉพาะ การผลิตกระแสไฟฟ้าวิธีนี้มีข้อดี เนื่องจากแหล่งวัตถุคือน้ำเสียเป็นวัตถุคือที่ปราศจากต้นทุน และการผลิตกระแสไฟฟ้าจากน้ำเสียนอกจากจะให้ผลิตภัณฑ์สุดท้ายคือกระแสไฟฟ้าซึ่งนำมาใช้ประโยชน์ได้แล้วยังเป็นการนำบัคน้ำเสียไปพร้อมกัน ในปัจจุบันการค้นคว้าและวิจัยเพื่อพัฒนาประสิทธิภาพในการผลิตกระแสไฟฟ้าโดยเซลล์เชื้อเพลิงจุลชีพ ได้รับความสนใจอย่างแพร่หลาย แต่ปริมาณกระแสไฟฟ้าที่ได้ก็ยังมีปริมาณน้อย ดังนั้น โครงการวิจัยนี้จึงมีจุดมุ่งหมายในการพัฒนาเซลล์เชื้อเพลิงจุลชีพให้มีความสามารถในการผลิตกระแสไฟฟ้าจากสารอินทรีย์ในน้ำเสียอย่างมีประสิทธิภาพดียิ่งขึ้น และออกแบบเซลล์เชื้อเพลิงจุลชีพให้เป็นต้นแบบสำหรับใช้ในประเทศไทย ต่อไป

วัตถุประสงค์

1. เพื่อศึกษาการผลิตกระรสไฟฟ้า จากน้ำเสียชนิดต่างๆ ภายใต้สภาวะการแปรผันค่าความเข้มข้นของน้ำเสีย
2. เพื่อศึกษาปัจจัยที่มีผลต่อประสิทธิภาพของเซลล์เชื้อเพลิงจุลชีพในการเปลี่ยนแปลง พลังงานเคมีของสารอินทรีย์ในน้ำเสียสังเคราะห์ให้เป็นกระรสไฟฟ้า
3. เพื่อศึกษาเบรี่ยบเทียบประสิทธิภาพการผลิตพลังงานไฟฟ้าและประสิทธิภาพการบำบัด น้ำเสียของเซลล์เชื้อเพลิงจุลชีพโดยใช้น้ำเสียชนิดต่างๆ เป็นแหล่งอาหาร ในสภาวะการทดลองที่กำหนดขึ้น
4. เพื่อศึกษาแนวโน้มความเป็นไปได้ในการพัฒนาเซลล์เชื้อเพลิง ในการเป็นเครื่องมือ ตรวจด้วยความสกปรกในแหล่งน้ำ

การตรวจเอกสาร

1. การบำบัดน้ำเสียที่มีสารอินทรีย์เป็นองค์ประกอบ

กระบวนการบำบัดน้ำเสียที่ใช้ในการกำจัดสารอินทรีย์ในน้ำเสียโดยวิธีชีวภาพ แบ่งออกเป็น 2 วิธี หลักๆ (กิตติ, 2538) คือ

1.1 การบำบัดแบบใช้อากาศ

ระบบบำบัดน้ำเสียแบบใช้อากาศเป็นวิธีบำบัดน้ำเสียด้วยวิธีทางชีววิทยา โดยใช้แบคทีเรียที่ใช้ออกซิเจน (aerobic bacteria) เป็นตัวหลักในการย่อยสลายจุลินทรีย์ เช่น ระบบแยกทิวเต็ต сталดัจ เป็นระบบบำบัดน้ำเสียที่นิยมกันอย่างแพร่หลาย สามารถบำบัดได้ทั้งน้ำเสียชุมชนและน้ำเสียจากโรงงานอุตสาหกรรม แต่การเดินระบบประเภทนี้มีความยุ่งยากซับซ้อนเนื่องจากจำเป็นจะต้องมีการควบคุมสภาวะแวดล้อม และลักษณะทางกายภาพต่างๆ ให้เหมาะสมแก่การทำงานและการเพิ่มจำนวนของจุลินทรีย์ เพื่อให้ระบบมีประสิทธิภาพสูงสุด

1.2 การบำบัดแบบไร้อากาศ

1.2.1 ระบบบำบัดน้ำเสียแบบไร้อากาศ มีลักษณะเฉพาะคือเป็นระบบที่ก่อให้เกิดแก๊สมีเทนจากผลสุดท้ายของปฎิกริยาแก๊สมีเทน จะแยกตัวออกจากระบบอย่างรวดเร็วเพราะมีความสามารถในการละลายน้ำต่ำ จึงทำให้น้ำทึบที่ผ่านการบำบัดมีความคงตัวสูง การบำบัดแบบไร้อากาศจึงมีหน้าที่ในการสร้างเสถียรภาพให้กับตะกอนและทำลายสารอินทรีย์ทั้งที่เป็นของแข็งและสารละลายในน้ำเสีย นอกจากนี้ยังมีข้อดีหลายประการ เช่น ภาคตะกอนของแข็งที่เหลือจากกระบวนการน้ำด้วย ไม่ต้องทำการหมุนเวียนตะกอน ต้องการสารอาหารเสริมต่ำ ไม่ต้องการพลังงานในการเติมอากาศให้กับระบบ สามารถเก็บตะกอนแบคทีเรียไว้ได้นานหลายเดือนในสภาวะที่ไม่มีสิ่งปื้นและเหมาะสมสำหรับบำบัดน้ำทึบที่มีความเข้มข้นสูง

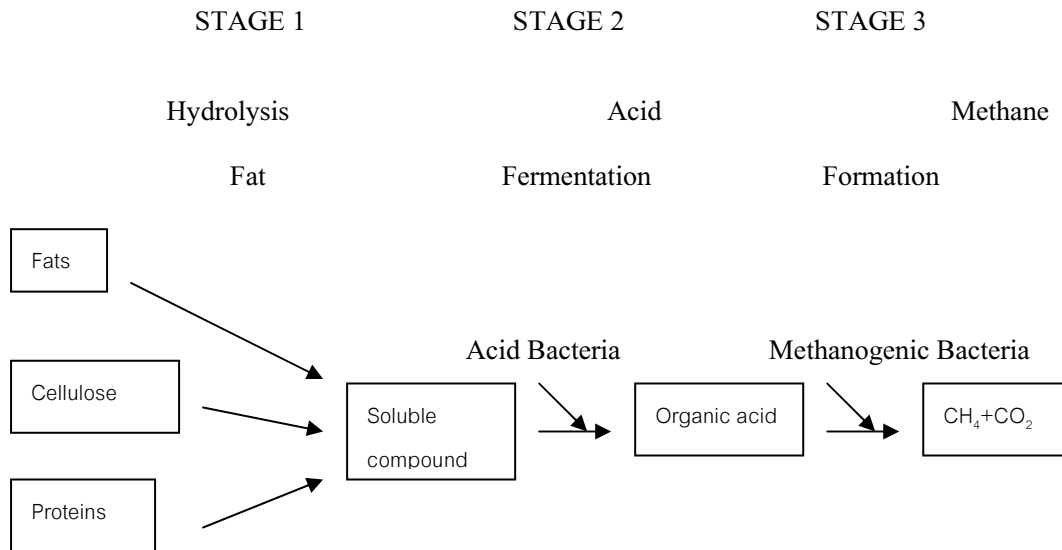
1.2.2 ปฎิกริยาชีวเคมีในระบบหมักแบบไร้อากาศประกอบด้วย ปฎิกริยาการย่อยสลายสารอินทรีย์ (anaerobic digestion) ซึ่งสามารถแบ่งออกได้เป็น 3 ขั้นตอน คือ

ก) ปฏิกิริยาไฮโดรไลซิส (hydrolysis) หรือการแตกสลายพอลิเมอร์ย่อยสลายสารอินทรีย์ที่มีโมเลกุลใหญ่ให้เป็นสารอินทรีย์ย่างง่าย ไม่ซับซ้อนและละลายน้ำได้ เช่นน้ำตาลกลูโคส กรดอะมิโน กรดไขมัน

ข) ปฏิกิริยาการสร้างกรดอินทรีย์ (acidogenesis) โดยสารอินทรีย์ขนาดเล็กจากขั้นตอนไฮโดรไลซิสจะถูกเปลี่ยนเป็นกรดไขมันระเหยที่มีการบ่อนไม่เกิน 5 ตัว เช่น กรดอะซิติก กรดโพรพิโอนิก กรดบิวทิริก กรดวาเคริก

ค) ปฏิกิริยาการสร้างมีเทน (methanogenesis) กรดอินทรีย์ที่เกิดขึ้นจะถูกแบคทีเรียกลุ่มสร้างมีเทน (methane producing bacteria) ย่อยสลายเป็นแก๊สมีเทนและคาร์บอนไดออกไซด์

การที่แบคทีเรียกลุ่มต่างๆย่อยสลายสารอินทรีย์ เพื่อให้ได้พลังงานสำหรับการเจริญเติบโต ซึ่งปฏิกิริยาการสร้างพลังงานส่วนใหญ่เป็นปฏิกิริยาเริค็อกซ์ พลังงานที่แบคทีเรียนำไปใช้จะอยู่ในรูป ATP (adenosine Tri Phosphate) ซึ่งพลังงานที่แบคทีเรียได้รับจะมากหรือน้อยขึ้นอยู่กับชนิดและความเข้มข้นของสารอาหารและผลิตภัณฑ์ที่ได้ และสภาวะทางกายภาพและทางชีวเคมีของระบบ (นุยบा, 2537) ขั้นตอนการย่อยสลายสารอินทรีย์ในสภาวะไร้อกซิเจนแสดงในภาพที่ 1



ภาพที่ 1 ขั้นตอนการย่อยสลายสารอินทรีย์ในสภาวะไร้ออกซิเจน

ที่มา: บุญนา (2537)

2. สภาวะแวดล้อมที่มีผลต่อระบบการย่อยสลายในสภาวะไร้อากาศ

เนื่องจากระบบบำบัดแบบไร้อากาศประกอบด้วยจุลินทรีย์ 2 กลุ่ม ได้แก่ จุลินทรีย์กลุ่มสร้างกรด และ จุลินทรีย์กลุ่มสร้างมีเทน จุลินทรีย์ทั้ง 2 ชนิดนี้ทำงานอย่างต่อเนื่องกัน ดังนั้นจึงจำเป็นต้องรักษาสภาวะแวดล้อมให้มีสภาพที่เหมาะสมที่จะทำให้จุลินทรีย์เหล่านี้อยู่ด้วยกัน ได้เป็นอย่างดี ซึ่งนอกจากจะต้องรักษาระบบให้อยู่ในสภาพที่ไร้อากาศแล้ว ยังต้องคำนึงถึงสิ่งต่อไปนี้คือ

2.1 อุณหภูมิ

อุณหภูมนี้อิทธิพลต่อแบคทีเรียเป็นอย่างมาก โดยอัตราการย่อยสลายสารอินทรีย์ที่รือปฏิกิริยาทางชีวเคมีของแบคทีเรียจะขึ้นอยู่กับอุณหภูมิ พบร่องรอยการเกิดปฏิกิริยาจะเพิ่มขึ้นเมื่อมีการเพิ่มอุณหภูมิ โดยทั่วไปมักนิยมควบคุมอุณหภูมิในถังหมักให้อยู่ในอุณหภูมิปานกลาง (35-37 องศาเซลเซียส) เนื่องจากในช่วงอุณหภูมนี้มีอัตราการย่อยสลายที่สูงกว่าในช่วงอุณหภูมิต่ำ (5-15 องศาเซลเซียส) และไม่ต้องใช้พลังงานสูงมากในการให้ความร้อนและการควบคุมเหมือนในช่วงอุณหภูมิสูง (50-60 องศาเซลเซียส)

2.2 พีอช

ความเป็นกรดค่างมีความสำคัญต่อประสิทธิภาพของกระบวนการย่อยสลายสารอินทรีย์มาก ช่วงพีอชที่มีความเหมาะสมกับอัตราการเจริญเติบโตของแบคทีเรียคือ ช่วงที่เป็นกลาง (6.5-7.8) ถ้าค่าพีอชในระบบหมักมีค่าต่ำกว่า 6.2 ประสิทธิภาพการทำงานของแบคทีเรียจะต่ำลง ดังนั้นค่าพีอชที่นิยมใช้ในการควบคุมระบบแบบไร้อากาศอยู่ในช่วง 6.8-7.2

2.3 ค่าสภาพความเป็นค่าง

ค่าสภาพความเป็นค่าง คือ ความสามารถของน้ำในการรับอนุภาคโปรตอน โดยค่าสภาพความเป็นค่างในน้ำจะอยู่ในรูปใบคาร์บอนเนต คาร์บอนเนตและไฮดรอกไซด์ จำนวนอนุญาตเหล่านี้จะมากหรือน้อยขึ้นอยู่กับค่าพีอชของระบบ ดังนั้นค่าสภาพความเป็นกรดค่างในระบบหมักจะเป็นตัวบ่งชี้เสถียรภาพของระบบ โดยเฉพาะสภาพความเป็นค่างในรูปของใบคาร์บอนเนต ถ้าระบบมีสภาพความเป็นค่างสูงแสดงว่าระบบหมักมีความสามารถในการรักษาสภาพความเป็นกรดค่างสูง โดยการรักษาค่าพีอชให้คงตัวอยู่ได้ต่อการเพิ่มปริมาณกรดใดๆ แต่ในทางตรงกันข้าม ถ้าระบบหมักมีสภาพความเป็นค่างต่ำแสดงว่ามีการสะสมของกรดอินทรีย์ในระบบค่อนข้างสูง จำเป็นต้องเพิ่มความระมัดระวังในการควบคุมการทำงานของระบบหมัก เพราะมีความโน้มเอียงที่จะเป็นกรดได้ง่าย

2.4 กรดไขมันระเหย

กระบวนการย่อยสารอินทรีย์แบบไร้อากาศมีแบคทีเรียที่เกี่ยวข้องอยู่ 2 กลุ่ม โดยกลุ่มแรกทำหน้าที่ย่อยสลายสารอินทรีย์แล้วปล่อยกรดไขมันระเหยเป็นของเสีย จากนั้นแบคทีเรียกลุ่มที่สองจะใช้กรดไขมันระเหยเหล่านี้เป็นอาหาร โดยให้ผลิตภัณฑ์เป็นแก๊สมีเทน และคาร์บอนไดออกไซด์ ดังนั้นจะเห็นได้ว่ากระบวนการย่อยสลายสารอินทรีย์นี้จะมีกรดไขมันระเหยเป็นสารกึ่งปฏิกิริยา กรดไขมันระเหยนี้อาจเกิดการสะสมได้ในกรณีที่ระบบไม่มีกรดไขมันระเหยสร้างกรดมากกว่าการใช้กรด ถ้ามีการสะสมกรดไขมันระเหยเกิดขึ้นในระบบ ในช่วงแรกจะลดค่าสภาพความเป็นค่างก่อนและค่าพีอชจะลดลงในที่สุด ถ้าค่าพีอชในระบบต่ำกว่า 6.5 จะเป็นอันตรายต่อแบคทีเรีย

2.5 ชาตุอาหารเสริม

ในการย่อyle สารอินทรีย์ในสภาวะ ไร้จ้าก โดยแบคทีเรียนนี้ ชาตุที่มีความสำคัญ ต่อการเจริญเติบโตของแบคทีเรียมาก ได้แก่ ใน โตรเจนและฟอสฟอรัส อัตราส่วนที่เหมาะสมในระบบหมักครัวมีอัตราส่วน COD: N: P เป็น 100: 2: 0.4 หรือ BOD: N: P เป็น 100: 1.1: 0.2 ถ้ามี ชาตุใน โตรเจนและฟอสฟอรัสต่ำกว่าอัตราส่วนที่เหมาะสม ประสิทธิภาพในการย่อyle สารอินทรีย์และการผลิตแก๊สชีวภาพจะต่ำลง แต่ตรงกันข้ามถ้ามีชาตุใน โตรเจนมากเกินไป ก็จะเป็นพิษต่อแบคทีเรียได้ เช่น ทำให้ตะกอนแบคทีเรียเกิดการลอกตัวออกจากระบบ ความเข้มข้นที่เหมาะสมต่อการย่อyle สารอินทรีย์และฟอสฟอรัสแล้ว ชาตุอื่นๆ ที่มีความจำเป็นต่อกระบวนการย่อyle สารอินทรีย์ได้แก่ Ca Mg Mo Co และ Fe แต่แบคทีเรียต้องการในปริมาณน้อยมาก

ตารางที่ 1 ชาตุอาหารเสริมที่เหมาะสมสำหรับการย่อyle แบบ ไร้ออกซิเจน

ชาตุอาหาร	ความเข้มข้นที่ศึกษา (ก./ ม ³)	ผลกระทบ
Fe ⁺²	0.2	ช่วยตอกตะกอนชั้ล ไฟด์ และเป็นโครงสร้างฟิล์มชีวภาพ
Mo ⁺²	0.017	สร้างโคแฟกเตอร์ F430 ในแบคทีเรียกลุ่มสร้างมีเทน
	0.006	เพิ่มประสิทธิภาพการย่อyle สาร
Mg ⁺²	0.01-0.02	ช่วยในการสร้างตะกอน
Ca ⁺²	0.01-0.04	ช่วยในการสร้างตะกอน
Ba ⁺²	0.01-0.1	ช่วยในการสร้างตะกอน
Co ⁺²	0.01	วิตามิน B 12
	0.003	เพิ่มประสิทธิภาพการย่อyle สาร
SO ₄ ⁻	0.02	เพิ่มประสิทธิภาพการย่อyle สาร

ที่มา: กิตติ (2538)

3. เซลล์เชื้อเพลิงจุลชีพ (Microbial fuel cell)

3.1 หลักการทำงาน และกระบวนการไฟฟ้าเคมี

เซลล์เชื้อเพลิงจุลชีพเป็นอุปกรณ์ที่เปลี่ยนพลังงานเคมีไปเป็นกระแสไฟฟ้าโดยใช้จุลทรรศน์เป็นตัวเร่งปฏิกิริยา (Allen and Bennetto, 1993; Akiba *et al.*, 1985) เซลล์เชื้อเพลิงจุลชีพประกอบด้วยครึ่งเซลล์ไฟฟ้าแอนodenและแค็โทดซึ่งถูกแยกออกจากกัน กั้นด้วย PEM โดยทั่วไปแล้วชั้บสเตรทจะถูกป้อนอย่างต่อเนื่องในลักษณะจากด้านล่างขึ้นสู่ด้านบน เพื่อให้เกิดปฏิกิริยาออกซิเดชันโดยจุลทรรศน์เป็นตัวเร่งปฏิกิริยา ซึ่งอิเล็กตรอนและ protonจะถูกปล่อยจากปฏิกิริยาที่ขึ้นเอโนด (Gil *et al.*, 2003) ดังสมการที่ 1



อิเล็กตรอนที่เกิดขึ้นจะถ่ายเทไปยังจրภายนอกไปสู่ครึ่งเซลล์แค็โทด ในขณะที่ protonแพะผ่าน PEM ในครึ่งเซลล์แค็โทดจะมีนำ้ม้ำที่อิ่มตัวด้วยออกซิเจนหล่อเลี้ยงอิเล็กตรอนและ protonจะรวมตัวกับออกซิเจนกลาญเป็นโนเมกุลของน้ำตามปฏิกิริยาดังต่อไปนี้ (Gil *et al.*, 2003) ดังสมการที่ 2



การถ่ายทอดอิเล็กตรอนโดยตรงจากจุลทรรศน์ไปยังขั้วไฟฟ้าเกิดขึ้นเป็นกระบวนการที่เกิดขึ้นแบบไร้ประสิทธิภาพ สารที่เป็นตัวกลางในเซลล์เชื้อเพลิงจุลชีพถูกนำมาใช้เพื่อเร่งการถ่ายทอดอิเล็กตรอนจากเซลล์แบบที่เรียกว่าไฟฟ้า เนื่องจากเซลล์แบบที่เรียกว่าไฟฟ้าไม่มีความสามารถในการเร่งปฏิกิริยาไฟฟ้าเคมี (electrochemically-active bacteria, EAB)

3.2 ชนิดของถังปฏิกิริยา และลักษณะการไฟฟ้า

ในระบบบำบัดน้ำเสียโดยทั่วไปแบ่งลักษณะของถังปฏิกิริยา (reactor) ได้เป็น 2 แบบคือ

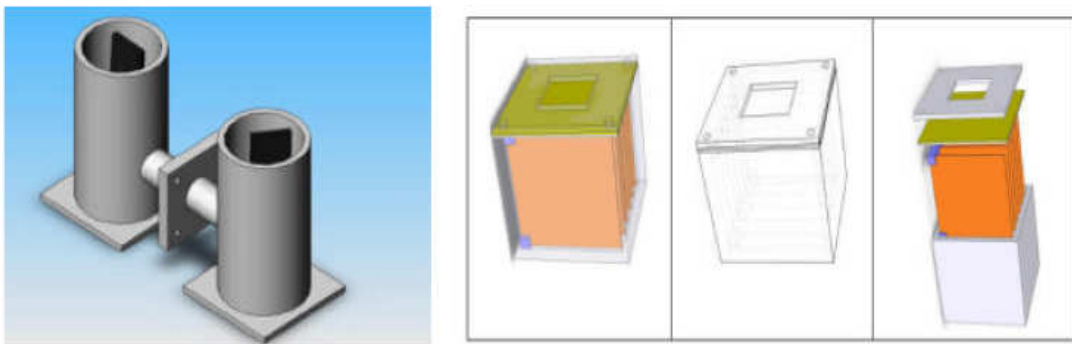
3.2.1 แบบทีละเท (batch) ไม่มีการไหลของน้ำเข้าและออกจากถังปฏิกริยาอย่างต่อเนื่อง โดยทั่วไปจะมีการกวนผสม

3.2.2 แบบมีการไหลต่อเนื่อง (continuous Flow) มีการไหลของน้ำเข้าและออกจากถังปฏิกริยาอย่างต่อเนื่อง ทำให้มีโอกาสที่จะดำเนินระบบจนระบบสามารถเข้าสู่สภาพคงตัว (steady state) ได้

3.3 รูปแบบของเซลล์เชื้อเพลิงจุลชีพ

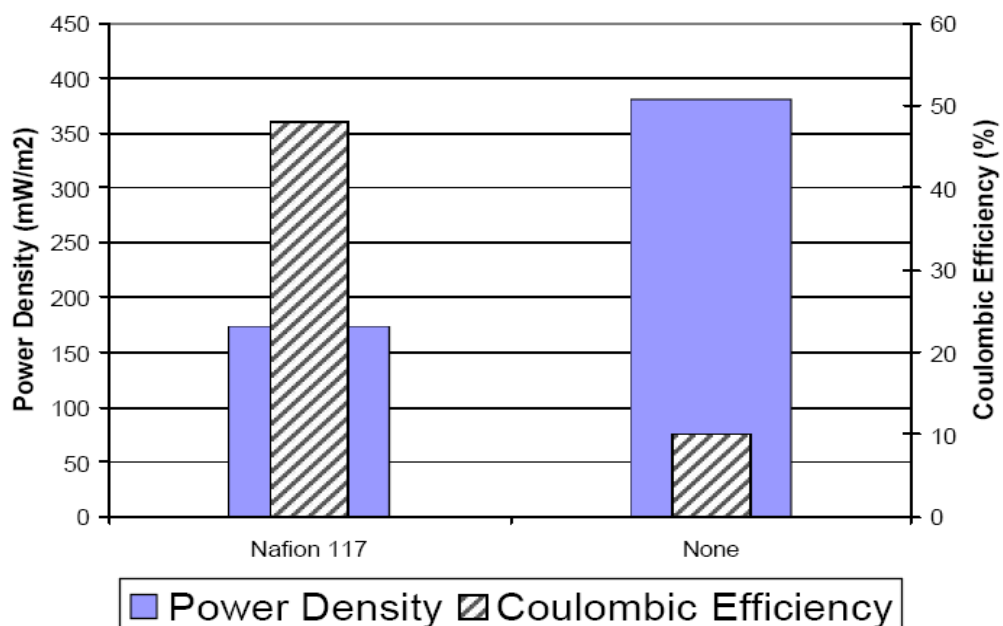
เซลล์เชื้อเพลิงจุลชีพสามารถแบ่งออกเป็น 2 ลักษณะ คือเซลล์แบบห้องเดียว (single chamber) และแบบห้องคู่ (double chamber) ดังแสดงในภาพที่ 2 โดยประกอบด้วย ข้อแอโนดและแคโทด ข้อแตกต่างระหว่าง ห้องเดียว และห้องคู่ คือการมี PEM นั้น โดยในเซลล์แบบห้องเดียวจะไม่มี PEM ซึ่งด้านแอโนดของทั้งสองแบบจะสัมผัสกับสารละลาย ส่วนด้านแคโทดแบบห้องคู่จะสัมผัสกับสารละลายและแบบห้องเดียวจะสัมผัสกับอากาศภายนอก ในส่วนของเซลล์เชื้อเพลิงจุลชีพแบบห้องคู่จะมีสภาพต่างๆ เช่น anaerobic, aerobic ซึ่งสามารถกำหนดได้ในแต่ละด้าน อัตราการแพร่ของออกซิเจนสู่ข้อแอโนดที่ไม่มี PEM จะสูงกว่าเซลล์แบบห้องคู่ที่ใช้ PEM (Liu and Logan, 2004).

ข้อดีของเซลล์แบบห้องเดียว คือสามารถลดค่าใช้จ่ายในตอนเริ่มกระบวนการ โดยไม่ต้องใช้ PEM ซึ่งมีราคาแพง และความหนาแน่นกำลังไฟฟ้าที่ได้สูงกว่าแบบห้องคู่ ในส่วนข้อเสียของเซลล์แบบห้องเดียว คือประสิทธิภาพของคูลومบิก (coulombic efficiency) จะลดลงซึ่งทั่วไปเป็นผลมาจากการแพร่ของออกซิเจนสู่บริเวณข้อแอโนดดังแสดงในภาพที่ 3 โดยแบคทีเรียที่สามารถใช้ออกซิเจนและไม่ใช้ออกซิเจน (facultative anaerobic bacteria) สามารถพาอิเล็กตรอนผ่านไปรวมตัวกับออกซิเจนในผังตรงข้ามทางผิวของอิเล็กโทรดถ่ายเมื่อออกซิเจนเหลืออยู่ จะไปลดประสิทธิภาพของเซลล์เชื้อเพลิงจุลชีพ (ตารางที่ 2)



ภาพที่ 2 รูปแบบของเซลล์เชื้อเพลิงจุลินทรีย์ชนิดห้องคู่และห้องเดียว (two chamber และ single chamber)

ที่มา: Bettin (2006)



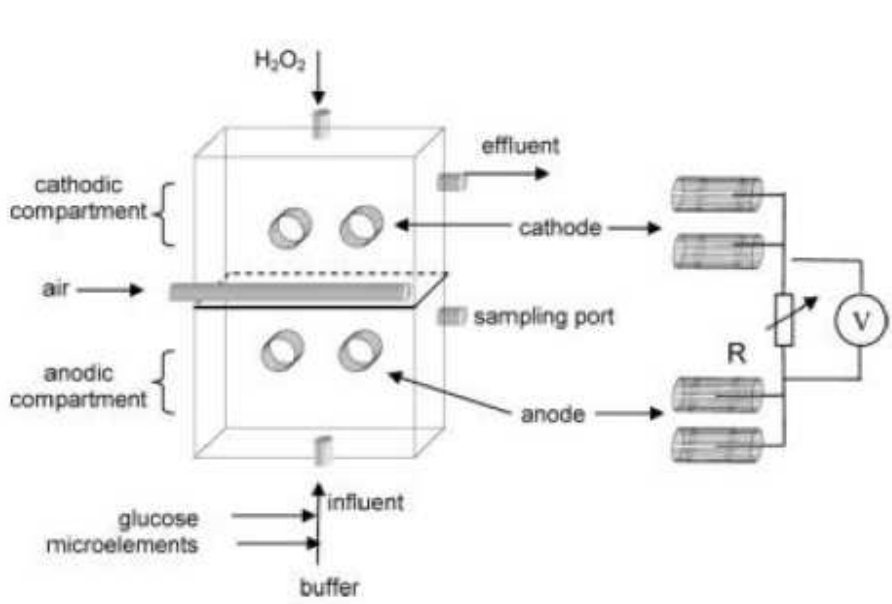
ภาพที่ 3 การเปรียบเทียบผลกระทบของเมมเบรนที่มีต่อความหนาแน่นกำลัง และประสิทธิภาพคุณภาพนิภัย

ที่มา: ดัดแปลงมาจาก Liu and Logan (2004)

ตารางที่ 2 ข้อแตกต่างของเซลล์เชื้อเพลิงจุลชีพแบบห้องเดียวและห้องคู่

ข้อแตกต่างของเซลล์เชื้อเพลิง	เซลล์เชื้อเพลิงจุลชีพ	
จุลชีพ	ห้องเดียว	ห้องคู่
เมมเบรน	ไม่มี	มี
สภาวะในด้านแอโนнд	aerobic	aerobic, anaerobic
ความหนาแน่นกำลัง	สูง	ต่ำ
อัตราการแพร่ของออกซิเจนสู่ชั้วแอโนнд	สูง	ต่ำ
ประสิทธิภาพกลุ่อมิก	ต่ำ	สูง

จากการทบทวนเอกสารพบว่ามีการศึกษาในการผสมรูปแบบของเซลล์เชื้อเพลิงชนิดห้องเดียวและห้องคู่โดย Tartakovsky และ Guiot (2006) ดังแสดงในภาพที่ 4 ซึ่งเป็นรูปแบบเซลล์เชื้อเพลิงจุลินทรีย์ที่ปล่อยชั้บสเตรตจากด้านล่างขึ้นบน โดยใช้เป็นแบบห้องคู่ และใช้ฟองน้ำเป็น PEM ชั้บสเตรตจะผ่านจากด้านล่างเข้าสู่ชั้วแอโนнд และออกทางด้านแก้โคทซึ่งอยู่ด้านบน ไอออน และของเหลวจะสามารถแพร่ผ่านฟองน้ำ โดยฟองน้ำจะแยกทึ่งสองห้องและคงสภาพของทึ่งสองผังให้มีความคงที่ตามสภาพแวดล้อมนั้นๆ โดยที่ด้านแอโนндจะถูกรักษาอยู่ในสภาพไร้อากาศ (anaerobic) มากกว่าด้านแก้โคทซึ่งจะทำให้ประสิทธิภาพเพิ่มขึ้น เซลล์เชื้อเพลิงจุลชีพจะทดลองได้ทั้งแบบทีละเท (batch) และแบบต่อเนื่อง (continuous) โดยแบบทีละเท (batch) จะต้องคุ้เลควบคุมถึงชั้บสเตรต โดยการคุ้เลควบคุมสภาวะของชั้บสเตรตด้วยตัวเอง ในขณะที่ระบบแบบต่อเนื่องจะใช้เครื่องสูบน้ำในการเพิ่มชั้บสเตรตและดูดของเสียออกจากระบบ ได้มีการทดลองในการเดินระบบแบบต่อเนื่องโดยไม่ใช้ตัวพานั่น (mediator) พบว่ากำลังที่ได้ (Power output) ลดลงจาก 479 วัตต์ต่อตารางเมตร ในแบบงา (batch) เหลือ 49 วัตต์ต่อตารางเมตร อย่างไรก็ตามถึงแม้กำลังที่ได้ (Power output) จะลดลงแต่ในการประยุกต์ที่ใช้งานในระบบต่อเนื่องจะทำได้กว้างขวางกว่าและการบำรุงรักษาต่ำกว่า (Rabaey *et al.*, 2005)

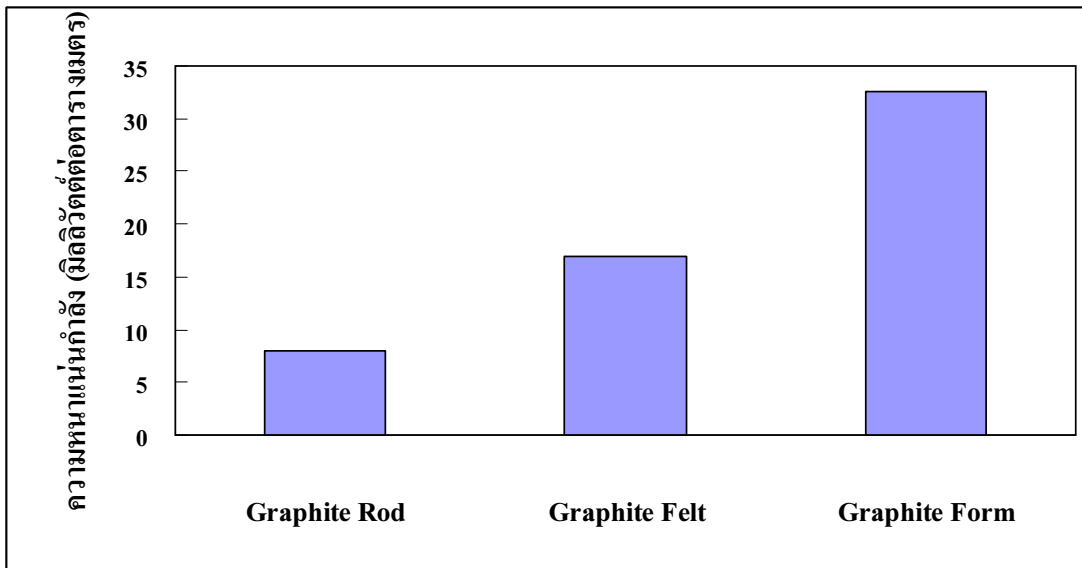


ภาพที่ 4 เซลล์เชื้อเพลิงจุลินทรีย์แบบต่อเนื่อง (continuous Upflow MFC)

ที่มา: Tartakovsky and Guiot (2006)

3.4 ปัจจัยที่มีผลต่อกระแสไฟฟ้าที่ผลิตได้

3.4.1 ข้ออิเล็กโทรด วัสดุที่ใช้ทำข้ออิเล็กโทรดนั้นถือว่ามีความสำคัญที่จะส่งผลกระแทบต่อกำลังของเซลล์ โดยทั่วไปข้อแอลูминัมจะนิยมใช้เกรฟเฟอร์ (graphite) แต่จะแตกต่างกันตามลักษณะทางกายภาพซึ่งจะครอบคลุมทั้งพวกโลหะ กระดาษ สักหลาด และโพฟม โดยทั่วไปวัสดุที่มีความพรุนสูงจะให้ความหนาแน่นของกำลังที่สูง เพราะทำให้จุลินทรีย์ที่มาเกาะมีประสิทธิภาพ โดยปัจจัยที่มีผลต่อกำลัง (Power output) คือพื้นที่ผิวของแอลูминัม (Bond *et al.*, 2002) ในส่วนของพื้นที่ผิวค้านแคลโทรดจะมีผลต่อกำลังเพียงเล็กน้อยเท่านั้น (Logan *et al.*, 2004) ภาพที่ 5 แสดงการเปรียบเทียบลักษณะของเกรฟเฟอร์ทั้ง 3 แบบที่มีผลต่อกำลัง (Power output) (Chaudhuri and Lovley, 2003)

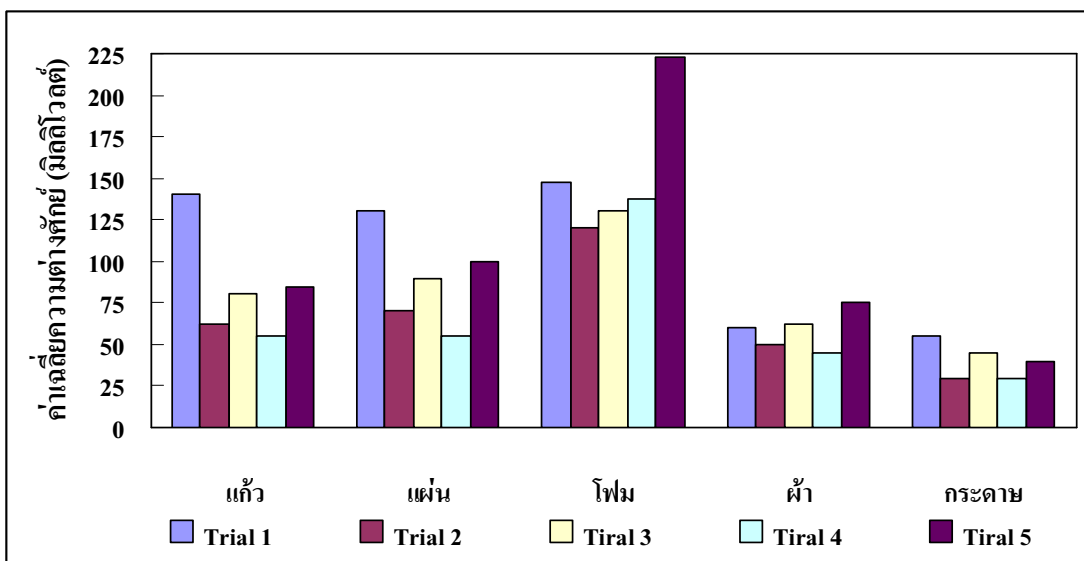


ภาพที่ 5 การเปรียบเทียบลักษณะของแกร์ไฟต์ทั้ง 3 แบบที่มีผลต่อกำลัง (Power output)

ที่มา: ดัดแปลงมาจาก Chaudhuri and Lovlay (2003)

โดยก่อนที่จะนำข้ออิเล็กโทรดไปใช้งานจริง ได้นั่นต้องมีการทดลองถึงผลกระทบของวัสดุที่ใช้ทำอิเล็กโทรดที่มีผลต่อกำลัง (Power output) ในสภาวะต่างๆซึ่งการจะได้มามาซึ่งความถูกต้อง ต้องมีการทดลองหลายครั้งดังภาพที่ 6 (Henslee *et al.*, 2005)

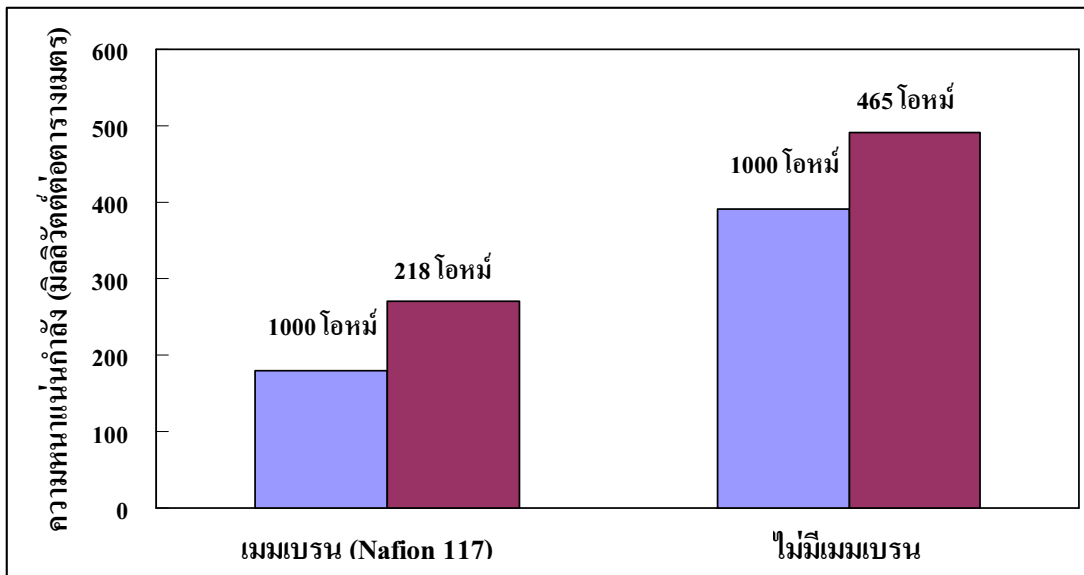
นอกจากนี้ การใช้ ทองคำขาว (platinum) เป็นตัวเร่งปฏิกิริยา (catalyst) ในด้านแคลโนดก็เป็นสิ่งสำคัญในการเพิ่มกำลัง (Power output) โดยการขาด ทองคำขาว (platinum) ซึ่งเป็นตัวเร่งปฏิกิริยาในด้านแคลโนดนั้นทำให้ความหนาแน่นของกำลังลดลงถึง 78 เบอร์เซ็นต์ (Logan *et al.*, 2004) อีกปัจจัยหนึ่งคือ สารตัวกลาง (mediator) เช่น โพแทสเซียมฟอฟิลิกไซยาไนด์ สามารถช่วยทำให้การย้ายของอิเล็กตรอนของในด้านแคลโนดเพื่อรวมตัวกับออกซิเจนได้ง่ายขึ้น อย่างไรก็ตามสารตัวกลางนั้นมีราคาแพง มีความเป็นพิษสูง และถลายไปตามระยะเวลา



ภาพที่ 6 ผลกระทบของวัสดุที่ใช้ทำข้ออิเล็กโทรดที่มีผลต่อความต่างศักย์

ที่มา: ดัดแปลงมาจาก Henslee *et al.* (2005)

3.4.2 ความต้านทาน (Resistance) จุลินทรีย์จะออกซิไดซ์สารตั้งต้นและปิดปล่อยอเล็กตรอนออกสู่ที่ผิวอิเล็กโทรด และควรมีการพิจารณาถึงแหล่งที่ให้กระแสไฟฟ้าอย่างไรก็ตามถึงแหล่งให้กระแสไฟฟ้าจะไม่คงที่ แต่ผลกระทบที่เกิดขึ้นจะคิดเป็นความต้านทานของระบบ โดยความสัมพันธ์ระหว่างความต้านทานและกระแสไฟฟ้าจะไม่เป็นในรูปเส้นตรง ความต้านทานที่เหมาะสมที่สุดที่จะใช้จะขึ้นอยู่กับปัจจัยต่างๆ มากมาย ครอบคลุมถึงวิธีการประยุกต์ใช้สารตั้งต้นเชื้อจุลินทรีย์ และประเภทของถังปฏิกริยาดังภาพที่ 7

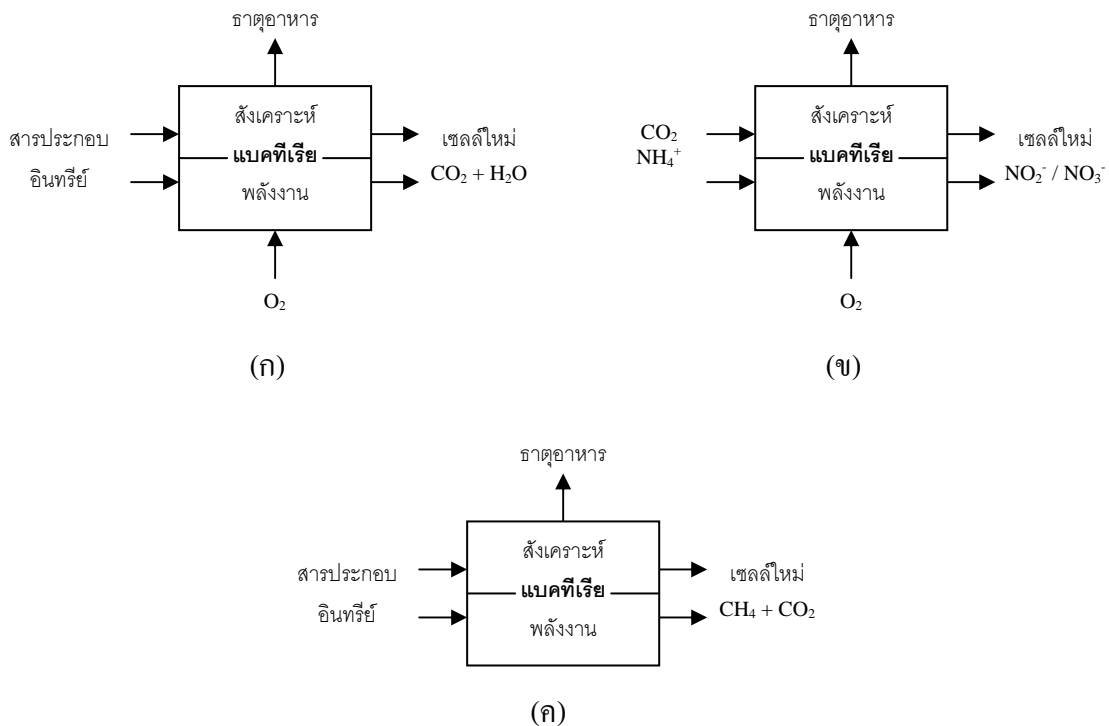


ກາພທີ 7 ກາຮເປົ້າຢັ້ງແປລັງຄ່າຄວາມຕ້ານທານ (Resistance) ທີ່ມີຜລຕ່ອຄວາມໜານແນ່ນຂອງກຳລັງໄຟຟ້າ (Power density)

ທີ່ມາ: ດັດແປລັງຈາກ Liu and Logan (2004)

3.4.3 ຈຸລິນທຣີ່ ເປັນສິ່ງມີชົວເສດລີ່ ເຊີວ່ທີ່ມີໂຄຮງສ້າງໄມ່ຜັບຜອນ ໃຫ້ສາຮອາຫາຣ໌ ລະລາຍໍາໄດ້ ແບກທີ່ເຮັຍໜິດທີ່ເປັນພວກຜູ້ຍ່ອຍສລາຍ (Decomposer) ຈັດເປັນສິ່ງມີชົວທີ່ມີຄວາມຈຳເປັນ ອຳຍ່າງຍິ່ງໃນຮະບນນິເວສວິຫຍາ ໂດຍມີນທນາທາໃນກາຮຍ່ອຍສລາຍສາຮອິນທຣີ່ທີ່ທີ່ຢູ່ໃນແຫລ່ລ່ານໍ້າຮຽນໝາຕີ ແລະໃນຮະບນນຳບັດນໍ້າເສີຍ ແບກທີ່ເຮັຍໂດຍທີ່ໄປມີນາດປະປະມາຜ 0.5 ຄື່ງ 5 ນາໂນເມຕຣ ແລະສາມາຮັດ ມອງເກີນໄດ້ໂດຍໃຫ້ກຳລັງຈຸລທຣຄນໍທ່ານ້ຳ

ໃນທີ່ນີ້ສາມາຮັດເບັງແບກທີ່ເຮັຍອອກເປັນ 2 ປະເທດໄຫ້ໆ ຄື່ອ Heterotrophic Bacteria ແລະ Autotrophic Bacteria ຈີ້ນອູ້ງກັນແຫລ່ງກາຮັບອນ (ແຫລ່ງອາຫາຣ) ທີ່ໃຫ້ໃນກາຮສ້າງ ເນື້ອເຢືອຫີ່ອເສດລີ່ໄໝ່ຕາມກາພທີ 8



ภาพที่ 8 ตัวอย่างกระบวนการเมtabolism (Metabolism) ก) Aerobic Heterotrophic ง) Aerobic Autotrophic ค) Anaerobic Heterotrophic

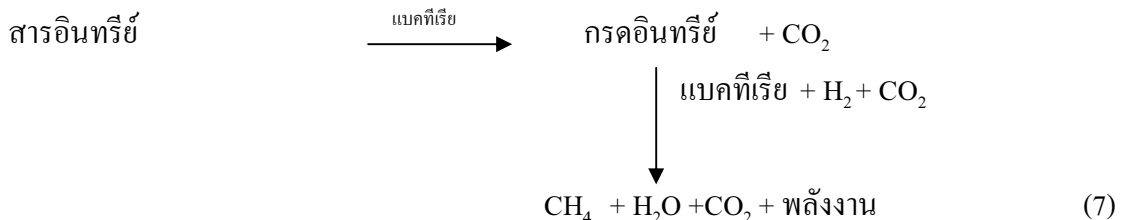
ที่มา: สุเทพ (2549)

กลุ่มของ Heterotrophic Bacteria เป็นพวกที่ใช้คาร์บอนในสารประกอบอินทรีย์เป็นแหล่งการรับอนในการสร้างเซลล์ สามารถแบ่งย่อยได้เป็น 3 กลุ่ม ตามด้วยความต้องการออกซิเจนอิสระ ได้แก่ Aerobic Bacteria, Anaerobic Bacteria และ Facultative Bacteria กลุ่ม Aerobic Bacteria ต้องการใช้ออกซิเจนอิสระ (แก๊สออกซิเจน และออกซิเจนที่ละลายในน้ำ) ในการย่อยสลาย (ออกซิไดซ์) สารอินทรีย์เพื่อให้ได้พลังงานสำหรับใช้ในการเจริญเติบโตและการเพิ่มจำนวนแบคทีเรียดังสมการที่ 4 สำหรับกลุ่ม Anaerobic Bacteria สามารถออกซิไดซ์สารอินทรีย์ได้โดยไม่ต้องใช้ออกซิเจนอิสระ แต่ใช้ออกซิเจนจากสารประกอบอื่น เช่น ไนเตรต และซัลเฟต ดังสมการที่ 5 และ 6 และกลุ่ม Facultative Bacteria ในสภาวะแวดล้อมที่มีออกซิเจนอิสระละลายน้ำจะดำเนินชีพแบบ Aerobic Bacteria หากไม่มีออกซิเจนอิสระจะดำเนินชีพแบบ Anaerobic Bacteria

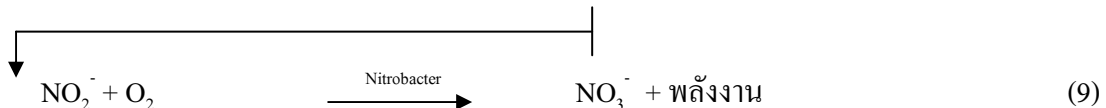
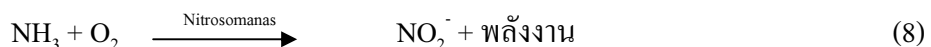
Aerobic:



Anaerobic:



กลุ่ม Autotrophic Bacteria ใช้การรับอนจากสารประกอบอนินทรี เช่น การรับอนไดออกไซด์ และสารประกอบกลุ่มคาร์บอนเนต เป็นแหล่งการรับอนในการสร้างเซลล์ สมการที่ 7 เป็นตัวอย่างของกระบวนการสร้าง CH_4 โดย Autotrophic Bacteria เรียกว่ากลุ่ม Methanogen ถึงแม้ว่าในสมการที่ 7 จะมีการสลายกรดอินทรี (ที่เป็นผลมาจากการย่อยสลายของสารอินทรีโดยกระบวนการอื่นๆ) แต่ชาตุкар์บอนในสารอินทรีไม่ได้ถูกนำมาใช้ในเซลล์ ดังนั้น Methanogen จึงไม่จัดเป็น Heterotrophic Bacteria นอกจาก Methanogens ยังมีกลุ่ม Nitrifying Bacteria, Sulfur Bacteria และ Iron Bacteria ซึ่งได้พลังงานจากการออกซิไดซ์สารอินทรี กระบวนการ Nitrification แบ่งเป็น 2 ขั้นตอนคือดังแสดงในสมการ 8 และ 9 โดยแบคทีเรียสกุล Nitrosomas และ Nitrobacter ตามลำดับ



กระบวนการ Nitrification สามารถเกิดขึ้นในระบบบำบัดทางชีวภาพขั้นทุติยภูมิ โดยต้องอยู่ในสภาพที่มีปริมาณสารอินทรีย์เข้ามาตាฯ และมีอุณหภูมิพอเหมาะสม อย่างไรก็ตาม ปฏิกิริยา Nitrification จะเพิ่มปริมาณการใช้ออกซิเจนในน้ำอาจมีผลต่อการลอยตัวของตะกอนจุลินทรีย์ในถังตักตะกอนสุดท้าย โดยการลอยของตะกอนจุลินทรีย์เกิดฟองแก๊สในไตรเจนอันเกิดจากรีดิวเซ่ Nitrate หรือเรียกว่ากระบวนการ Denitrification ดังสมการที่ 5

Sulfur Bacteria ซึ่งเป็นสาเหตุให้เกิด Crown Corrosion ในระบบระบายน้ำเสีย ดังที่ได้กล่าวมาแล้วออกซิไดซ์แก๊สไฮโดรเจนซัลไฟด์เป็นกรดซัลฟูริกดังสมการ 10



Iron Bacteria เป็นแบคทีเรียพาก Autotroph ที่ทำการออกซิไดซ์ Inorganic Ferrous Ion ที่ละลายน้ำให้กลายเป็น Ferric ที่ไม่ละลายน้ำดังสมการ 11



4. ประเภทของเชลล์เชื้อเพลิงจุลชีพและกระบวนการทางชีวเคมีของจุลินทรีย์

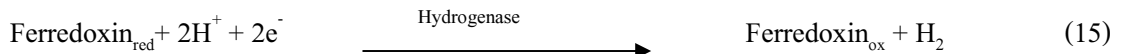
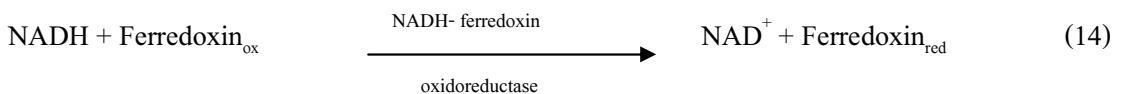
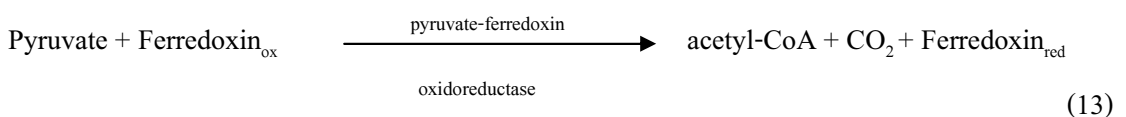
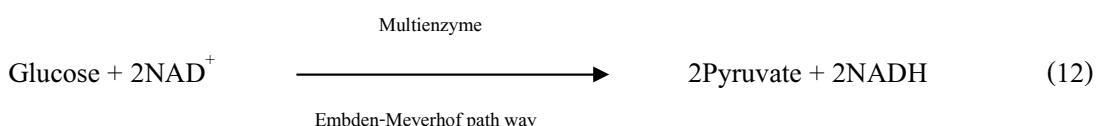
เชลล์เชื้อเพลิงที่ใช้ปฏิกิริยาทางชีวภาพปกติแบ่งเป็น 2 ชนิด คือ เชลล์เชื้อเพลิงจุลชีพและเชลล์เชื้อเพลิงที่ใช้ออนไซน์ ซึ่งในการทดลองนี้จะศึกษาเน้นเฉพาะทางด้านเชลล์เชื้อเพลิงจุลชีพโดยใช้จุลินทรีย์ในการทำปฏิกิริยาทางชีวภาพในเชลล์เชื้อเพลิงเพื่อให้ได้กระแสไฟฟ้า โดยแบ่งเป็น 4 แนวทาง

4.1 เชลล์เชื้อเพลิงจุลชีพแบบแยกถัง (Microbial-system producing hydrogen as fuel for conventional fuel cell) ในรูปแบบนี้จะใช้จุลินทรีย์ในการผลิตไฟฟ้าเคมีผ่านกระบวนการหมักหรือการย่อยสลายเพื่อให้เกิดพลังงาน โดยถังปฏิกิริยาและเชลล์เชื้อเพลิงจะแยกออกจากกัน

จุลินทรีย์ที่ใช้ในเชลล์เชื้อเพลิงจุลินทรีย์ในการผลิตไฮโดรเจนสามารถใช้ได้ทั้งพากแบคทีเรียและสาหร่าย เช่น *Escherichia coli*, *Enterobacter aero-genens*, *C. butyricum*, *Clostridium acetobutylicum* และ *Clostridium perfringens* ซึ่งจุลินทรีย์พกนี้จะสามารถผลิตไฮโดรเจนภายใต้

สภาวะไร้อากาศ (Gottschalk *et al.*, 1979; Heyndrickx *et al.*, 1990) โดยประสิทธิภาพของการผลิตไธโอดเรเจนจากจุลินทรีย์ *C. butyricum* (Suzuki *et al.*, 1983), *E. coli* และ *Enterobacter aerogenes* เป็นพากที่อยู่ในสภาวะที่ออกซิเจนหรือไม่มีกําไถ (Facultative anaerobes) และการหมักใช้ห้องกลูโคสและแลกโถสเป็นแหล่งคาร์บอนในการผลิตไธโอดเรเจน

ในการเปลี่ยนสารโนไธโอดเรตซึ่งเป็นชั้บสเตเรตในเซลล์เชื้อเพลิงจุลินทรีย์เพื่อไปไธโอดเรจنت้องใช้ออนไซม์หลายตัว โดยในแบบที่เรียกว่าเปลี่ยนโมเลกุลของกลูโคสเป็น 2 โมลของ NADH จะมีการรีดิวชันปูของโคเอนไซม์ (coenzyme) ที่ชื่อว่า β -nicotinamide adenine dinucleotide ของวิตามิน niacin และจะได้ 2 โมลในรูปของไพรูเวต (Pyruvate) จากกระบวนการ Embden-Meyerhof path way ต่อมายาไพรูเวต (Pyruvate) จะถูกออกซิไดซ์กล้ายเป็น อะซิทิลโคเอ (acetyl-CoA), CO_2 และ ตัวรีดิวชันของ ferredoxin โดย pyruvate-ferredoxin oxidoreductase และ NADH-ferredoxin oxidoreductase จะออกซิไดซ์ NADH และรีดิวชัน ferredoxin โดยการรีดิวชัน ferredoxin คือการเปลี่ยนให้อยู่ในรูปไธโอดเรจนาอกเหนือนไ盎ไซด์ไธโอดเรจเนส (Hydrogenase) สุดท้ายผลที่ได้คือ 2 โมลไธโอดเรจน ที่ได้จากการผลิตของกลูโคส 1 โมล ภายใต้สภาวะในอุณหภูมิแสดงดังสมการ 12-16 อย่างไรก็ตาม yield ของไธโอดเรจนในทางปฏิบัติที่ได้จะประมาณ 25 เปอร์เซ็นต์ของทฤษฎี (Suzuki *et al.*, 1983) การเพิ่มผลผลิตของไธโอดเรจนสามารถเป็นไปได้โดยใช้เทคนิคทางวิศวกรรมไฟฟ้าและการใช้แบบที่เรียกว่าสามารถผลิตไธโอดเรจนตัวใหม่





เซลล์เชื้อเพลิงชีวภาพที่ผลิตไฮโดรเจนและใช้ออกซิเจนเป็นตัวรับอิเล็กตรอน (H_2/O_2 , Fuel cell) จะประกอบด้วย platinum – black - nickel นำมาทำให้มีลักษณะเป็นແບประกอบเข้าด้วยกันในค้านแອโนด และใช้ palladium – black – nickel ในส่วนของค้านแคโทด และแบ่งทั้ง 2 ฝั่งด้วยตัวกรองไนลอน (nylon filter) โดยการเดินระบบของถังปฏิกิริยาชีวภาพจะกระทำที่อุณหภูมิห้อง (Suzuki *et al.*, 1980; Karube *et al.*, 1981) กระแสและโวลต์ที่ได้จะขึ้นกับอัตราการผลิตไฮโดรเจนของกระบวนการหมักตัวอย่างเช่น ในการให้อัตราการไหลของไฮโดรเจน 40 มิลลิตรต่อนาที โดยในช่วง open - circuit จะได้โวลต์ (V_o) เท่ากับ 0.95 โวลต์ และในช่วง short – circuit จะได้ความหนาแน่นของกระแสเท่ากับ 40 มิลลิแอมเปอร์ต่อตารางเซนติเมตร ในการเดินระบบของเซลล์เชื้อเพลิงจุลินทรีย์จะทำภายใต้สภาวะที่คงตัว (steady state) โดยในหนึ่งอาทิตย์เดินระบบอย่างต่อเนื่องสามารถผลิตกระแสไฟฟ้าอยู่ระหว่าง 500 และ 550 มิลลิแอมเปอร์

การทำให้ตัวเร่งปฏิกิริยาชีวภาพมีความเสถียรคงตัวถือเป็นความสำคัญระดับแรกๆ ของการทำให้ตัวเร่งปฏิกิริยาชีวภาพ โดยในส่วนประกอบกึ่งดังที่ได้กล่าวแล้วในข้างต้น ในส่วนของการจะทำให้ระบบที่มีการผลิตไฮโดรเจนของแบคทีเรียมีความเสถียรนั้น แบคทีเรีย *C. butyricum* มีความคงตัวที่ดีแต่มีความสัมพันธ์ ที่จะทำให้ระบบผลิตไฮโดรเจนไม่คงตัว โดยการทำให้ระบบมีความคงตัวนั้นจะต้องสามารถดักจับจุลินทรีย์ให้สามารถถ่ายออกในระบบได้ โดยอาจใช้โพลิเมอร์ เช่น พาก polyacrylamide (Suzuki and Karube, 1983), agar gel (Suzuki *et al.*, 1980; Karube *et al.*, 1981) หรือการใช้กระดาษกรอง (Suzuki and Karube, 1983) และการทำให้ระบบสามารถรักษาสภาวะไร้อากาศ (anaerobic) ไว้ได้ใน habitats ที่มีการผลิตไฮโดรเจนอย่างต่อเนื่อง ในทางตรงกันข้าม ถ้าไม่สามารถรักษาให้ระบบมีความคงตัวได้แบคทีเรียทั้งหมดจะไม่ตอบสนองในระยะเวลาประมาณ 2 วัน

4.2 เซลล์เชื้อเพลิงจุลชีพที่เกิดไฟฟ้าที่ขึ้นแອโนดโดยตรง (Microbial system producing electrochemically active metabolites in the anodic compartment of biological fuel cell) ในรูปแบบนี้กระบวนการหมักของจุลินทรีย์จะเกิดขึ้นที่ขึ้นแօโนดโดยตรง

ระบบของจุลินทรีย์ในการผลิตกระแสไฟฟ้าจะเกิดในฝั่งค้านแօโนด โดยกระบวนการทางไฟฟ้าเคมีในการย่อยสลายสารอินทรีย์เพื่อให้ได้พลังงาน โดยการเกิดไฮโดรเจนในเซลล์

เชื้อเพลิงน้ำจะเกิดกระบวนการหมัก (fermentation) ที่ด้านของฝั่งแอนode โดยผลิตภัณฑ์จากกระบวนการหมักคือ กรดฟอร์มิก (formic acid) กรดอะซิติก (acetic acid) และกรดแลกติก (lactic acid) จะถูกใช้ประโยชน์ในเซลล์เชื้อเพลิงจุลินทรีย์ (Karube *et al.*, 1977) ดังสมการที่ 17-19 และอีกด้านหนึ่งซับสเตรตหลักที่ใช้ในกระบวนการหมักคือกลูโคส ผลิตภัณฑ์ที่เกิดขึ้นจะถูกนำไปสมบทในกระบวนการผลิตกระแสไฟฟ้าต่อไป สมการข้างล่างจะแสดงถึงการผลิตไฮโครเจนจากแหล่งต่างๆ ที่เกิดในด้านแอนode เพื่อนำไปผลิตกระแสไฟฟ้า



ในสภาวะการเกิดไฮโครเจนน้ำสามารถผลิตได้จากกรดฟอร์มิก (formic acid), กรดแลกติก (lactic acid) และชัลเฟอร์ประgonอยู่ด้วย โดยปฏิกิริยาไฟฟ้าเคมีของการย่อยสลายเพื่อให้ได้พลังงานของ ซึ่งสามารถผลิตได้ในระหว่างกระบวนการหมักแลกเตส (Lactase) โดยแบคทีเรีย *Desulfovibrio desulfuricans* ซึ่งเป็นแบคทีเรียที่ใช้ชัลเฟตเป็นตัวรับอิเล็กตรอน (sulphate-reducing bacteria) และแสดงดังสมการที่ 20, 21 และ 22



โดยชัลไฟด์ในช่วงกลางของปฏิกิริยาจะเป็นตัวขับย้งการย่อยสลายเพื่อให้ได้พลังงานของแบคทีเรีย เพราะไฟฟ้าทำปฏิกิริยากับเหล็กในโปรตีน เช่น ไฟบัดขาวระบบขนส่งอิเล็กตรอน (electron transport system) ในไซโตโครม (cytochrom) ซึ่งเป็นโปรตีนที่มีชาตุเหล็กอยู่ในโน一团 ชัลเฟอร์จะมีผลเป็นพิษต่อโลหะที่ข้ออิเล็กโทรดหลายประการ เช่น เป็นตัวทำปฏิกิริยาที่รุนแรง และสามารถคุกคามกับอิเล็กโทรดได้และเมื่อถูกคุกคามจะไม่สามารถเอาออกจากข้ออิเล็กโทรดได้ ใน

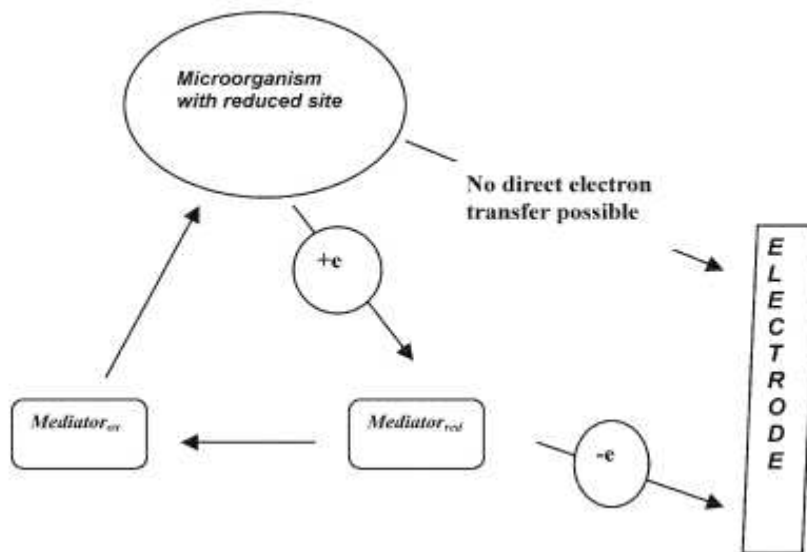
การทดลองหนึ่งได้ใช้ แกรไฟต์ (graphite) ที่มีรูพรุนเป็นข้ออิเล็กโทรด และไส่โคบอลต์ไซดรอกไซด์ (cobalt hydroxide) เพื่อเป็นตัวเร่งปฏิกิริยาซึ่ง โคบอลต์จะทำปฏิกิริยาที่รุนแรงกับซัลเฟอร์ทำให้ในสารละลายเป็นของผสมระหว่าง โคบอลต์ไซดรอกไซด์กับ โคบอลต์ซัลไฟด์ (cobalt hydroxide/cobalt sulphide mixture) เซลล์เชือเพลิงจุลชีพมีโครงสร้างประกอบไปด้วยค้านแอโนดที่มีตัวเร่งปฏิกิริยาทางชีวภาพดังที่ได้กล่าวมาข้างต้น ในส่วนของค้านแคโทดที่ใช้แกรไฟต์ (graphite) เป็นข้ออิเล็กโทรดโดยใช้ iron(II)phthalocyanins และสารประกอบ vanadium (V) เป็นตัวเร่งปฏิกิริยา ค้านแอโนดและแคโทดจะถูกแยกออกจากกัน โดยรักษาสภาพไร้อากาศ (anaerobic) ที่ค้านแอโนดให้คงที่ โดยเซลล์เชือเพลิงจุลชีพจะมีลักษณะโดยคร่าวๆ คือ $V_{oc} = 2.8$ โวลต์ และ $I_{sc} = 2.5-4$ มอนแปร์ โดยจะเดินระบบเป็นระยะเวลา 18 เดือนและใช้ระยะเวลาประมาณ 40-60 นาทีในหนึ่งวัน (Habermann and Pommer, 1991; Coony *et al.*, 1996) การเดินระบบที่ล้มเหลวของเซลล์เชือเพลิงจะเกิดระหว่างการดูดซับของผลิตภัณฑ์ที่ผิวอิเล็กโทรดที่เกิดจากการเพิ่มอิเล็กโทรดจากการปรับปรุงกระบวนการ จุลินทรีย์ในระบบจะเริ่มกระบวนการย่อยสลายกลูโคสในลังปฏิกิริยา โดยกระบวนการหมัก ของเหลวจะถูกนឹดอย่างต่อเนื่อง โดยปั๊มผ่านช่องทางฝังอิเล็กโทรด ในการแบ่งฝังทั้ง 2 ค้านจะมีเยื่ออิเล็กต์รอน (semi-permeable membrane) เซลล์เชือเพลิงจุลชีพอีกประเภทหนึ่งคือการปรับเปลี่ยนทางค้านแอโนด โดยใช้ platinum หรือ platinized graphite เป็นข้ออิเล็กโทรดหุ้มผิวด้วยตัวนำไฟฟ้าพลาสติก polyaniline และจะมีทั้งตัวประสานทางชีวภาพและตัวกระตุ้นทางไฟฟ้าประกอบอยู่ด้วย ในการดูดซับอิเล็กตรอนจากกระบวนการย่อยสลายเพื่อให้ได้พลังงานของแบคทีเรียจะถูกขนส่งจากทางค้านฝังแอโนด ในระหว่างการเดินระบบผลิตภัณฑ์ที่ได้จากการย่อยสลายเพื่อให้ได้พลังงานของแบคทีเรีย จะเกิดขึ้นตามกระบวนการออกซิเดชัน โดยมีตัวเร่งปฏิกิริยาทางไฟฟ้านานขึ้นแอโนด และไม่ถูกเร่งปฏิกิริยาอย่างรวดเร็ว โดยโพลิเมอร์สามารถลดความเร็วของการเดินระบบได้พอสมควร ในเซลล์เชือเพลิงจุลินทรีย์ที่มีการเดินระบบต่อเนื่องจะได้กระแสสูงกว่า 1.5 มิลลิแอมแปร์ต่อตารางเมตร (Schroder *et al.*, 2003)

4.3 เซลล์เชือเพลิงจุลชีพชนิดที่ใช้สารตัวกลาง (Mediator-coupled microbial fuel cell) ในรูปแบบนี้จะมีการใช้สารตัวกลางในการขนส่งอิเล็กตรอนระหว่างเซลล์ของจุลินทรีย์กับข้ออิเล็กโทรด โดยสารตัวกลางจะรับอิเล็กตรอนจากกระบวนการย่อยสลายของเซลล์จุลินทรีย์ (electron transport chain) และขนส่งอิเล็กตรอนไปสู่ข้อแอโนดในเซลล์เชือเพลิง

สารตัวกลาง (mediator) คือตัวกลางที่ใช้ในการรับอิเล็กตรอนจากปฏิกิริยาการย่อยสลายสารอาหารเพื่อให้ได้พลังงานของจุลินทรีย์ เพื่อนำไปผลิตกระแสไฟฟ้า โดยที่ตัวกลางจะมี

หน้าที่ในการติดต่อระหว่างเซลล์ของจุลินทรีย์กับข้ออิเล็กโทรด โดยจะรับอิเล็กตรอนที่ผิวของเเม่เบรนของจุลินทรีย์บนส่วนข้ามไปให้ข้ออิเล็กโทรด โดยพื้นที่ผิวของลวดตัวนำไฟฟ้าของอิเล็กโทรดมีส่วนช่วยการทำงานของสารตัวกลาง สารตัวกลางที่มีน้ำหนักโมเลกุลต่ำๆจะสามารถพาอิเล็กตรอนผ่านระหว่างภายในเซลล์ของแบคทีเรียและข้ออิเล็กโทรดได้ โดยการทำงานของสารตัวกลางดังแสดงในภาพที่ 9 และตัวกลางที่คือต้องมีความสามารถดังต่อไปนี้

- ก) สารตัวกลางที่ออกซิไดซ์ความสามารถผ่านเข้าไปรับอิเล็กตรอนที่เซลล์เเม่เบรนของแบคทีเรีย และเมื่อรับอิเล็กตรอนแล้วสามารถผ่านออกจากเซลล์ได้
- ก) ค่า redox potential ของสารตัวกลางควรจะเหมะสมกับค่า potential ของ reductive metabolite
- ก) สารตัวกลางในสภาพออกซิเดชันต้องไม่รบกวนกระบวนการย่อยสลายเพื่อให้ได้พลังงาน (metabolic process)
 - ก) สารตัวกลางที่รับอิเล็กตรอนแล้วความสามารถผ่านเซลล์เเม่เบรนของแบคทีเรียออกมากได้
 - ก) ในสภาพทึ่งของการออกซิไดซ์และรีดิวซ์ของสารตัวกลางควรจะเสถียร ไม่ทำปฏิกิริยาในสารละลายอิเล็กโทรไลท์ ละลายง่าย และไม่ถูกดูดซับ ไม่ว่าโดยเซลล์แบคทีเรียหรือที่ผิวของอิเล็กโทรด
 - ก) การเกิดปฏิกิริยาไฟฟ้าเคมีของกระบวนการออกซิเดชันที่ผิวอิเล็กโทรดของสารตัวกลางที่รับอิเล็กตรอน (mediator-reduce) เกิดขึ้นอย่างรวดเร็ว



ภาพที่ 9 การทำงานของสารตัวกลางในการขันส่งอิเล็กตรอน

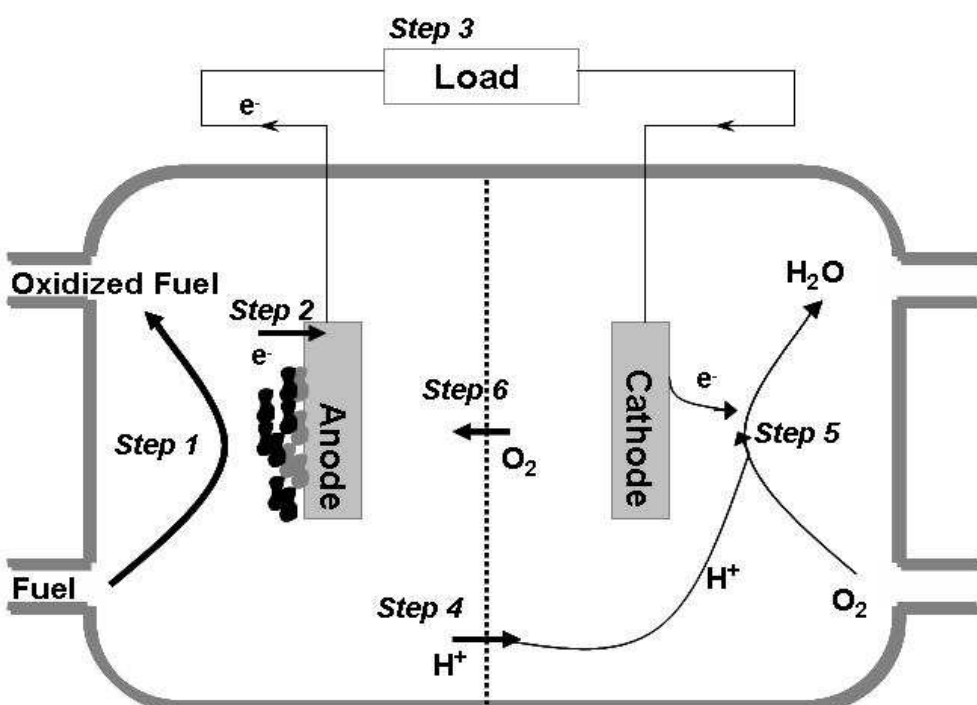
ที่มา: Shukla *et al.* (2004)

4.4 เชลล์เชือเพลิงจุลชีพชนิดปราศจากสารตัวกลาง (Mediator-less microbial fuel cell) ในรูปแบบนี้จะใช้จุลินทรีย์ที่มีความสามารถรับอิเล็กตรอนได้เป็นตัวพาอิเล็กตรอน โดยที่ผิวชั้นนอกของเซลล์จุลินทรีย์จะมีไซโตโกรام (cytochromes) มีความสามารถในการติดต่อกับขั้วอิเล็กโทรดได้โดยตรง โดยไม่จำเป็นต้องใช้สารตัวกลาง

ในปัจจุบันได้มีการใช้เชลล์เชือเพลิงจุลินทรีย์ที่ใช้แบคทีเรียที่มีความสามารถเร่งปฏิกิริยาทางไฟฟ้าเคมี (electronchemically-active bacteria, EAB) และมีความสามารถที่จะถ่ายทอดอิเล็กตรอนจากชั้นสเตรตไปยังขั้วไฟฟ้าโดยตรงโดยไม่ต้องใช้สารตัวกลาง (Chang *et al.*, 2006) เชลล์เชือเพลิงจุลินทรีย์ที่ใช้จุลินทรีย์ประเภทนี้เรียกว่า mediator-less MFC แบคทีเรียประเภท dissimilatory metal reducing bacteria ซึ่งมีความสามารถในการรีดิวซ์โลหะออกไซด์จะมีความสามารถในการใช้งานด้วย ในปัจจุบันได้ค้นพบแบคทีเรียประเภท EAB หลายชนิด ได้แก่ *Aeromonas hydrophila* (Cuong *et al.*, 2003), *Clostridium butyricum* (Park *et al.*, 2001), *Desulfobulbus prooinicus* (Holmes *et al.*, 2004), *Enterococcus gallinarum* (Kim *et al.*, 2005), *Shewanella putrefaciens* (Kim *et al.*, 1999, 2005), *Geobacter sulfurreducens* (Bond and Lovley, 2003) และ *Geobacter metallireducens* (Myers *et al.*, 1992; Lovley *et al.*, 1993; Dichristina and

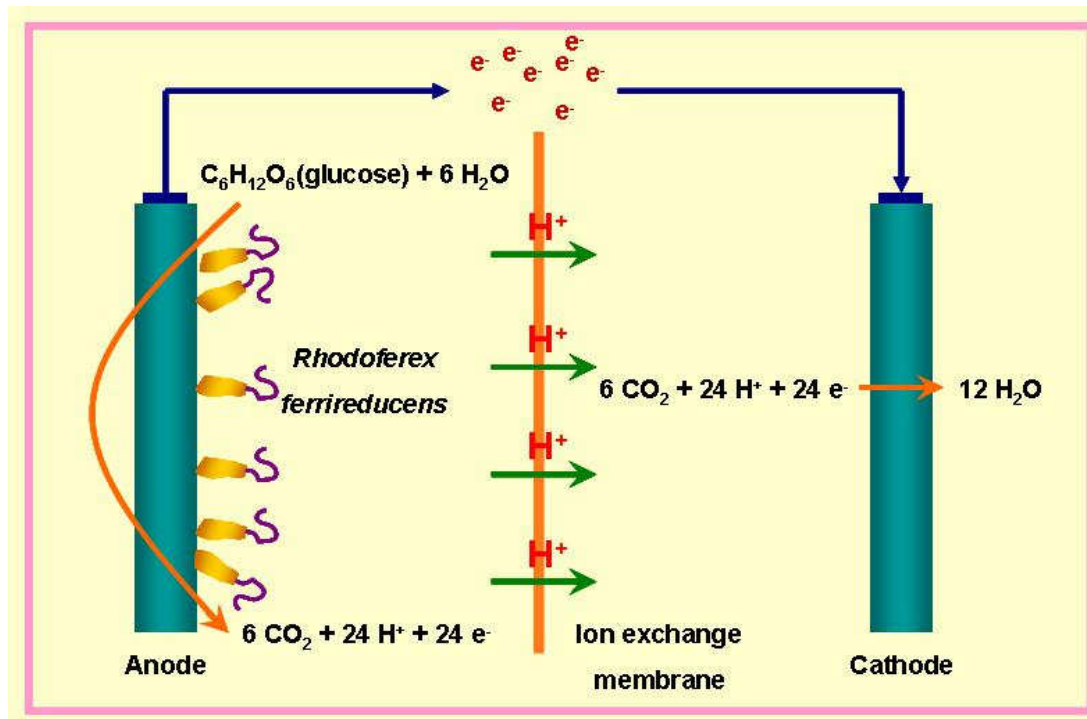
Delong, 1994) ได้มีการศึกษาพัฒนาเชลล์เชื่อเพลิงจุลินทรีย์ขึ้น โดยไม่จำเป็นต้องใช้สารตัวกลางโดยแบคทีเรียพวง *Shewanella putrefaciens* IR-1 เป็นแบคทีเรียชนิดแรกที่สามารถถ่ายทอดอิเล็กตรอนไปสู่ชั้วไฟฟ้าได้โดยตรงที่ถูกศึกษาโดย Kim *et al.* (2002) กระบวนการด้านไฟฟ้าเคมี เชื่อว่าเกี่ยวข้องกับตัวถ่ายอิเล็กตรอนที่อยู่บริเวณพื้นผิวดองเชลล์และเกี่ยวข้องกับปฏิกิริยาเรดักชันของตัวรับอิเล็กตรอนในธรรมชาติประเภทที่ไม่ละลายน้ำคือ Fe(III)

ในงานวิจัยดังกล่าวได้แสดงให้เห็นถึงการทำงานของ mediator-less MFC ซึ่งขึ้นอยู่กับปัจจัยต่างๆ หลายประการ (ภาพที่ 10) คือ 1) การออกแบบชีดีไซน์ชั้นสตเตอร์ตของจุลินทรีย์ในครึ่งเซลล์ของแอโนด 2) อัตราการไหลที่ไม่สม่ำเสมอของชั้นสตเตอร์ตเข้าสู่ครึ่งเซลล์แอโนด 3) การถ่ายทอดอิเล็กตรอนจากเซลล์เชื้อเพลิงจุลินทรีย์ไปยังขั้วไฟฟ้าแอโนด 4) การถ่ายเท proton จากครึ่งเซลล์แอโนดไปยังครึ่งเซลล์แคโทดผ่านทาง cation-specific membrane 5) ความด้านท้านของวงจรไฟฟ้าที่ใช้ในการถ่ายเทอิเล็กตรอนจากขั้วแอโนดไปยังขั้วแคโทด 6) การทำปฏิกิริยาของออกซิเจนในครึ่งแคโทด (gill et al., 2003) และ 7) การแพร่ของโมเลกุลออกซิเจนจากครึ่งเซลล์แคโทดไปยังครึ่งเซลล์แอโนดผ่านทาง cation-specific membrane



ภาพที่ 10 ปัจจัยที่มีผลต่อการทำงานของเซลล์เชื้อเพลิงกลินทรีย์

ปฏิกิริยาไฟฟ้าเคมีในเซลล์เชื้อเพลิงจุลินทรีย์จะเกิดขึ้นโดยกิจกรรมของจุลินทรีย์และเจริญเติบโตภายใต้สภาวะไร้อากาศ (anaerobic) ถึงอย่างไรก็ตามไม่พบว่ากิจกรรมของจุลินทรีย์จะเกิดขึ้นภายใต้สภาวะที่มีอากาศ (aerobic) จากการสังเกตการเดินระบบของเซลล์เชื้อเพลิงจุลินทรีย์โดยใช้ถังปฏิกิริยาแบบ sequential batch พบว่าค่าคูณบิก (coulombic yield) และค่ากระแสสูงสุด (maximum current) จะค่อนข้างเปลี่ยนแปลงลดลง แบคทีเรียอิกชนิดหนึ่งที่พบว่าสามารถใช้ในเซลล์เชื้อเพลิงจุลินทรีย์ได้อย่างมีประสิทธิภาพโดยไม่ต้องใช้ตัวกลาง (mediator) คือ *Rhodoferax ferrireducens* (Chaudhuri and Lovley, 2003) ซึ่งพบได้จากการแยกจากชั้นล่างของผิวตะกอนของอ่าว Oyste ในรัฐวอร์จิเนียประเทศสหรัฐอเมริกา โดยแบคทีเรีย *Rhodoferax ferrireducens* จะแตกต่างจากแบคทีเรียที่ใช้ Fe(III) เป็นตัวรับอิเล็กตรอน (Fe(III) reducing bacteria) R. *ferrireducens* จะเจริญเติบโตโดยใช้กลูโคส (ภาพที่ 11) โดยสมการที่ 23 แสดงถึงปริมาณสัมพันธ์ (stoichiometry) ของกลูโคสและการรับอิเล็กตรอนของ Fe(III)



ภาพที่ 11 การทำงานของแบคทีเรีย *R. ferrireducens* ในเซลล์เชื้อเพลิงจุลินทรีย์

ที่มา: Scholz and Schroder (2003)

ในการทดสอบระบบจะประกอบไปด้วยถังปฏิกิริยาภายในบรรจุ *E.coli* K12 ในสารอาหารมาตรฐานกลูโคส (55 มิลลิโมลลาร์กกลูโคส) ที่เจริญเติบโตภายใต้สภาวะไร้อากาศ (anaerobic) และเซลล์เชื้อเพลิงจุลินทรีย์จะประกอบด้วยค้านแอนไดจีการบรรจุแบนค์ที่เรียบโดยผ่านปั๊ม ส่วนในค้านแคนโอดจะประกอบด้วยแท่งแกรไฟฟ์ท่อ และสารเร่งปฏิกิริยา 50 มิลลิโมลลาร์ของสารละลาย Ferric cyanide ในสารละลายฟอสเฟตบัฟเฟอร์

การนำกลับของอิเล็กตรอนจากปฏิกิริยาออกซิเดชันของกลูโคส 83 เปอร์เซ็นต์ ของทฤษฎีพบว่าใช้การได้โดยการเจริญเติบโตของจุลินทรีย์จะรองรับกับพลังงานที่ได้มาจากการวนการบนถ่ายอิเล็กตรอน (electron transfer) ของตัวมันเอง และการวัดกำลังในระบบทะ夷าผลที่ได้ค่อนข้างจะคงที่ โดยเซลล์เชื้อเพลิงจุลินทรีย์ประเภทนี้มีข้อดีที่แตกต่างกับเซลล์เชื้อเพลิงจุลินทรีย์ประเภทอื่นคือไม่ต้องใช้สารตัวกลาง open-circuit นอกจากนี้ยังอยู่ภายใต้สภาวะอุดมคติ ดังที่ได้กล่าวมาการไม่ใช้สารตัวกลาง (mediator) ในเซลล์เชื้อเพลิงจุลินทรีย์เป็นการประยุกต์ใช้ที่ช่วยประหยัดในเรื่องค่าใช้จ่ายและความเป็นพิษของสารตัวกลาง (mediator) ที่เกิดขึ้น ในการใช้เซลล์เชื้อเพลิงจุลินทรีย์แบบที่ไม่ใช้สารตัวกลาง (mediator) ถ้าระบบมีความสมบูรณ์ก็สามารถเพิ่มประสิทธิภาพในการขันถ่ายอิเล็กตรอนได้ (electron transfer) ดังตารางที่ 2

ตารางที่ 3 ค่า power output ของเซลล์เชื้อเพลิงจุลินทรีย์โดยไม่ใช้สารตัวกลาง (Mediator-less microbial fuel cell)

Micro-organism	Substrate	Anode	Current (mA)	Power (mW/m ²)	Reference
<i>Shewanella putrefaciens</i>	lactate	Woven graphite	0.031	0.19	Kim <i>et al.</i> 2002
<i>Geobacter sulfurreducens</i>	acetate	graphite	0.40	13	Bond and lovley. 2003
<i>Rhodoferax ferrireducens</i>	glucose	graphite	0.2	8	Chaudhuri and Lovley. 2003
	glucose	Woven graphite	0.57	17.4	Chaudhuri and Lovley. 2003

ตารางที่ 3 (ต่อ)

Micro-organism	Substrate	Anode	Current (mA)	Power (mW/m ²)	Reference
	glucose	Porous graphite	74	33	Chaudhuri and Lovley. 2003
Mixed seawater culture	acetate	graphite	0.23	10	Bond <i>et al.</i> 2002
	Sulphide / acetate	graphite	60	32	Tender <i>et al.</i> 2002
Mixed active sludge culture	acetaet	graphite	5	-	Lee <i>et al.</i> 2003
	glucose	graphite	30	3600	Rabaey <i>et al.</i> 2003
	sewage	Woven graphite	0.2	8	Kim <i>et al.</i> 2004

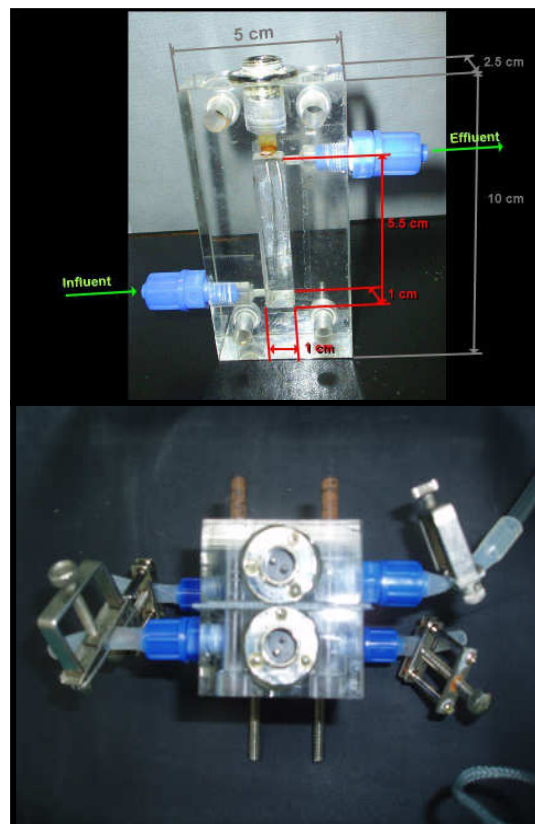
ที่มา: ดัดแปลงมาจาก Rabaey *et al.* (n.d.)

อุปกรณ์และวิธีการ

อุปกรณ์

1. อุปกรณ์ในระบบการผลิตกระแสไฟฟ้า

1.1 เซลล์เชื้อเพลิงจุลชีพ ประกอบด้วยด้านแคโทดและแอดโนด ซึ่งในแต่ละด้านจะประกอบด้วยแผ่นคาร์บอนทำหน้าที่ให้จุลินทรีย์เกาะ ปริมาตรภายในเซลล์เชื้อเพลิงจุลชีพเท่ากับ 5.5 ลูกบาศก์เซนติเมตร โดยน้ำเสียจะไหลผ่านทางด้านแอดโนดและน้ำที่อิ่มตัวด้วยออกซิเจนจะไหลผ่านทางด้านแคโทด โดยด้านบนของเซลล์จะเป็นขั้วสำหรับต่อสายเข้ากับเครื่องวัดกระแสไฟฟ้า (ภาพที่ 12)



ภาพที่ 12 เซลล์เชื้อเพลิงจุลชีพแบบห้องคู่ (Two Chamber Compartment)

1.2 ถังปืนน้ำเสีย ประกอบด้วยขวดแก้วปริมาตร 10 ลิตร ด้านบนปิดด้วยจุกซิลิโคน
เจาะรูเพื่อใส่สายยางต่อ กับปั๊ม (ภาพที่ 13)



ภาพที่ 13 ถังปืนน้ำเสีย

1.3 ถุงบรรจุแก๊สในไตรเจน ทำจากวัสดุประเทพพลาสติกเพื่อใช้เก็บแก๊สในไตรเจนใช้ในการแทนที่น้ำในการทดลอง (ภาพที่ 14)



ภาพที่ 14 ถุงบรรจุแก๊สในไตรเจน

1.4 ตู้ควบคุมอุณหภูมิ (incubator) โดยสามารถควบคุมอุณหภูมิอยู่ในช่วง 25-70 องศาเซลเซียส (ภาพที่ 15)



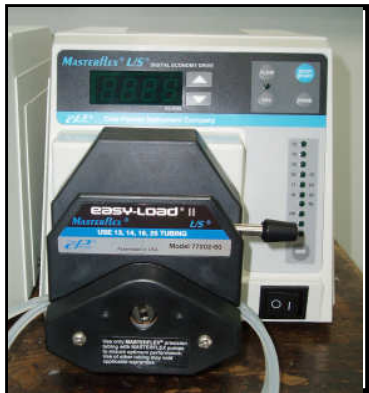
ภาพที่ 15 ตู้ควบคุมอุณหภูมิ (incubator)

1.5 เครื่องวัดกระแสไฟฟ้า (Multi meter) ยี่ห้อ Keithley รุ่น 2701 (ภาพที่ 16)



ภาพที่ 16 เครื่องวัดกระแสไฟฟ้า (Multi meter)

1.6 peristaltic pump ยี่ห้อ Master flex ประกอบด้วย ปั๊มรุ่น 07524-40 และ หัวจ่ายรุ่น Easy-Load II Pump Head (ภาพที่ 17)



ภาพที่ 17 peristaltic pump

2. น้ำเสียที่ใช้ในการทดลองแบ่งเป็น 3 ชนิดคือ

2.1 น้ำเสียสังเคราะห์

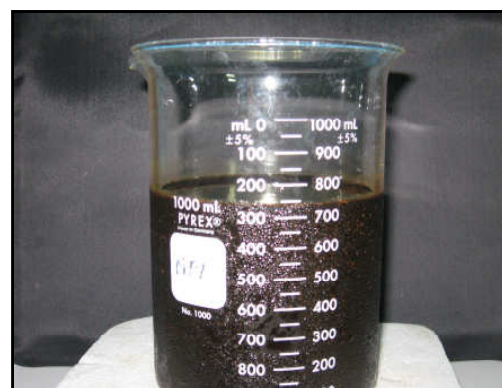
น้ำเสียสังเคราะห์ เตรียมได้จากการนำสารละลายเข้มข้นชนิดที่ 1 ปริมาตร 1,000 มิลลิลิตร และสารละลายเข้มข้นชนิดที่ 2 และ 3 อย่างละ 100 มิลลิลิตร (สารละลายแต่ละชนิดแสดงในภาคผนวก) ผสมรวมกับน้ำกลั่นจนได้ปริมาตร 9 ลิตร เติมกลูโคส และกลูตามิกรา ตามความเข้มข้นที่ใช้ในการทดลอง (ตารางแสดงความเข้มข้นน้ำเสียแสดงในภาคผนวก) ปรับปริมาตรสุดท้ายให้เป็น 10 ลิตร (น้ำเสียสังเคราะห์ที่เตรียมจะมีค่าพีอีซีประมาณ 7.5-7.8) ปรับพีอีซีให้ได้ในช่วง 7.00 ± 0.01 ด้วยสารละลายโซเดียมไฮดรอกไซด์ (NaOH) เข้มข้น 6 M หรือสารละลาย HCl เข้มข้น 6 M วัดค่าพีอีซีด้วยเครื่องวัดพีอีซี ยี่ห้อ (EUTECH INSTRUMENTS) ปิดฝาด้วยจุกซิลิโคนนำไปปั่น เชือด้วยเครื่อง Autoclave (TOMY, model ES-315) ที่อุณหภูมิ 121 องศาเซลเซียส ความดัน 1.2 กิโลกรัม ต่อสูบากาสก์เซนติเมตร เป็นเวลา 15 นาที จากนั้นนำไปล้างแก๊สออกซิเจนด้วย แก๊สไนโตรเจน 99.95 % เป็นเวลา 15 นาที (ภาพที่ 18)



ภาพที่ 18 น้ำเสียสังเคราะห์

2.2 น้ำากาส่า

น้ำากาส่าที่ใช้ในการวิจัยเป็นน้ำากาส่าที่ได้จาก บริษัท สุรา บางปี้ขัน โดยมีการปรับสภาพก่อนนำไปใช้ในการทดลองด้วยการผสมบัฟเฟอร์และปรับให้พีเอชให้เท่ากับ 7 จากนั้นนำไปกำจัดแก๊สไอล์ก้าซออกซิเจนที่อยู่ในขวด โดยการแทนที่ด้วยแก๊สไนโตรเจน เป็นเวลา 15 นาที โดยน้ำากาส่าที่ใช้ในการทดลองมีค่าบีโอดีอูในช่วง 60,000 – 64,000 มิลลิกรัมต่อลิตร และมีค่าซีโอดีอูในช่วง 180,000 – 190,000 มิลลิกรัมต่อลิตร (ภาพที่ 19)



ภาพที่ 19 น้ำากาส่า

2.2 น้ำเสียโรงอาหาร

น้ำเสียโรงอาหารที่ใช้ในการวิจัยเก็บจากบ่อบำบัดน้ำเสียของโรงอาหารกลางมหาวิทยาลัย เทคโนโลยีพระจอมเกล้าพระนครเหนือ โดยมีการปรับสภาพก่อนนำไปใช้ในการทดลองด้วยการผสมบัฟเฟอร์และปรับให้พิเศษเท่ากับ 7 จากนั้นนำไปกำจัดแก๊สออกซิเจนที่อยู่ในขวด โดยการแทนที่ด้วยแก๊สไนโตรเจน เป็นเวลา 15 นาที โดยน้ำเสียโรงอาหารมีค่าบีโอดีอยู่ในช่วง 2,400 – 2,600 มิลลิกรัมต่อลิตร และมีค่าซีโอดีอยู่ในช่วง 6,000 – 6,500 มิลลิกรัมต่อลิตร (ภาพที่ 20)



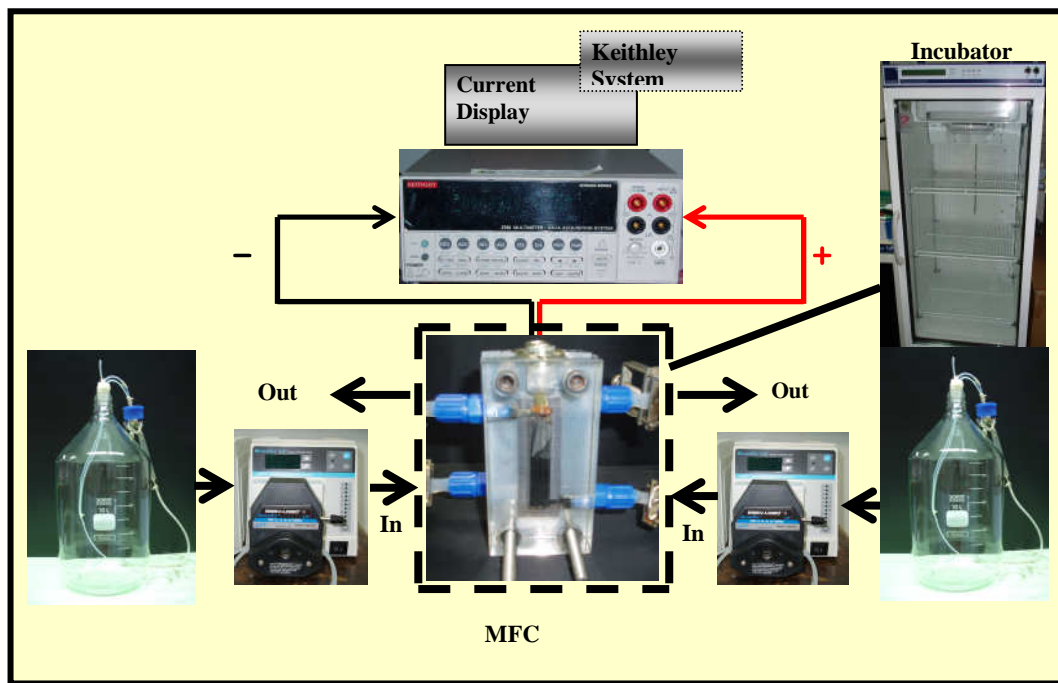
ภาพที่ 20 น้ำเสียโรงอาหาร

3. ชุลินทรีย์

ชุลินทรีย์ที่ใช้ในงานวิจัยนี้ได้มาจากถังบำบัดน้ำเสียแบบ UASB ที่โรงงานเต็นหมีซอเชง จำกัด ตำบลลายชา อำเภอสามพราน จังหวัดนครปฐม (ภาพที่ 21)



ภาพที่ 21 ตะกอนชุลินทรีย์



ภาพที่ 22 การเดินระบบของเซลล์เชื้อเพลิงจุลชีพ

4. สารละลายน้ำตราชูนที่ใช้ในการวิเคราะห์หาค่าซีโอดี (APHA, n.d.)

สารละลายน้ำตราชูนที่ใช้ในการวิเคราะห์หาค่าซีโอดี ประกอบด้วย

4.1 สารละลายน้ำใช้ย่อย (Digestion solution)

ละลายน้ำตราชูนที่ใช้ใน APHA คือ โกรเมตซึ่งอบแห้งที่ 103 องศาเซลเซียส เป็นเวลา 2 ชั่วโมง หนัก 10.216 กรัม ในน้ำกลั่น 500 มิลลิลิตร เทิมกรดกำมะถันเข้มข้น 167 มิลลิลิตร และprotothallufet 33.3 กรัม คนให้ละลายน้ำใช้ย่อยทิ้งไว้ให้เย็น แล้วเข้าจางด้วยน้ำกลั่นจนได้ปริมาตร 1,000 มิลลิลิตร (สารละลายน้ำใช้ย่อยไม่จำเป็นต้องมีความเข้มข้นที่แน่นอน แต่ต้องย่างน้ำและต้องย่างน้ำตราชูนที่ใช้เตรียมกราฟนำตราชูนจะต้องใช้สารละลายน้ำใช้ย่อยควบคู่กันเสมอ)

4.2 กรดซัลฟูริกและซิลเวอร์ซัลเฟต

ซัลฟูริกและซิลเวอร์ซัลเฟต (Ag_2SO_4) 8.8 กรัม ใส่ลงในกรดซัลฟูริกเข้มข้น 1 ลิตร ตั้งทิ้งไว้ 1-2 วัน เพื่อให้ซิลเวอร์ซัลเฟตละลายได้ทั้งหมด ก่อนนำไปใช้ต่อไป

4.3 สารละลายน้ำตรฐานโป๊แตสเซี่ยมไ索โครเจนพราเดต (KHP)

บด KHP เพื่อลดขนาดคลงและนำไปปอกที่อุณหภูมิ 103 องศาเซลเซียส จนแห้งและมีน้ำหนักคงที่ แล้วละลาย KHP ที่บดและอบแห้งแล้ว 850 มิลลิกรัม ในน้ำกลั่น เจือจางให้เป็น 1,000 มิลลิลิตร สารละลายนี้มีซีโอดีเท่ากับ 1,000 มิลลิกรัมต่อลิตร สามารถเก็บรักษาในตู้เย็นได้นานไม่เกิน 3 เดือน

5. สารละลายน้ำตรฐานที่ใช้ในการวิเคราะห์หาค่าบีโอดี (APHA, n.d.)

สารละลายน้ำตรฐานที่ใช้ในการวิเคราะห์หาค่าบีโอดี ประกอบด้วย

5.1 สารละลายน้ำฟอสเฟตบัฟเฟอร์

ชั้ง Monobasic potassium phosphate (KH_2PO_4)	8.5	กรัม
Dibasic potassium phosphate (K_2HPO_4)	21.75	กรัม
Dibasic sodium phosphate ($\text{Na}_2\text{HPO}_4 \cdot 7\text{H}_2\text{O}$)	33.4	กรัม
Ammonium chloride (NH_4Cl)	1.7	กรัม

ละลายน้ำทึบหมดในน้ำกลั่นประมาณ 500 มิลลิลิตร แล้วเติมน้ำกลั่นจนครบ 1 ลิตร

สารละลายนี้ควรมีพีเอช 7.2 โดยไม่ต้องปรับ ถ้าสารเคมีที่ใช้ในการวิเคราะห์ชนิดใดมีร่องรอยการเจริญเติบโตของเชื้อจุลินทรีย์ให้ทำการเตรียมใหม่

5.2 สารละลายน้ำแมกนีเซียมซัลไฟต์

ละลายน้ำ $\text{MgSO}_4 \cdot 7\text{H}_2\text{O}$ 22.5 กรัม ในน้ำกลั่น แล้วเจือจางให้ได้ 1 ลิตร

5.3 สารละลายน้ำแคลเซียมคลอไรด์

ละลายน้ำ CaCl_2 27.5 กรัม ในน้ำกลั่น แล้วเจือจางให้ได้ 1 ลิตร

5.4 สารละลายน้ำฟอริกคลอไรด์

ละลายน้ำ $\text{FeCl}_3 \cdot 6\text{H}_2\text{O}$ 0.25 กรัม ในน้ำกลั่น แล้วเจือจางให้ได้ 1 ลิตร

5.5 สารละลายน้ำตัวอ่อน สำหรับการปรับสภาพ pH ของตัวอย่าง

Acid – เติม H_2SO_4 28 มล. ลงในน้ำกลั่น (คนขยะที่เติมกรดทีละน้อย) แล้วเจือจาง

ให้ได้ 1 ลิตร

Alkali – ละลาย NaOH 40 กรัม ในน้ำกลั่น 1 ลิตร

5.6 ตัวยับยั้งปฏิกิริยาไนโตรฟิเกชัน (Nitrification inhibitor)

2-chloro-6-(trichloro methyl) pyridine

5.7 น้ำเจือจาง

- เตรียมน้ำตัวอย่างปริมาณที่ต้องการใช้ไว้ในขวดสะอาด
- เตรียม สารละลายฟอสเฟตบัฟเฟอร์ แมกนีเซียมชัลไฟต์ แคลเซียมคลอไรด์ และ เฟอริกคลอไรด์ อุ่นละ 1 มล. ต่อน้ำกลั่น 1 ลิตร
 - ก่อนจะนำไปใช้เพื่อเจือจางตัวอย่าง ต้องปรับให้น้ำมีอุณหภูมิ 20 องศาเซลเซียส ก่อน จากนั้นทำให้ออกซิเจนละลายจนอิ่มตัวในน้ำ อาจทำได้โดยเบี่ยงช่องที่มีน้ำอยู่เพียงครึ่งขวด แรงๆ หรือ ใช้เครื่องเติมอากาศที่ผ่านการกรอง หรือ เก็บน้ำไว้ในขวดที่ปิดปากขวดด้วยถ้วยสำลีเป็นเวลานานพอที่น้ำจะอิ่มตัวด้วยออกซิเจน
 - ควรตรวจสอบคุณภาพน้ำเจือจางด้วย โดยการหา DO_0 และ DO_s ของน้ำเจือจาง ค่า DO uptake ในช่วง 5 วันของการบ่มไม่ควรเกิน 0.2 มก./ลิตร

ตารางที่ 4 การเลือกขนาดตัวอย่างและอัตราเจือจางสำหรับช่วง BOD ต่างๆ

ปริมาณตัวอย่าง(มล.)	ช่วง BOD (มก./ล)	อัตราการเจือจาง
0.02	30,000-105,00	15,000
0.05	12,000-42,000	6,000
0.10	6,000-21,000	3,000
0.20	3,000-10,500	1,500
1.0	600-2,100	300
2.0	300-1,050	150
5.0	120-420	60

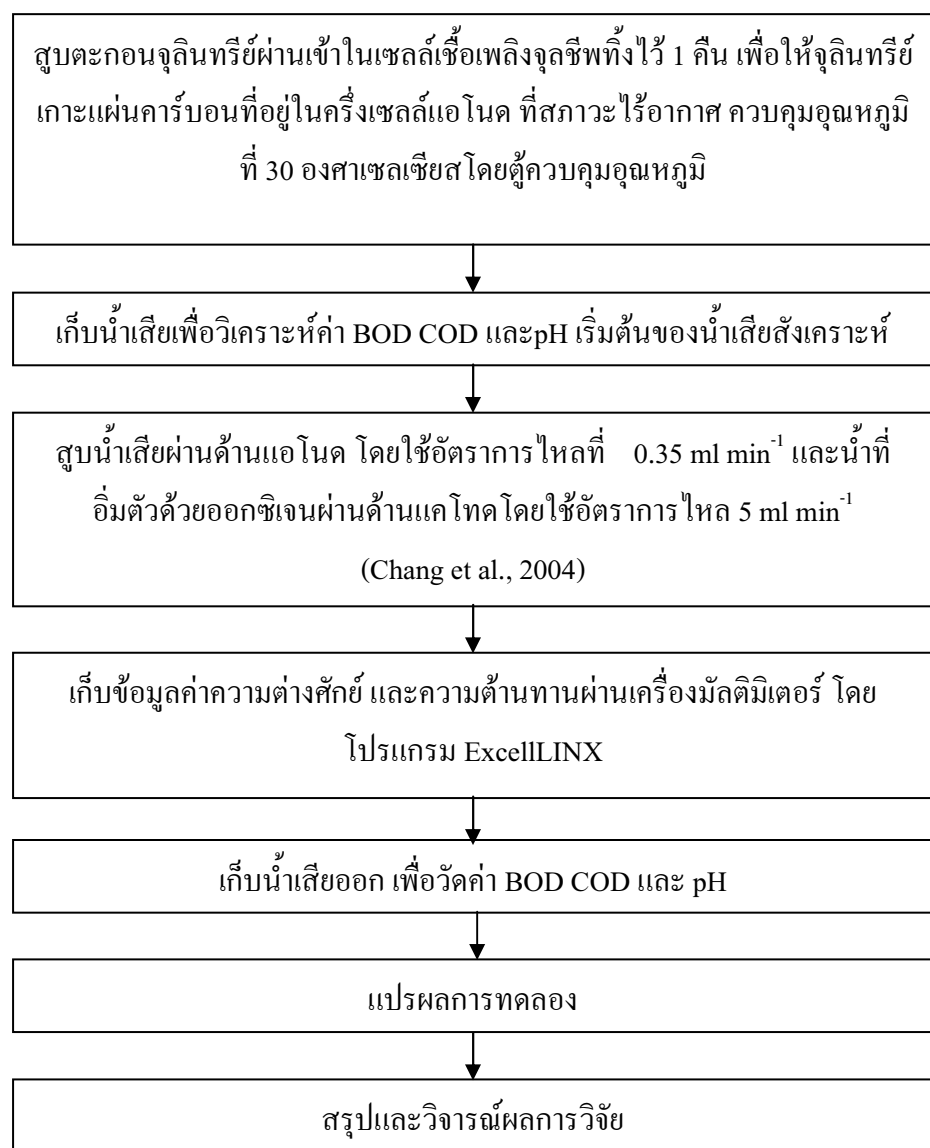
ตารางที่ 4 (ต่อ)

ปริมาณตัวอย่าง(มล.)	ช่วง BOD (มก./ล)	อัตราการเจือจาง
10.0	60-210	30
20.0	30-105	15
50.0	12-42	6
100	6-21	3
300	0-7	1

ที่มา: มั่นสิน, (2543)

วิธีการ

1. แผนผังวิธีการวิจัย



ภาพที่ 23 แผนภูมิการทดลอง

2. สภาวะที่ใช้ในการทดลอง

ในการทดลองผลิตกระแสไฟฟ้าจากน้ำเสียชนิดต่างๆผ่านเซลล์เชื้อเพลิงจุลชีพ ควบคุมระบบให้อยู่ในสภาพไร้อากาศ โดยทำการไอล์แก๊สออกซิเจนที่อยู่ในขวดน้ำเสียโดยใช้แก๊สในโตรเจนเป็นเวลา 15 นาที ควบคุมอุณหภูมิที่ 30 องศาเซลเซียส โดยตู้ควบคุมอุณหภูมิ อัตราการไหลด้านแอโนดเท่ากับ 0.35 มิลลิลิตรต่อนาที มีระยะเวลาเก็บกักน้ำเท่ากับ 15.71 นาที และอัตราการไหลด้านแคโทดเท่ากับ 5 มิลลิลิตรต่อนาที มีระยะเวลาเก็บกักน้ำด้านแคโทดกับ 1.1 นาที

3. วิธีการทดลอง

เริ่มต้นการทดลองโดยสูบจุลินทรีย์เข้าระบบ ทึ้งจุลินทรีย์ไว้ประมาณ 1 คืน เพื่อให้จุลินทรีย์ปรับสภาพ และเกาะตัวกับแผ่นคาร์บอน จากนั้นสูบน้ำเสียที่อัตราการไหล 0.35 มิลลิลิตรต่อนาที ที่ความเข้มข้นบีโอดี 125 มิลลิกรัมต่อลิตรเพื่อให้จุลินทรีย์ปรับตัว โดยศึกษาจากแนวโน้มของกระแสไฟฟ้า เมื่อกระแสไฟฟ้ามีค่าคงที่แสดงว่าจุลินทรีย์ปรับตัวเข้ากับน้ำเสียที่เข้าระบบแล้ว จากนั้นจึงเริ่มเพิ่มความเข้มข้นของน้ำเสียสังเคราะห์เป็น 250, 400, 600, 800 และ 1000 มิลลิกรัมต่อลิตร ตามลำดับ แล้วจึงเปลี่ยนชนิดของน้ำเสียเป็นน้ำากากส่า และน้ำเสียโรงอาหารที่ความเข้มข้นต่างๆตามลำดับ

4. ปัจจัยที่ทำการศึกษา

4.1 กระแสไฟฟ้า

วัดปริมาณกระแสไฟฟ้าโดย ใช้เครื่องวัดกระแสไฟฟ้า ยี่ห้อ Keithley รุ่น 2701 โดยจะบันทึกค่าอัตโนมัติผ่านโปรแกรม ExceLINX ซึ่งค่าที่วัดได้จะอยู่ในรูปของความต่างศักย์ไฟฟ้า และความต้านทานไฟฟ้า จากนั้นแปลผลเป็นค่ากระแสไฟฟ้า

4.2 พีเอช

การวัดค่าพีเอชของน้ำเสียสังเคราะห์โดยใช้เครื่องวัดพีเอช (EUTECN INSTRUMENTS รุ่น Cyberscan pH 11) จุ่มลงในน้ำตัวอย่างที่เก็บมาตามจุดต่างๆที่แสดงไว้ใน

ข้างต้นเพื่อทำการตรวจโดยร่อนกว่าค่าจะคงที่ซึ่งจะมีคำว่า read ปรากฏขึ้นบนหน้าจอ และวิ่งทำการแปลงที่ได้อ่านค่าพีอีซเพื่อทำการบันทึกผล

4.3 ค่าซีโอดี

การวัดค่าซีโอดีในการวิจัยนี้วิเคราะห์ด้วยวิธีรีฟรักส์แบบเทียบสี โดยถ่ายละเอียดการวิเคราะห์แสดงในภาคผนวก

4.4 ค่าบีโอดี

การวัดค่าบีโอดีในการวิจัยนี้วิเคราะห์ด้วยวิธี Dilution method โดยถ่ายละเอียดการวิเคราะห์แสดงในภาคผนวก

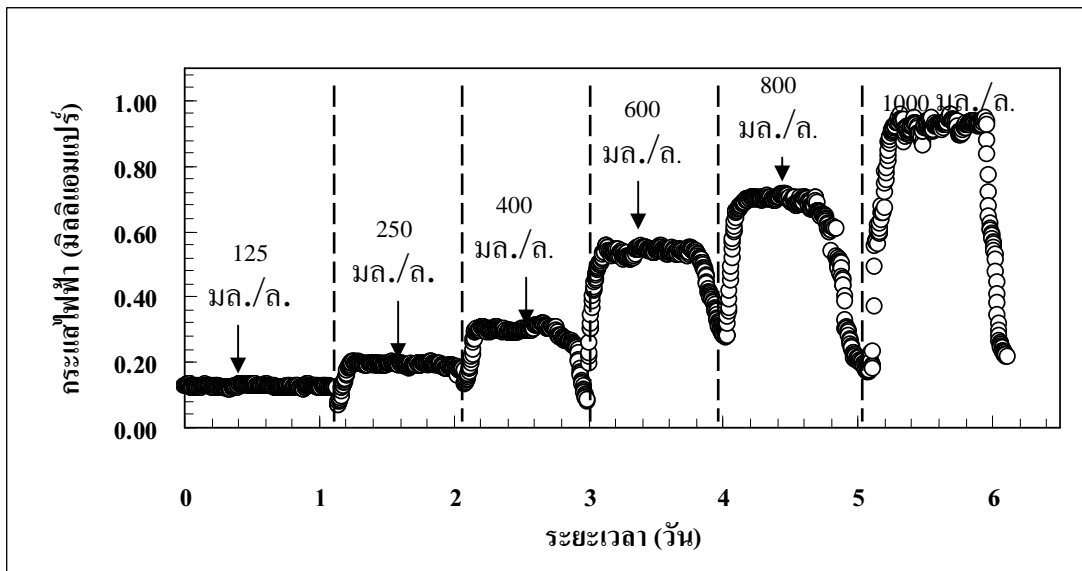
ผลการทดลองและวิจารณ์ผลการทดลอง

การผลิตกระแสไฟฟ้าจากเซลล์เชือเพลิงกุลชีพ โดยใช้น้ำเสียต่างกัน 3 ชนิดเป็นสารตั้งต้น และทำการทดลองที่ระดับความเข้มข้นต่างๆ กัน บันทึกปริมาณกระแสไฟฟ้าที่เกิดขึ้น หน่วยเป็น มิลลิแอมป์ จากการอ่านค่ากระแสไฟฟ้าด้วยเครื่องบันทึกกระแสไฟฟ้าอัตโนมัติ โดยทำการ บันทึกค่ากระแสไฟฟ้าทุก 5 นาที จากนั้นเฉลี่ยผลการวิจัยข้างต้น ทำการบันทึกค่าเฉลี่ยของ กระแสไฟฟ้าที่เกิดขึ้นในแต่ละความเข้มข้นและแต่ละชนิดน้ำเสีย เพื่อศึกษาความสัมพันธ์ของ กระแสไฟฟ้ากับระดับความเข้มข้นและชนิดของน้ำเสีย ผลการทดลองแสดงดังต่อไปนี้

1. การผลิตกระเบ้าไฟฟ้าจากน้ำเสียสังเคราะห์ นำกากส่าและน้ำเสียโรงอาหาร

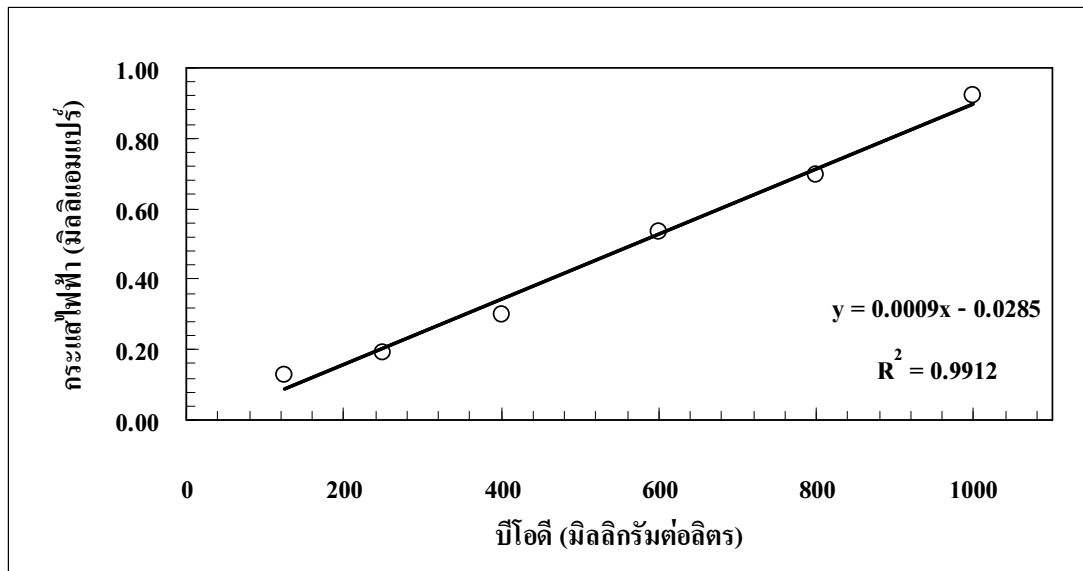
ในการผลิตกระแสไฟฟ้าโดยใช้น้ำเสียสังเคราะห์เป็นสารตั้งต้น พบว่าปริมาณกระแสไฟฟ้าที่ผลิตได้แปรผันตรงกับค่าบีโอดีของน้ำเสีย (ภาพที่ 24) ซึ่งแสดงว่าปริมาณสารอินทรีย์ที่เพิ่มมากขึ้นมีผลต่อการเจริญเติบโตของจุลินทรีย์ จากปฏิกิริยาการย่อยสลายของจุลินทรีย์จะเกิดอิเล็กตรอนและ proton บนที่ขึ้นตัวและ proton นี้จะสัมพันธ์กับปริมาณความเข้มข้นของสารอินทรีย์ที่ถูกใช้ในปฏิกิริยาการย่อยสลาย โดยอิเล็กตรอนจะถูกถ่ายทอดไปสู่ขั้นนำไฟฟ้าในเซลล์เชื้อเพลิงจุลชีพ ซึ่งหมายความว่าปริมาณของอิเล็กตรอนที่เคลื่อนที่ผ่านขั้นนำไฟฟ้าไปรวมตัวกับออกซิเจนในฝั่งแค็ปติคทำให้เกิดกระแสไฟฟ้าขึ้นนั่นเอง และปริมาณความเข้มข้นของอิเล็กตรอนที่สูงขึ้น มีผลให้กระแสไฟฟ้าสูงขึ้นเช่นกัน

ในการเดินระบบของเซลล์เชื้อเพลิงชุลชีพ ในแต่ละช่วงที่เพิ่มความเข้มข้นค่าบีโอดีของนำ เสียพบว่าค่ากระแสไฟฟ้าที่ได้มีแนวโน้มเพิ่มขึ้นเพียงเล็กน้อยในช่วงแรกนั้น อธิบายได้ว่าเป็นช่วงที่ จุลินทรีย์ทำความคุ้นเคยต่อสารอินทรีย์ในน้ำเสีย หรือช่วงปรับตัวเข้ากับสิ่งแวดล้อม (Lag Phase) ถัดมาจะพบว่าปริมาณกระแสไฟฟ้ามีแนวโน้มเพิ่มสูงขึ้นอย่างรวดเร็ว เป็นช่วงที่จุลินทรีย์มีอัตรา เพิ่มขึ้นอย่างรวดเร็ว และมีอัตราเมตабอลิซึมเพิ่มขึ้น เช่นกัน ซึ่งเป็นช่วง Exponential Phase ถัดมา จะพบว่าปริมาณกระแสไฟฟ้าที่เกิดขึ้นมีค่าค่อนข้างคงที่ เนื่องจากช่วงนี้เป็นช่วงที่เชื้อจุลินทรีย์มี อัตราการเจริญเติบโตสมดุลกับอัตราการตาย หรือช่วง Stationary Phase และช่วงสุดท้ายเป็นช่วงที่ สารอินทรีย์ถูกย่อยสลายจนเกือบหมดดังนั้นจึงเกิดสภาพคลาดแคลนอาหาร แต่เนื่องจากในการ ทดลองเป็นการเดินระบบแบบต่อเนื่องจึงไม่เกิดปัญหารื่องการคลาดแคลนอาหาร



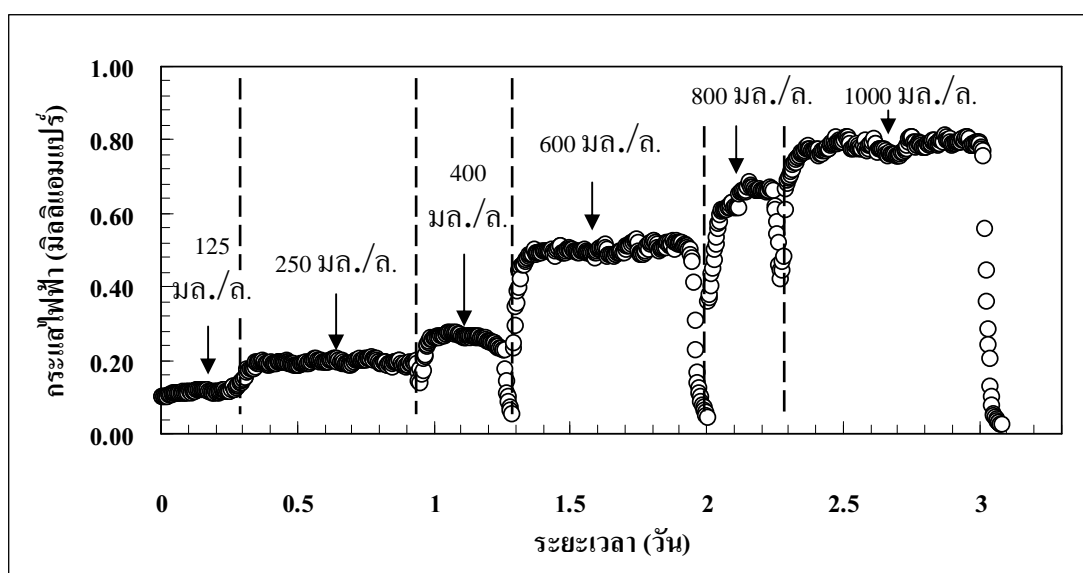
ภาพที่ 24 แนวโน้มกระแตไฟฟ้าที่เกิดขึ้นจากน้ำเสียสังเคราะห์ที่ความเข้มข้นบีโอดี 125, 250, 400 600, 800 และ 1,000 มิลลิกรัมต่อลิตร

เมื่อพิจารณาความสัมพันธ์ระหว่างกระแตไฟฟ้าเฉลี่ยกับความเข้มข้นบีโอดีของน้ำเสียสังเคราะห์ พบร่วงกระแตไฟฟ้าเฉลี่ยเพิ่มขึ้นตามความเข้มข้นของบีโอดีของน้ำเสียสังเคราะห์อย่างเป็นเส้นตรง ดังภาพที่ 25 ซึ่งสอดคล้องกับการศึกษาของ Chang et al. (2004) ที่ทำการทดลองที่สภาพการทดลองที่คล้ายกัน คือท่ออัตราการไหล 0.35 มิลลิลิตรต่อนาที และใช้น้ำเสียสังเคราะห์ที่เป็นสารตั้งต้นที่ค่าบีโอดีของน้ำเสียตั้งแต่ 20 ถึง 200 มิลลิกรัมต่อลิตร ซึ่งพบว่าค่ากระแตไฟฟ้าที่เกิดจากเซลล์เชื้อเพลิงจุดชีพมีแนวโน้มเพิ่มสูงขึ้น และเมื่อพล็อตกราฟระหว่างกระแตไฟฟ้าและความเข้มข้นบีโอดีพบว่ามีความสัมพันธ์เพิ่มขึ้นอย่างเป็นเส้นตรง เนื่องจากปริมาณชีวนิวลดีที่สูงขึ้นในระบบมีผลต่อปริมาณกระแตไฟฟ้าที่เพิ่มขึ้นจากค่าบีโอดีที่สูงขึ้น

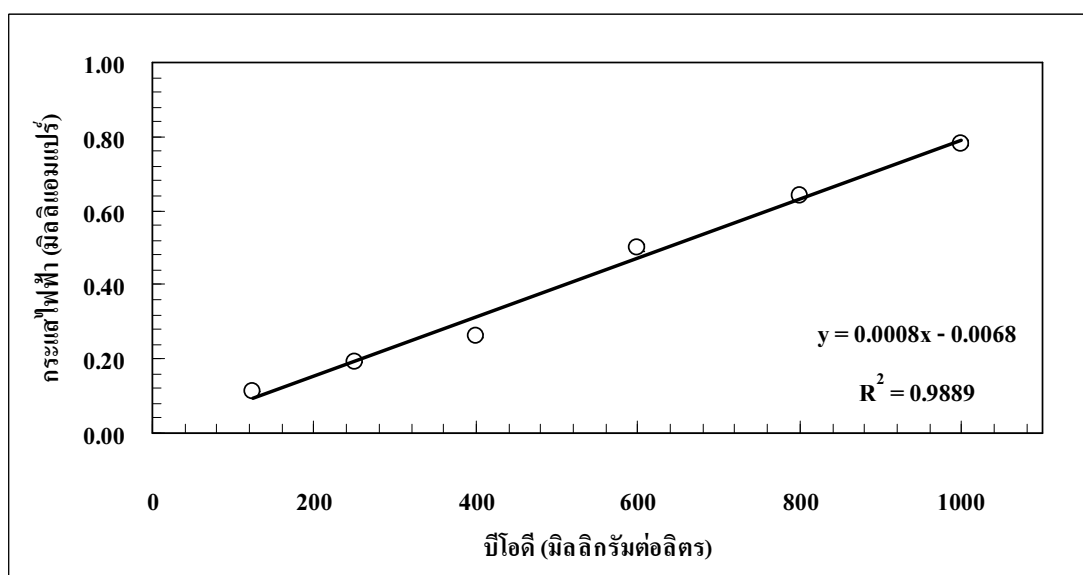


ภาพที่ 25 ค่ากระแสน้ำที่เกิดขึ้นจากนำเสียสังเคราะห์ที่ความเข้มข้นบีโอดี 125, 250, 400, 600, 800 และ 1,000 มิลลิกรัมต่อลิตร ตามลำดับ

จากการวิจัยโดยใช้น้ำகாகலாเป็นสารตั้งต้น พบว่าปริมาณกระแสน้ำที่เกิดขึ้นมีแนวโน้มสูงขึ้นเมื่อเพิ่มความเข้มข้นค่าบีโอดีของน้ำகாகலா ซึ่งค่ากระแสน้ำที่สูงขึ้นจะลดลงในช่วงการเปลี่ยนความเข้มข้นของนำเสียเนื่องมาจากจุลินทรีย์มีการปรับตัวให้เข้ากับความเข้มข้นที่สูงขึ้นของนำเสีย ต่อจากนั้นจึงจะเริ่มเข้าสู่ภาวะคงตัว (Steady state) โดยเมื่อจุลินทรีย์ปรับตัวเข้ากับนำเสียแล้วสามารถสังเกตได้จากค่ากระแสน้ำที่เกิดขึ้นเมื่อตราชกิจที่ (ภาพที่ 26) และเมื่อพิสูจน์ทราบว่าค่าบีโอดีของน้ำகாகலா กับค่ากระแสน้ำที่สูงขึ้น (ภาพที่ 27)

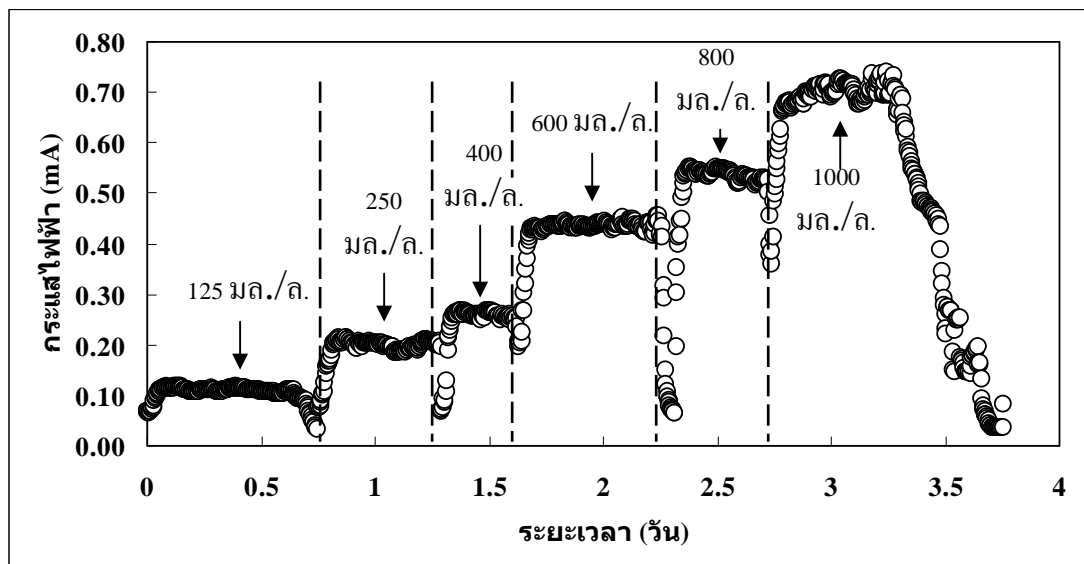


ภาพที่ 26 แนวโน้มกระแสไฟฟ้าที่เกิดขึ้นจากนำกากส่าที่ความเข้มข้นบีโอดี 125, 250, 400, 600, 800 และ 1,000 มิลลิกรัมต่อลิตรตามลำดับ

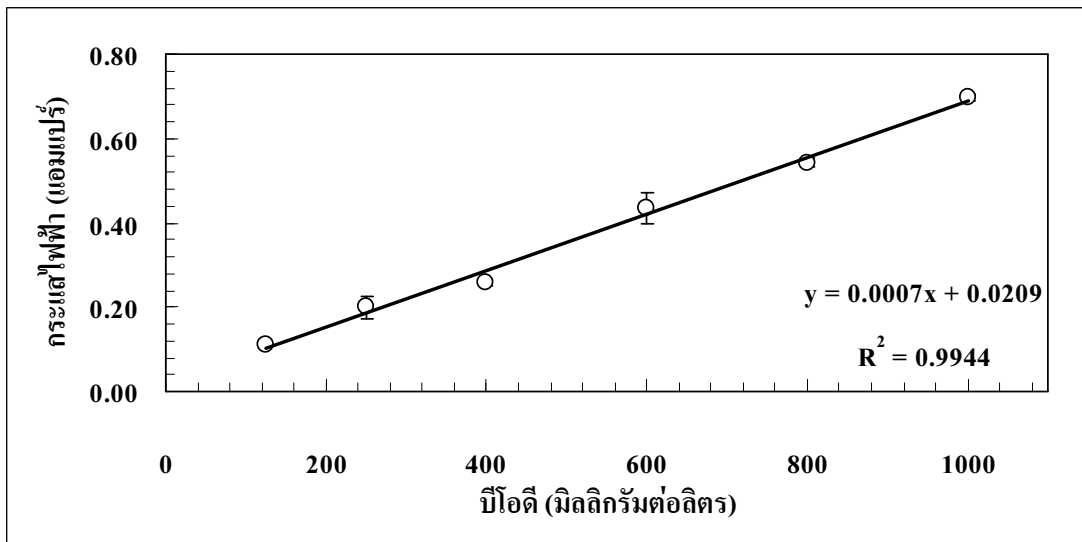


ภาพที่ 27 ค่ากระแสไฟฟ้าเฉลี่ยที่เกิดขึ้นจากนำกากส่าที่ความเข้มข้นบีโอดี 125, 250, 400, 600, 800 และ 1,000 มิลลิกรัมต่อลิตร ตามลำดับ

ในการผลิตกระแทไฟฟ้าโดยใช้น้ำเสียโรงอาหารเป็นสารตั้งต้น พบว่าปริมาณกระแทไฟฟ้าที่ผลิตได้แปรผันตรงกับค่าบีโอดีของน้ำเสีย (ภาพที่ 28) ซึ่งเมื่อศึกษาจากการทดลองของ Gill *et al.* (2003) ที่ทำการทดลองโดยใช้น้ำเสียจากกระบวนการผลิตแป้งที่พีเอช 7 อัตราการไหลที่ 10 มิลลิลิตรต่อนาที และความด้านทานของระบบที่ 1,000 โอม พบว่าที่บีโอดี 400 มิลลิกรัมต่อลิตร ได้ค่ากระแทไฟฟ้าประมาณ 0.21 มิลลิแอมแปร์ โดยเมื่อนำมาเปรียบเทียบกับการผลิตกระแทไฟฟ้าของเซลล์เชื้อเพลิงจุลชีพในการวิจัยโดยใช้น้ำเสียโรงอาหารซึ่งมีความใกล้เคียงกันในด้านส่วนประกอบพบว่าสามารถผลิตกระแทไฟฟ้าได้ 0.26 มิลลิแอมแปร์ ซึ่งสูงกว่ากระแทที่ได้จากน้ำเสียแป้งเล็กน้อย เนื่องมาจากสภาพที่ใช้ในการทดลองมีความแตกต่างกันเล็กน้อยคือ ใช้อัตราการไหล และความด้านทานที่แตกต่าง ซึ่งปัจจัยทั้ง 2 มีผลต่อค่ากระแทไฟฟ้าที่เกิดขึ้น เช่นการที่อัตราการไหลสูงจะส่งผลกระทบเวลาภักเก็บน้ำต่ำทำให้เวลาในการที่จุลินทรีย์ย่อยสลายสารอินทรีย์น้อย เมื่อทำการเปรียบเทียบจุลินทรีย์บริสุทธิ์ (Pure Culture) เช่น *Shewanella putrefaciens* ในสภาพที่พีเอชเท่ากับ 7 ได้ค่ากระแทไฟฟ้าเท่ากับ 0.04 มิลลิแอมแปร์ (Kim *et al.*, 2002) ซึ่งแตกต่างจากค่ากระแทไฟฟ้าที่ได้จากน้ำเสียทั้ง 3 ชนิดที่กล่าวมาข้างต้นพอสมควร ทั้งนี้เพราะในระบบเซลล์เชื้อเพลิงจุลชีพใช้จุลินทรีย์ผสม (Mixed Culture) ซึ่งมีการปรับสภาพในสภาพแวดล้อมที่เปลี่ยนแปลงได้ดีกว่าซึ่งอาจส่งผลถึงปริมาณกระแทไฟฟ้าที่ได้ให้มีความแตกต่างกัน



ภาพที่ 28 แนวโน้มกระแทไฟฟ้าที่เกิดขึ้นจากน้ำเสียโรงอาหารที่ความเข้มข้นบีโอดี 125, 250, 400, 600, 800 และ 1,000 มิลลิกรัมต่อลิตรตามลำดับ

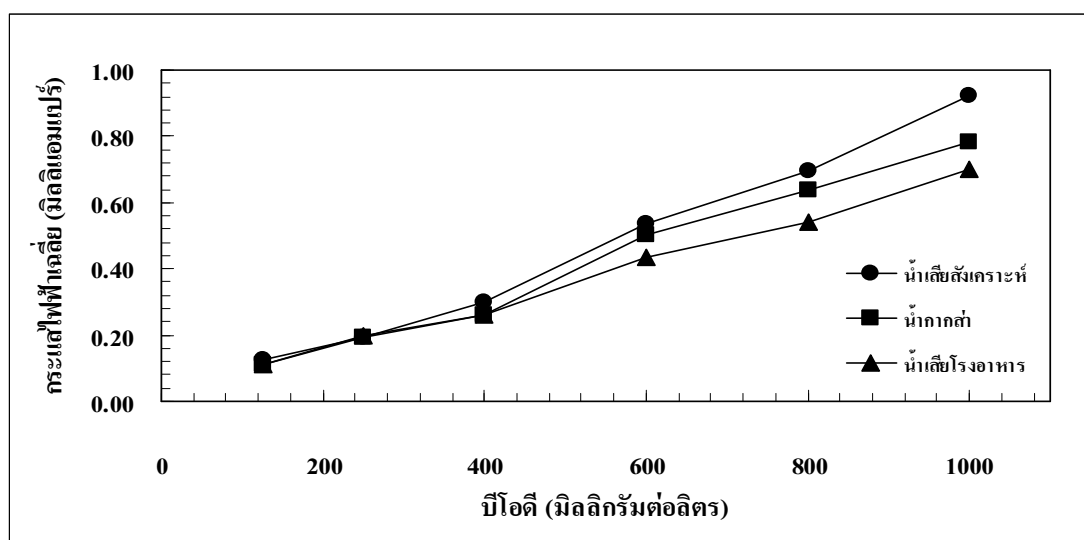


ภาพที่ 29 ค่า比率แบคทีเรียไฟฟ้าเจลีย์ที่เกิดขึ้นจากนำเข้าสียีโโรงอาหารที่ความเข้มข้นนิโอดี 125, 250, 400, 600, 800 และ 1,000 มิลลิกรัมต่อลิตรตามลำดับ

จากการศึกษาการทดลองของ Chang *et al.* (2004) พบว่าค่า比率แบคทีเรียไฟฟ้าจะเริ่มเข้าสภาวะคงตัวใหม่หลังจากเวลาผ่าน 1 ชั่วโมงไปแล้ว ซึ่งจากการทดลองโดยใช้น้ำเสียสังเคราะห์ นำกากถ่าน และนำเข้าสียีโโรงอาหาร สอดคล้องกับการศึกษาข้างต้นกล่าวว่าคือระบบจะปรับตัวเข้าสภาวะคงตัวใหม่ เมื่อมีการเปลี่ยนความเข้มข้นหลังผ่าน 1 ชั่วโมงไปแล้วดังภาพที่ 24, 26 และ 28

จากการที่ 24, 26 และ 28 พบว่าเมื่อสูบน้ำเสียเข้าระบบไปสักระยะหนึ่ง กระแสไฟฟ้าจะมีแนวโน้มลดต่ำลง จากนั้นจึงจะเริ่มเพิ่มสูงขึ้นจนถึงระยะคงตัว เหตุที่เป็น原因是ในกระบวนการทดลอง สายยางที่ใช้ในการสูบน้ำเสียมีขนาด 13 มิลลิเมตร ซึ่งขนาดของสายยางจะมีความจำเพาะเฉพาะเจาะจงกับอัตราการไหลของเครื่องสูบน้ำ คือที่ 0.35 มิลลิลิตรต่อนาที ซึ่งสายยางมีขนาดเล็กมากเมื่อสูบน้ำเสียผ่านไปสักระยะสายยางที่จะเกิดเมือกและอุดตันในสายยาง ทำให้อัตราการไหลที่เข้าสู่ระบบไม่สม่ำเสมอส่งผลให้ปริมาณสารอินทรีย์ที่จุลินทรีย์ใช้เป็นแหล่งอาหารลดลง จึงมีผลทำให้แนวโน้มของกราฟกระแสไฟฟ้าตกลง จำเป็นต้องหยุดระบบเพื่อทำการรีดตะกอนของนำเข้าสียีที่ไปอุดตันในเส้นท่อซึ่งจากเหตุดังกล่าวเนื่องทำให้ปริมาณกระแสไฟฟ้ามีในแต่ละช่วงความเข้มข้นลดต่ำลง ในช่วงท้ายๆ

จากการศึกษาปริมาณกระแทกไฟฟ้าที่เกิดขึ้นเมื่อปล่อยน้ำเสียเข้าสู่เซลล์เชื้อเพลิงจุลชีพพบว่าปริมาณกระแทกไฟฟ้ามีค่าสูงขึ้นตามความเข้มข้นของน้ำเสียชนิดต่างๆ และมีแนวโน้มเพิ่มขึ้นอย่างเป็นเส้นตรง ดังแสดงในภาพที่ 30 โดยน้ำเสียสังเคราะห์สามารถผลิตกระแสไฟฟ้าได้สูงที่สุด คือ 0.92 มิลลิแอมเปอร์ ที่ความเข้มข้นค่าซีโอดีของน้ำเสีย 1,000 มิลลิกรัมต่อลิตร รองลงมาคือน้ำกาล่า และน้ำเสียโรงอาหาร โดยได้ค่ากระแทกไฟฟ้า 0.78 และ 0.69 มิลลิแอมเปอร์ ที่ความเข้มข้นค่าซีโอดีของน้ำเสีย 1,000 มิลลิกรัมต่อลิตรตามลำดับ (ตารางที่ 4) เมื่อใช้น้ำเสียจริงซึ่งได้แก่น้ำกาล่า และน้ำเสียโรงอาหารเป็นสารตั้งต้น พบว่าปริมาณกระแทกไฟฟ้าที่ผลิตได้แปรผันตรงกับค่าบีโอดีของน้ำเสีย เช่นเดียวกับน้ำเสียสังเคราะห์(ภาพที่ 27 และ 29) หากแต่ปริมาณกระแทกไฟฟ้าที่ผลิตได้มีค่าต่ำกว่าที่ผลิตได้จากน้ำเสียสังเคราะห์ (ภาพที่ 30) เนื่องจากแหล่งคาร์บอนในน้ำเสียสังเคราะห์ที่จุลทรรศ์ใช้ในการย่อยสลายคือ กลูโคสและกลูตามิก ซึ่งเป็นสารที่ย่อยสลายง่าย จุลทรรศ์สามารถนำไบไซด์ได้โดยตรง ต่างจากน้ำกาล่าที่ใช้การนำตาลเป็นวัตถุคุณค่าที่มีองค์ประกอบย่อยสลายได้ยากกว่า เช่น ส่วนที่เป็นสีน้ำตาลของน้ำกาล่าซึ่งเป็นสารพากเมลานอยดิน (Melanoidins)(Veronica, 1997) เป็นสารอินทรีย์ที่มีโมเลกุลใหญ่ ประกอบด้วยโพลิเมอร์ของน้ำตาล และกรดอะมิโน ซึ่งยากต่อการย่อยสลายทางชีวภาพ เช่นเดียวกับน้ำเสียโรงอาหารที่สารอินทรีย์ประกอบไปด้วยพอก คาร์โบไฮเดรต โปรตีน และไขมัน โดยพอกเซลลูโลสและไขมันเป็นส่วนที่ย่อยสลายทางชีวภาพได้ยากมาก ทำให้อัตราการย่อยสลายสารอินทรีย์ในน้ำเสียจริงมีค่าต่ำกว่าที่จุลทรรศ์ย่อยสลายสารอินทรีย์ในน้ำเสียสังเคราะห์ อีกทั้งสารบางชนิดในน้ำเสียจริงยังมีความเป็นพิษต่อจุลทรรศ์ทำให้กระแทกไฟฟ้าของน้ำกาล่าและน้ำเสียโรงอาหารที่เกิดขึ้นมีค่าน้อยกว่าค่ากระแทกไฟฟ้าที่ได้จากน้ำเสียสังเคราะห์ (ภาพที่ 30)



ภาพที่ 30 การเปรียบเทียบระหว่างค่ากระแทกไฟฟ้าที่ได้จากน้ำเสียสังเคราะห์ น้ำกากส่า และน้ำเสียโรงอาหาร

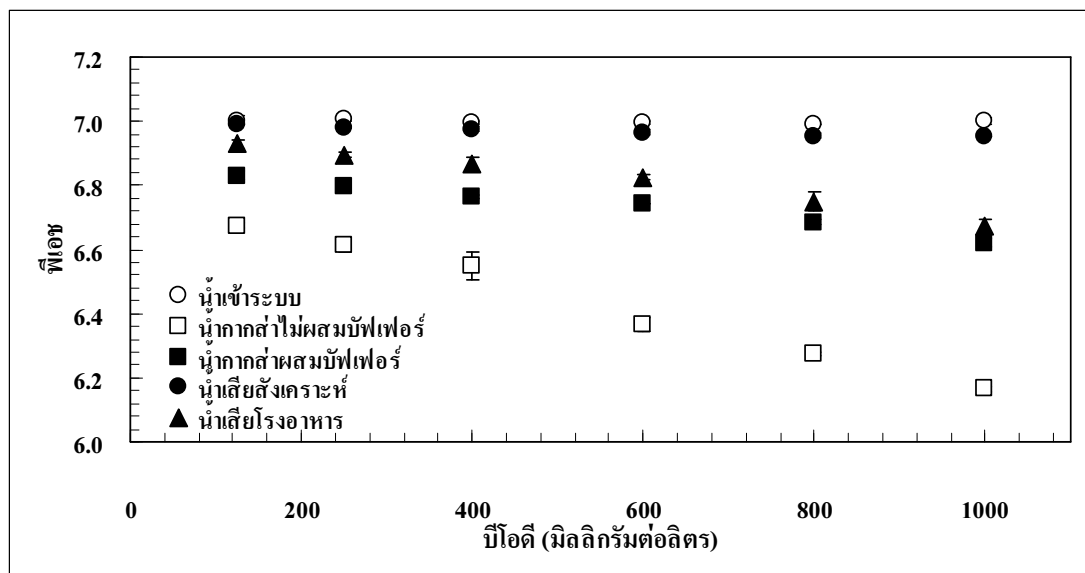
ตารางที่ 5 ค่าเฉลี่ยกระแทกไฟฟ้าที่เกิดขึ้นจากเซลล์เชื้อเพลิงจุลชีพโดยใช้น้ำเสียชนิดต่างๆ

BOD (มิลลิกรัมต่อลิตร)	ปริมาณกระแทกไฟฟ้าเฉลี่ย (มิลลิแอมป์ร์) ¹		
	น้ำเสียสังเคราะห์	น้ำกากส่า	น้ำเสียโรงอาหาร
125	0.13	0.11	0.11
250	0.19	0.19	0.20
400	0.30	0.26	0.26
600	0.54	0.50	0.44
800	0.69	0.64	0.54
1000	0.92	0.78	0.70

หมายเหตุ¹ ปริมาณกระแทกไฟฟ้าที่ได้เกิดจากการเฉลี่ยจากการ測定ของเซลล์เชื้อเพลิงจุลชีพจำนวน 2 เซลล์

2. อิทธิพลของความแปรปรวนของพีอีอชต่อการผลิตกระแทไฟฟ้า

ในการศึกษาระดับไฟฟ้าที่เกิดจากเซลล์เชือเพลิงจุลชีพ โดยใช้น้ำเสียสังเคราะห์ นำ kakak สำหรับน้ำโรงอาหารเป็นสารตั้งต้น ซึ่งในการทดลองมีการปรับพีอีอชให้เป็นกลางและผสมบัฟเฟอร์ควบคุมพีอีอชที่ 7.0 จากการวิจัยพบว่า น้ำเสียสังเคราะห์มีการเปลี่ยนแปลงของพีอีอชของน้ำเสียมากที่สุด คืออยู่ในช่วง 6.99 – 6.95 ในขณะเดียวกันน้ำ kakak สำหรับไม่ผสมบัฟเฟอร์มีการเปลี่ยนแปลงของพีอีอชของน้ำเสียมากที่สุด คืออยู่ในช่วง 6.68 – 6.17 การที่พีอีอชของน้ำเสียที่ออกจากเซลล์เชือเพลิงจุลชีพมีค่าลดต่ำลงเป็นผลมาจากการย่อยสลายสารอินทรีย์ของตัวจุลินทรีย์เอง ซึ่งเป็นการย่อยสลายแบบไม่ใช้ออกซิเจน ผลิตภัณฑ์สุดท้ายที่เกิดขึ้นคือกรดอินทรีย์และ H^+ โดยผลิตภัณฑ์ทั้งคู่นี้ ความเป็นกรดอาจทำให้ค่าพีอีอชภายในระบบลดต่ำลง ถึงแม้ว่าจะมีบัฟเฟอร์ควบคุมอยู่ก็ตาม ซึ่งเมื่อเปรียบเทียบกับน้ำเสียในแต่ละชนิด ค่าพีอีอชของน้ำเสียที่ผสมบัฟเฟอร์จะมีค่าลดลงต่ำกว่า น้ำเสียที่ไม่ผสมบัฟเฟอร์ (ภาพที่ 31)

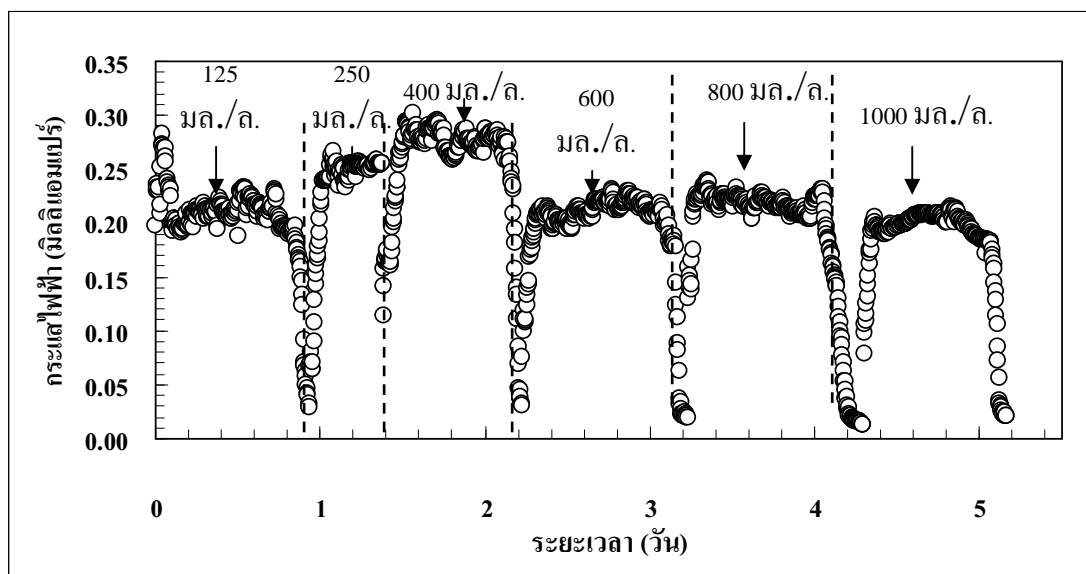


ภาพที่ 31 ค่าพีอีอชที่ความเข้มข้นนีโอดี 125, 250, 400, 600, 800 และ 1000 ตามลำดับ

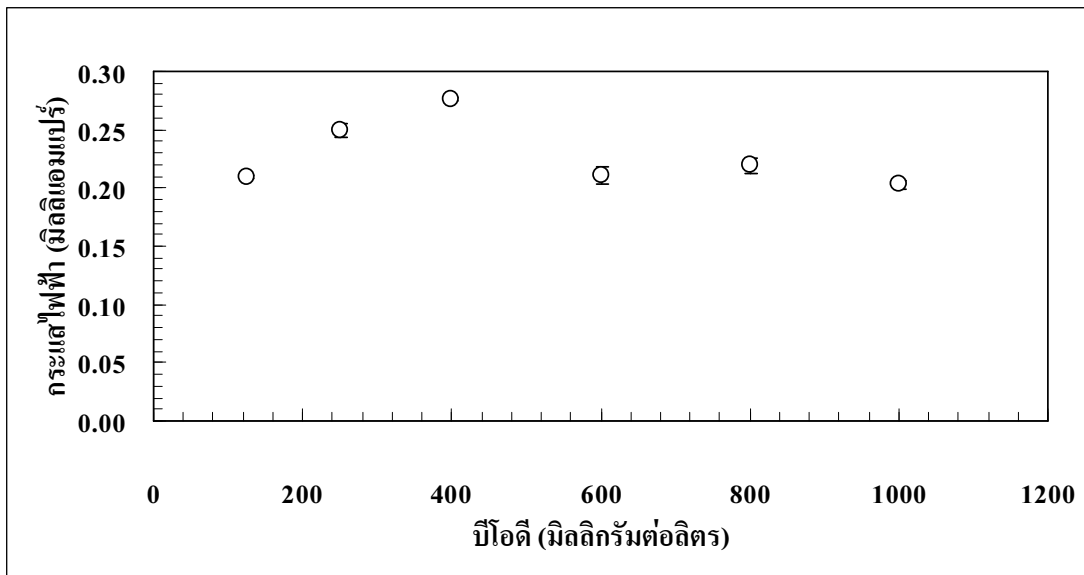
ในสภาวะการย่อยสลายแบบไม่ใช้ออกซิเจนค่าพีอีอชที่ทำให้เกิดประสิทธิภาพในการย่อยสลายได้ดีที่สุดมีค่าประมาณ 6.5 – 7.5 ซึ่งช่วยให้กับเซลล์เชือเพลิงจุลชีพที่ใช้ในการวิจัยซึ่งเป็นระบบแบบไร้อากาศค่าพีอีอชโดยการศึกษาของ Gill et al. (2003) ระบุว่าค่าพีอีอชที่ทำให้การผลิตกระแทไฟฟ้ามีประสิทธิภาพสูงที่สุดคือที่พีอีอชเท่ากับ 7.0 ซึ่งสอดคล้องกับการทดลอง พบว่า น้ำเสีย

สังเคราะห์มีการเปลี่ยนแปลงของค่าพีอ่อนน้อยที่สุด และมีแนวโน้มของกระแสไฟฟ้าสูงที่สุดในทุกความเข้มข้นของบีโอดีของน้ำเสีย

ผลของความแปรปรวนพีอ่อนที่มีต่อการผลิตกระแสไฟฟ้าของเซลล์เชื้อเพลิงจุลชีพโดยจากทดลองน้ำากาส่าที่ไม่มีการผสมบัฟเฟอร์ พบว่าปริมาณกระแสไฟฟ้ามีความแปรปรวนสูง และแนวโน้มไม่เปรียบเท่ากับค่าบีโอดีที่เพิ่มสูงขึ้น (ภาพที่ 32 และภาพที่ 33) ต่างจากน้ำากาส่าที่ผสมบัฟเฟอร์ (ภาพที่ 26) เนื่องจากเมื่อจุลินทรีย์อยู่สภาพอันตรายได้ผลิตภัณฑ์ที่เป็น H^+ ส่งผลให้ค่าพีอ่อนในระบบลดลง และจากการที่ปริมาตรในระบบมีขนาดเล็กคือ 5.5 ลูกบาศก์เซนติเมตร ทำให้ค่าพีอ่อนในระบบเปลี่ยนแปลงเพียงเล็กน้อยจะส่งผลกระทบต่อการทำงานของจุลินทรีย์เป็นสาเหตุให้กระแสไฟฟ้าของน้ำากาส่าที่ปราศจากบัฟเฟอร์มีแนวโน้มไม่เพิ่มตามความเข้มข้นของสารอินทรีย์ที่สูงขึ้น



ภาพที่ 32 แนวโน้มกระแสไฟฟ้าที่เกิดขึ้นจากน้ำากาส่าที่ไม่ได้ผสมบัฟเฟอร์ที่ความเข้มข้นบีโอดี 125, 250, 400, 600, 800 และ 1,000 มิลลิกรัมต่อลิตรตามลำดับ



ภาพที่ 33 ค่ากระแสไฟฟ้าเฉลี่ยที่เกิดขึ้นจากน้ำจากการส่างไนไม่ได้สมบัฟเฟอร์ที่ความเข้มข้นบีโอดี 125, 250, 400, 600, 800 และ 1,000 มิลลิกรัมต่อลิตรตามลำดับ

3. ประสิทธิภาพการกำจัดบีโอดีและซีโอดีของน้ำเสียโดยเซลล์เชื้อเพลิงจุลชีพ

ในการตรวจวัดปริมาณสารประกอบอินทรีย์ในแหล่งน้ำ พารามิเตอร์ที่จำเป็นในการชี้วัดความสกปรกในแหล่งน้ำคือ ค่าบีโอดีและซีโอดี จากตารางที่ 6 แสดงให้เห็นอัตราส่วนของบีโอดี ต่อซีโอดีของน้ำเสียที่เข้าและออกจากระบบ ซึ่งอัตราส่วนระหว่างบีโอดีต่อซีโอดีจะแสดงถึงความสามารถในการย่อยสลายทางชีวภาพของน้ำเสียนั้น โดยถ้าอัตราส่วนมีค่าสูงหมายถึงน้ำเสียชนิดนั้นสามารถย่อยสลายทางชีวภาพได้ดี ซึ่งน้ำเสียสังเคราะห์มีอัตราส่วนบีโอดีต่อซีโอดีสูงที่สุด แสดงว่าน้ำเสียสังเคราะห์สามารถย่อยสลายทางชีวภาพได้ดีที่สุด และพบว่าอัตราส่วนบีโอดีต่อซีโอดีของน้ำเสียเข้าระบบและออกจากระบบนี้แนวโน้มลดลงซึ่งแสดงให้เห็นว่าระบบมีประสิทธิภาพในการกำจัดสารอินทรีย์ในน้ำเสียได้ และส่วนที่เหลืออยู่จากปฏิกิริยาของจุลินทรีย์ก็คือสารอินทรีย์ที่ย่อยสลายยาก และสารอินทรีย์ที่จุลินทรีย์ไม่สามารถย่อยสลายได้ ซึ่งเป็นส่วนที่มีผลต่อการผลิตกระแสไฟฟ้าดังที่ได้กล่าวมาในส่วนข้างต้น

ตารางที่ 6 อัตราส่วนบีโอดีต่อซีโอดีของน้ำเสียเข้าและออกจากระบบเซลล์เชื้อเพลิงจุลชีพที่ช่วงความเข้มข้นบีโอดีต่างๆ

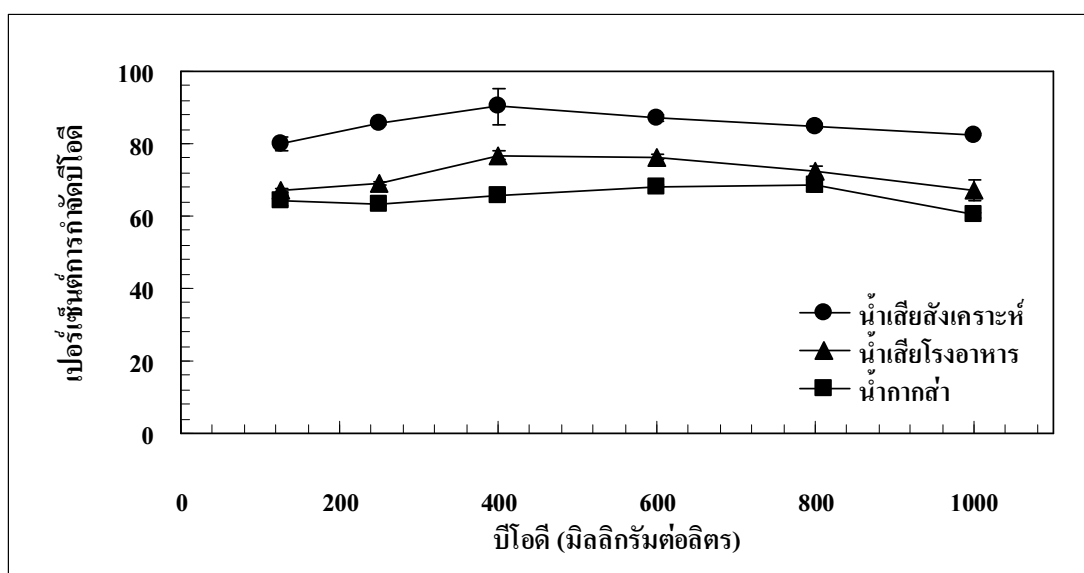
ระบบ (มิลลิกรัม ต่อลิตร)	อัตราส่วนบีโอดีต่อซีโอดี					
	น้ำเสียที่เข้า		น้ำเสียสังเคราะห์		น้ำเสียrongอาหาร	
	เข้าระบบ	ออกระบบ	เข้าระบบ	ออกระบบ	เข้าระบบ	ออกระบบ
100 - 200	0.75	0.63	0.38	0.25	0.35	0.19
200 - 300	0.83	0.67	0.39	0.26	0.34	0.19
350 - 450	0.84	0.51	0.41	0.24	0.35	0.18
550 - 650	0.83	0.58	0.40	0.23	0.39	0.18
750 - 850	0.84	0.68	0.41	0.30	0.34	0.16
950 -1050	0.79	0.65	0.38	0.30	0.33	0.19

จากการวิจัยการผลิตกระแสไฟฟ้าจากเซลล์เชื้อเพลิงจุลชีพโดยใช้น้ำเสียต่างๆเป็นสารตั้งต้นพบว่า การใช้น้ำเสียสังเคราะห์เป็นสารตั้งต้นมีประสิทธิภาพในการกำจัดบีโอดีและซีโอดีสูงที่สุดคือ 80 – 90 เปอร์เซ็นต์ ที่ความเข้มข้นค่าบีโอดีของน้ำเสียเริ่มต้นคือ 125 มิลลิกรัมต่อลิตร จนถึง 1,000 มิลลิกรัมต่อลิตร รองลงมาคือ น้ำเสียrongอาหาร และน้ำากส่าตามลำดับ (ตารางที่ 7) โดยปกติความสัมพันธ์ระหว่างค่าการกำจัดบีโอดีและซีโอดีจะบวกถึงส่วนที่ถูกย่อyle略有改写为： 由图表可知，当进水BOD/COD比值在100-200时，BOD去除率为0.75，COD去除率为0.63；当进水BOD/COD比值在200-300时，BOD去除率为0.83，COD去除率为0.67；当进水BOD/COD比值在350-450时，BOD去除率为0.84，COD去除率为0.51；当进水BOD/COD比值在550-650时，BOD去除率为0.83，COD去除率为0.58；当进水BOD/COD比值在750-850时，BOD去除率为0.84，COD去除率为0.68；当进水BOD/COD比值在950-1050时，BOD去除率为0.79，COD去除率为0.65。去除率随进水BOD/COD比值的增加而降低。

ตารางที่ 7 ค่าเฉลี่ยเบอร์เซ็นต์การกำจัดบีโอดีและซีโอดีของน้ำเสีย

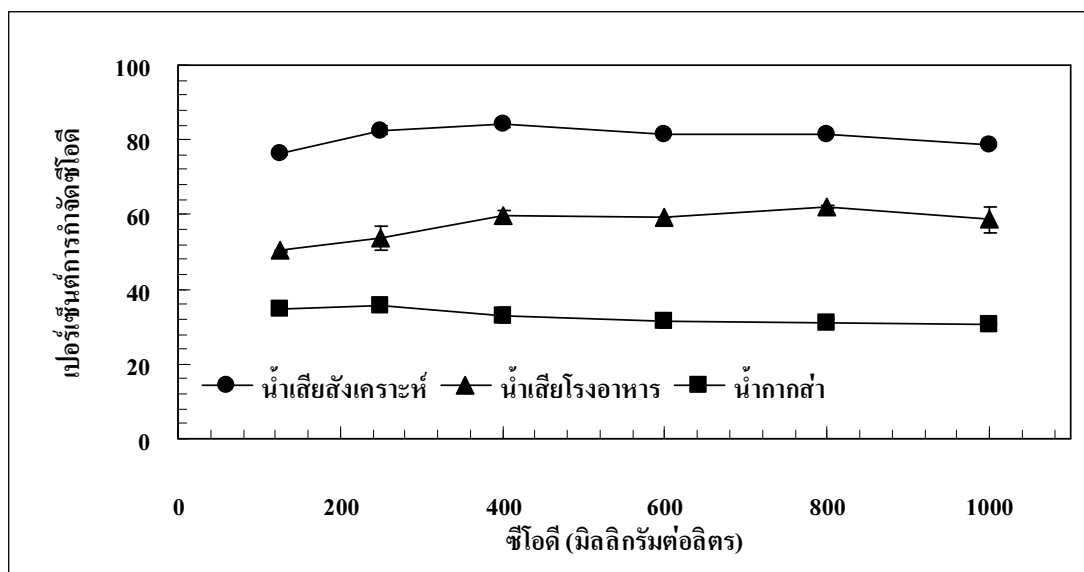
ช่วงบีโอดีน้ำ		เบอร์เซ็นต์การกำจัด					
เลี้ยงที่เข้าระบบ		บีโอดี			ซีโอดี		
(มิลลิกรัมต่อ ลิตร)	น้ำเสีย สังเคราะห์	น้ำเสียrong อาหาร	นำากาส่า	น้ำเสีย สังเคราะห์	น้ำเสียrong อาหาร	นำากาส่า	
100 - 200	80.00	67.14	64.26	76.20	50.36	34.64	
200 - 300	85.88	69.17	63.51	82.61	53.55	35.61	
350 - 450	90.24	76.83	65.58	84.05	59.55	33.02	
550 - 650	87.10	76.41	68.27	81.55	58.90	31.46	
750 - 850	84.97	72.22	68.59	81.54	62.20	30.83	
950 -1050	82.60	67.19	60.31	78.69	58.60	30.72	

จากการวิจัยประสิทธิภาพในการกำจัดบีโอดีของน้ำเสียทั้ง 3 ชนิด พบว่าการใช้น้ำเสียสังเคราะห์เป็นสารตั้งต้น มีประสิทธิภาพในการกำจัดบีโอดีสูงที่สุด เนื่องจากแหล่งการบ่อนของน้ำเสียสังเคราะห์ประกอบด้วย กลุ่มโคสและกลุ่มามิก ซึ่งจุลินทรีย์สามารถย่อยลายได้ง่าย รองลงมาคือ น้ำเสียrongอาหารที่มีส่วนประกอบของสารโนบีไซเดรต ไขมัน และโปรตีนเป็นส่วนประกอบ โดยสารอินทรีย์เหล่านี้เมื่อแตกตัวจะพบว่ามีบางส่วนที่ย่อยลายได้ยากทางชีวภาพ เช่น ไขมัน และเซลลูโลสทำให้ประสิทธิภาพในการบำบัดบีโอดีลดลง และสุดท้ายคือนำากาส่า ที่เป็นส่วนประกอบของกากน้ำตาล เมื่อย่อยลายทางชีวภาพพบว่า โพลิเมอร์ของน้ำตาลและกรดอะมิโน ไม่ถูกย่อยลายทำให้ประสิทธิภาพการกำจัดบีโอดีลดลง (ภาพที่ 34) แต่ทั้งนี้ถ้าคิดในแง่ของระบบบำบัดน้ำเสียพบว่า ระบบมีความสามารถในการบำบัดสารอินทรีย์ที่สามารถย่อยลายได้ทางชีวภาพซึ่งเป็นตัวการของความสกปรกในน้ำเสียได้ประมาณ 60 – 80 เปอร์เซ็นต์



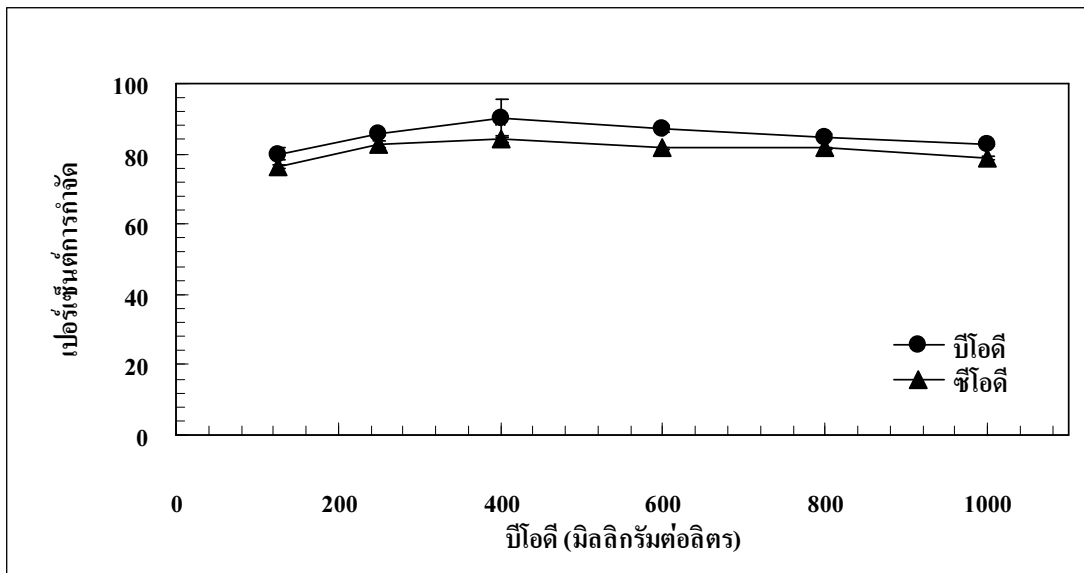
ภาพที่ 34 การเปรียบเทียบปรอร์เซ็นต์การกำจัดบีโอดีของเซลล์เชื้อเพลิงจุลชีพเมื่อใช้น้ำเสียสังเคราะห์ น้ำกากส่า และน้ำเสียโรงอาหารที่ความเข้มข้นบีโอดี 125, 250, 400, 600, 800 และ 1000 มิลลิกรัมต่อลิตรตามลำดับ

ในการศึกษาการกำจัดบีโอดีของเซลล์เชื้อเพลิงจุลชีพในน้ำเสียชนิดต่างๆ โดยการเปรียบเทียบประสิทธิภาพในการกำจัดค่าบีโอดีซึ่งเป็นตัวแทนของสารอินทรีย์ทึ่งที่อยู่ในสลายได้และย่อยสลายไม่ได้ รวมถึงสารอนินทรีย์บางชนิด จากการวิจัยพบว่า น้ำเสียสังเคราะห์มีปรอร์เซ็นต์กำจัดบีโอดีสูงที่สุดคือประมาณ 75 - 85 เปอร์เซ็นต์ รองลงมาคือ น้ำเสียโรงอาหารประมาณ 50 – 60 เปอร์เซ็นต์ และน้ำกากส่าซึ่งมีปรอร์เซ็นต์กำจัดบีโอดีประมาณ 30 – 35 เปอร์เซ็นต์ (ภาพที่ 35)



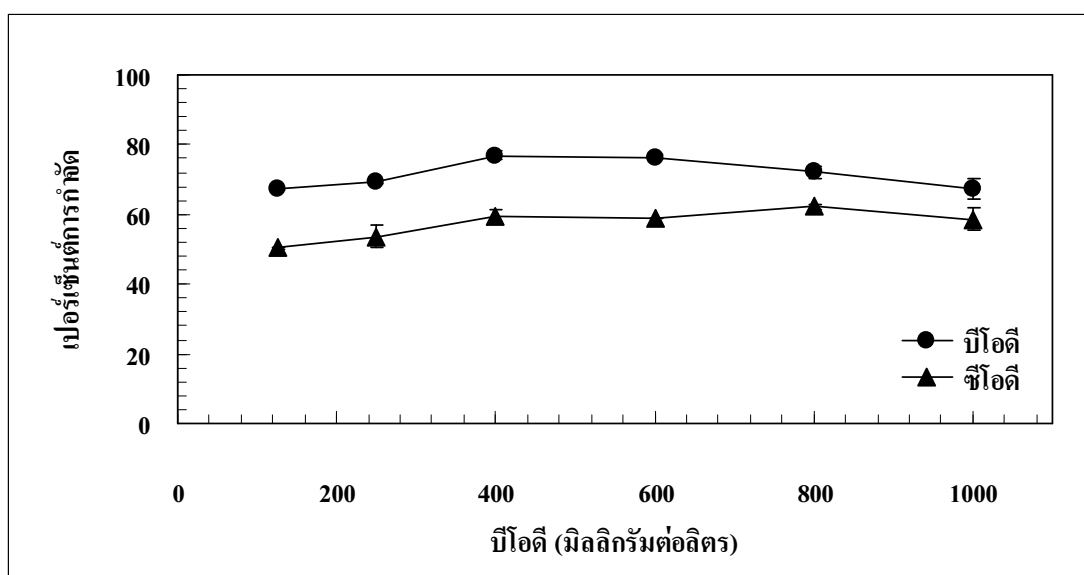
ภาพที่ 35 การเปรียบเทียบเพอร์เซ็นต์การกำจัดซีโอดีของเซลล์เชื้อเพลิงจุลชีพเมื่อใช้น้ำเสียสังเคราะห์, น้ำภาคส่า และน้ำเสียไขมันอาหารที่ความเข้มข้น 125, 250, 400, 600, 800 และ 1000 มิลลิกรัมต่อลิตรตามลำดับ

จากการวิจัยน้ำเสียสังเคราะห์มีอัตราส่วนระหว่างบีโอดีต่อซีโอดีใกล้เคียงกันมากที่สุดคือ ประมาณ 1 : 1.2 แสดงให้เห็นว่าในส่วนประกอบของน้ำเสียสังเคราะห์ประกอบไปด้วยสารอินทรีย์ที่สามารถย่อยสลายทางชีวภาพได้ง่าย ทำให้เพอร์เซ็นต์การกำจัดบีโอดีและซีโอดีมีค่าใกล้เคียงกัน ซึ่งส่วนประกอบของน้ำเสียสังเคราะห์ในส่วนของเหลวคาร์บอนประกอบไปด้วยสารกลูโคส และกลูตามิก ซึ่งเป็นสารที่ย่อยสลายได้ง่ายเป็นส่วนใหญ่ แต่ในน้ำเสียสังเคราะห์ที่เตรียมขึ้นก็ยังมีสารที่ย่อยสลายได้ยากประกอบอยู่ด้วย เช่น บัฟเฟอร์ และเกลือแร่ มีผลทำให้ค่าบีโอดีและซีโอดีมีความแตกต่างกันเล็กน้อย ซึ่งทำให้น้ำเสียสังเคราะห์มีเพอร์เซ็นต์การกำจัดบีโอดีและซีโอดีที่ค่อนข้างสูงกว่าน้ำเสียชนิดอื่นๆ



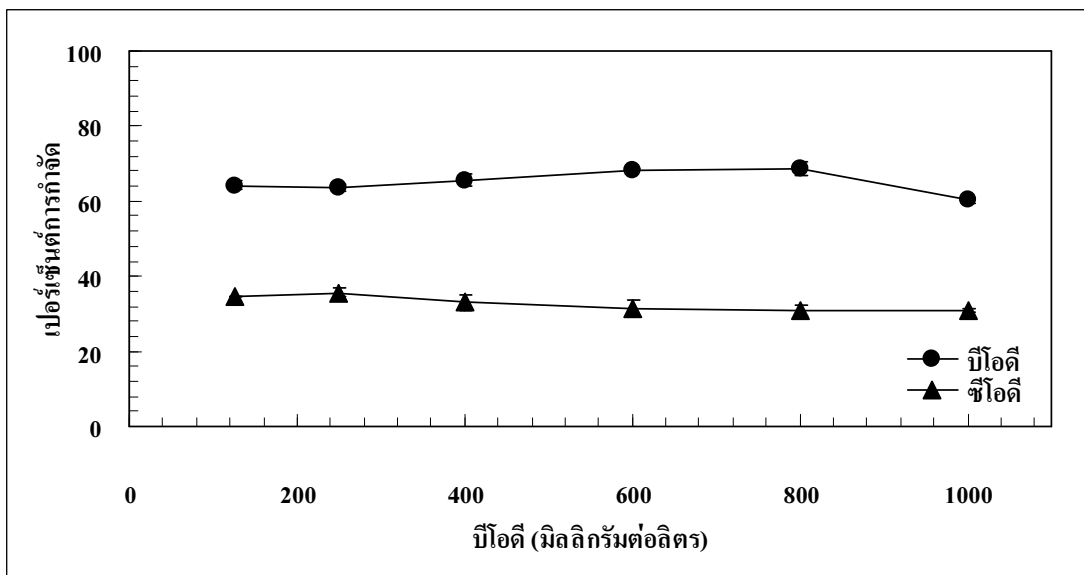
ภาพที่ 36 ความสัมพันธ์ระหว่างปริมาณการกำจัดบีโอดีและซีโอดีของน้ำเสียสังเคราะห์

ทั้งนี้เมื่อพิจารณาระหว่างค่าบีโอดีและซีโอดีของน้ำเสียโรงอาหารพบว่ามีอัตราส่วนบีโอดีต่อซีโอดี โดยประมาณเป็น 1: 2.5 ซึ่งหมายถึงในน้ำเสียโรงอาหารจะมีสารอินทรีย์ส่วนที่ย่อยสลายได้ยาก และสารอนินทรีย์ประกอบอยู่ด้วย ซึ่งในส่วนนี้จะแสดงออกมาให้เห็นในรูปของเปอร์เซ็นต์การกำจัดซีโอดีของระบบ โดยน้ำเสียโรงอาหารจะมีแนวโน้มการกำจัดซีโอดีไปในทิศทางเดียวกับบีโอดีแต่ต่างกันตรงที่เปอร์เซ็นต์การกำจัดซีโอดีของระบบต่ำกว่าการกำจัดบีโอดี(ภาพที่ 37) ทั้งนี้เนื่องจากค่าซีโอดีคือปริมาณออกซิเจนที่สมมูลกับปริมาณสารอินทรีย์ที่มีอยู่ในน้ำเสียที่สามารถถูกออกซิได้ซึ่งสารเคมี โดยจะรวมทั้งสารอินทรีย์ทั้งที่菊ulinทรีย์ย่อยสลายได้และไม่ได้ (สุเทพ, 2549) ซึ่งก็หมายถึงเปอร์เซ็นต์การกำจัดซีโอดีที่เกิดขึ้นอยู่ในส่วนของสารอินทรีย์ที่สามารถถูกย่อยสลายได้ ทำให้เปอร์เซ็นต์การกำจัดค่อนข้างต่ำ เมื่อคิดรวมถึงสารที่มีอยู่ในน้ำเสียทั้งหมด



ภาพที่ 37 ความสัมพันธ์ระหว่างปริมาณการกำจัดบีโอดีและซีโอดีของน้ำเสียโรงอาหาร

ในขณะเดียวกันน้ำจากการส่าชั่งมีอัตราส่วนของบีโอดีต่อซีโอดีประมาณ 1:3 โดยมีแนวโน้มการกำจัดซีโอดีค่อนข้างคงที่ (ภาพที่ 38) ส่วนประกอบในน้ำจากการส่าจะประกอบด้วยสารอินทรีย์ส่วนที่ย่อยลายได้และส่วนที่ย่อยลายไม่ได้ ในส่วนที่ย่อยลายไม่ได้คือสารพากเมลานอยดิน (Melanoidins) ซึ่งเป็นสารที่มีสีน้ำตาล เป็นพากสารอินทรีย์ที่มีโมเลกุลใหญ่ ประกอบด้วยโพลิเมอร์ของน้ำตาลและการ結合มิโน่ สารพากนี้ไม่สามารถถูกย่อยลายทางชีวภาพได้จะออกมานຽูปของซีโอดีที่มีค่าค่อนข้างสูง เมื่อคิดเป็นเปอร์เซ็นต์การกำจัดแล้วทำให้เปอร์เซ็นต์การกำจัดซีโอดีมีค่าค่อนข้างต่ำเมื่อเทียบกับเปอร์เซ็นต์การกำจัดบีโอดี



ภาพที่ 38 ความสัมพันธ์ระหว่างปริมาณการกำจัดบีโอดี และซีโอดีของน้ำากส่า

4. ศักยภาพในการผลิตกระแสไฟฟ้าของเซลล์เชื้อเพลิงจุลชีพ

ในการประเมินศักยภาพในการผลิตกระแสไฟฟ้าของเซลล์เชื้อเพลิงจุลชีพ จะเห็นได้ว่าเมื่อ พลังงานไฟฟ้าที่เกิดขึ้นจากผ่านน้ำเสียชนิดต่างๆ เข้าสู่เซลล์เชื้อเพลิงจุลชีพ ได้ผลิตภัณฑ์เป็น กระแสไฟฟ้า เมื่อนำมาคิดเป็นพลังงานไฟฟ้าปรากฏว่า น้ำเสียสังเคราะห์ให้ค่าพลังงานไฟฟ้าสูง ที่สุดคือ 0.111 กิโลวัตต์.ชั่วโมง เมื่อคิดเทียบต่อปริมาณซีโอดีที่ถูกกำจัดไป 1 กิโลกรัม รองลงมาคือ น้ำากส่าและน้ำเสียโรงอาหาร ได้พลังงานไฟฟ้า 0.084 และ 0.042 กิโลวัตต์.ชั่วโมง ตามลำดับ (ตารางที่ 8) ซึ่งเมื่อเทียบกับพลังงานทดแทนที่สามารถนำมาใช้ประโยชน์ได้จริง นั่นก็คือ แก๊ส ชีวภาพที่เกิดจากการบบนำบัดแบบไม่ใช้ออกซิเจนทั่วไป พบว่า 1 กิโลกรัม ของซีโอดีที่ถูกกำจัด สามารถผลิตแก๊สชีวภาพได้ถึง 0.3 ลูกบาศก์เมตร โดยแก๊สชีวภาพที่สามารถนำมาใช้เป็นพลังงาน ทดแทนคือ แก๊สมีเทน ซึ่งให้ค่าพลังงานความร้อน 39.4 เมกะจูลต่อ 1 ลูกบาศก์เมตร สามารถใช้ ทดแทนน้ำมันเตาได้ 0.67 ลิตร และเทียบเท่าพลังงานไฟฟ้า 9.7 กิโลวัตต์.ชั่วโมง (กรมพัฒนา พลังงานทดแทนและอนุรักษ์พลังงาน, กระทรวงพลังงาน, 2552) ซึ่งเมื่อเปรียบเทียบกันระหว่าง พลังงานทดแทนและอนุรักษ์พลังงาน, กระทรวงพลังงาน, 2552) ซึ่งเมื่อเปรียบเทียบกันระหว่าง พลังงานไฟฟ้าที่ได้จากเซลล์เชื้อเพลิงจุลชีพกับแก๊สชีวภาพ พบว่าปริมาณไฟฟ้าที่ได้จากเซลล์ เชื้อเพลิงจุลชีพมีปริมาณน้อยกว่าแก๊สชีวภาพ โดยเซลล์เชื้อเพลิงจุลชีพมีประสิทธิภาพในการผลิต กระแสไฟฟ้าสูงสุด 3.82 เปอร์เซ็นต์ของกระแสไฟฟ้าที่แก๊สชีวภาพสามารถผลิตได้ ซึ่งแสดงให้เห็น ว่าเซลล์เชื้อเพลิงจุลชีพมีศักยภาพในการผลิตกระแสไฟฟ้าต่ำมาก เนื่องจากในการวิจัยเป็นการ

ทดลองในระดับห้องทดลอง ยังไม่มีการศึกษาภาคสนามจริงต่างจากแก๊สชีวภาพที่มีการศึกษาและพัฒนาจนสามารถนำมาใช้เป็นพลังงานทางเลือก จึงมีแนวคิดในการประยุกต์ใช้เซลล์เชื้อเพลิงจุลชีพเพื่อใช้เป็นตัวตรวจวัดความสกปรกน้ำเสียดังจะกล่าวในส่วนต่อไป (BOD Sensor)

ตารางที่ 8 พลังงานไฟฟ้าที่ได้จากน้ำเสียชนิดต่างๆผ่านเซลล์เชื้อเพลิงจุลชีพ

บีโอดี (มิลลิกรัม ต่อลิตร)	พลังงานไฟฟ้า ¹ (กิโลวัตต์.ชั่วโมง)			ประสิทธิภาพการผลิตพลังงานไฟฟ้า ²		
	นำเสีย	นำกากส่า	นำเสีย生物	นำเสีย	นำกากส่า	นำเสีย生物
	สัมกระยะ	อาหาร	สัมกระยะ	อาหาร	อาหาร	อาหาร
125	0.017	0.012	0.010	0.59	0.43	0.34
250	0.019	0.020	0.016	0.67	0.67	0.54
400	0.029	0.024	0.014	1.00	0.84	0.48
600	0.060	0.058	0.025	2.05	1.98	0.86
800	0.079	0.075	0.029	2.72	2.58	1.01
1000	0.111	0.084	0.042	3.82	2.89	1.43

หมายเหตุ¹ พลังงานไฟฟ้าได้จากการทำงานของเซลล์เชื้อเพลิงจุลชีพในระยะเวลา 1 ชั่วโมง ณ สภาวะคงที่ โดยเทียบกับบีโอดี ซึ่งโดยทั่วไปค่า BOD ที่ต้องการจะได้คือ 2.9 กิโลวัตต์.ชั่วโมง

² คิดประสิทธิภาพจากแก๊สชีวภาพ โดยแก๊สชีวภาพ 1 กิโลกรัม.ซึ่งโดยทั่วไปค่า BOD ที่ต้องการจะได้คือ 2.9 กิโลวัตต์.ชั่วโมง (กรรมพัฒนาพลังงานทดแทนและอนุรักษ์พลังงาน, กระทรวงพลังงาน)

5. การประยุกต์เซลล์เชื้อเพลิงจุลชีพเพื่อเป็นตัวตรวจวัดความสกปรกในน้ำเสีย (BOD Sensor)

ในการตรวจวัดความสกปรกของน้ำเสียพารามิเตอร์หนึ่งที่จำเป็นต้องวิเคราะห์คือค่าบีโอดี โดยการวิเคราะห์บีโอดีตามมาตรฐาน ต้องใช้ระยะเวลาในการบ่มบีโอดีกินระยะเวลาประมาณ 5 วัน ซึ่งเป็นระยะเวลานาน จึงมีแนวคิดที่ลดระยะเวลาในการวิเคราะห์ให้สั้นลง โดยการใช้เซลล์เชื้อเพลิงจุลชีพ (Kim et al., 2003) จากปฏิกรรมยาการย่อยสลายสารอินทรีย์ของเซลล์เชื้อเพลิงจุลชีพจะได้กระแสไฟฟ้าเป็นผลิตภัณฑ์ ซึ่งกระแสไฟฟ้าจะแปรผันตรงกับค่าบีโอดีของน้ำเสีย (ภาพที่ 25) จากการวิจัยพบว่าความสัมพันธ์ระหว่างกระแสไฟฟ้าและค่าเข้มข้นของน้ำเสียทั้ง 3 ชนิด มี

ความสัมพันธ์เป็นไปในแนวเส้นตรง คือ เมื่อเพิ่มความเข้มข้นของค่าบีโอดี ปริมาณกระแสไฟฟ้า จะเพิ่มสูงขึ้นตามลำดับ โดยนำเสียสังเคราะห์ นำออกส่า และนำเสียโรงอาหารมีค่าความนำเชื่อมต่อโดยประมาณ 99.12, 98.84 และ 99.44 เปอร์เซ็นต์ตามลำดับ โดยหลักการในการใช้เซลล์เชื้อเพลิง จุลชีพเป็นตัวตรวจวัดค่าบีโอดีหรือ BOD Sensor นั้นสามารถใช้เซลล์เชื้อเพลิงจุลชีพวัดปริมาณกระแสไฟฟ้าที่เกิดขึ้นจากนำเสียที่ไม่ทราบความเข้มข้นของบีดี จากนั้นนำปริมาณกระแสไฟฟ้ามาแปลงเป็นค่าบีโอดีโดยใช้สมการจากกราฟมาตรฐานก็จะสามารถทราบค่าบีโอดีในระยะเวลาอันสั้น โดยไม่จำเป็นต้องใช้เวลาบ่มถึง 5 วัน เหมือนวิธีมาตรฐาน ทำให้ประหยัดเวลาและค่าใช้จ่าย

สรุปและข้อเสนอแนะ

สรุป

จากผลการวิจัยพบว่าปริมาณกระแทกไฟฟ้าที่เกิดขึ้นจากเซลล์เชื่อเพลิงจุลชีพ โดยใช้น้ำเสียสังเคราะห์เป็นสารตั้งต้นมีค่าสูงที่สุดคือ 0.92 มิลลิแอม培ร์ ที่ความเข้มข้นของบีโอดี 1000 มิลลิกรัมต่อลิตร รองลงมาคือ น้ำจากส่าและน้ำเสีย โรงอาหาร ได้ค่ากระแทกไฟฟ้าเท่ากับ 0.78 และ 0.69 mA ตามลำดับ ซึ่งค่ากระแทกไฟฟ้าที่เกิดขึ้นในน้ำเสียแต่ละชนิดมีความแตกต่างกันเนื่องมาจากส่วนประกอบในน้ำเสียแต่ละชนิด มีสารอินทรีย์ที่ย่อยสลายได้ยากง่ายต่างกัน เช่น น้ำเสียสังเคราะห์มีแหล่งการรับอนคือ กลูโคส และกลูตامิก ซึ่งเป็นสารที่ย่อยสลายทางชีวภาพได้ง่ายเกิดเป็นอิเล็กตรอนเคลื่อนผ่านขั้วแอลูมิโนดเกิดเป็นกระแทกไฟฟ้า ซึ่งค่ากระแทกไฟฟ้าที่เกิดขึ้นมีค่าแปรผันตรงกับความเข้มข้นของบีโอดีในน้ำเสียกล่าวคือ เมื่อเพิ่มความเข้มข้นของบีโอดีในน้ำเสีย ค่ากระแทกไฟฟ้าจะมีปริมาณสูงขึ้นตามลำดับ ซึ่งความสัมพันธ์ระหว่างค่าบีโอดีและกระแทกไฟฟ้ามีความสัมพันธ์เป็นไปในเชิงเส้นตรง

อีกปัจจัยหนึ่งที่มีผลต่อค่ากระแทกไฟฟ้าที่เกิดขึ้นคือ ความแปรปรวนของพื้นผิวนะมีผลต่อปริมาณกระแทกไฟฟ้าที่เกิดขึ้น ซึ่งจากการที่ปราศจากบัฟเฟอร์ซึ่งเป็นตัวควบคุมพื้นผิวในระบบทำให้ระบบมีพื้นที่ลดต่ำลงมากซึ่งส่งผลกระทบต่อกลุ่มทรีย์ ซึ่งในระบบที่ปราศจากบัฟเฟอร์พื้นผิวจะลดต่ำลงถึง 6.17 ทำให้ค่ากระแทกไฟฟ้าที่เกิดขึ้นไม่เป็นไปตามแนวโน้มคือ ค่ากระแทกไฟฟ้าไม่เพิ่มสูงขึ้นตามความเข้มข้นบีโอดีของน้ำเสียดังได้กล่าวมาข้างต้น

ในงานนำบัดน้ำเสียมีพารามิเตอร์ที่จำเป็นในการตรวจสอบคือ ค่าบีโอดีและซีโอดี ซึ่งจาก การวิจัยพบว่า เซลล์เชื่อเพลิงจุลชีพมีประสิทธิภาพในการนำบัดบีโอดีโดยรวมประมาณ 60 เปอร์เซ็นต์ขึ้นไป โดยน้ำเสียสังเคราะห์มีเปอร์เซ็นต์การนำบัดสูงที่สุดเท่ากับ 90 เปอร์เซ็นต์ เนื่องจากองค์ประกอบในน้ำเสียสังเคราะห์เป็นพวกที่ง่ายต่อการย่อยสลายต่างจากน้ำจากส่า และน้ำ โรงอาหารที่มีส่วนประกอบที่ย่อยสลายยากผสมอยู่ในปริมาณที่มากกว่า

จากค่ากระแทกไฟฟ้าที่ได้มีอีกเป็นพลังงานไฟฟ้าพบว่า น้ำเสียสังเคราะห์ให้ค่าพลังงานไฟฟ้าสูงที่สุด แต่เมื่อคิดเป็นประสิทธิภาพโดยเทียบจากพลังงานไฟฟ้าที่แก๊สชีวภาพผลิต ได้จากระบบนำบัดน้ำเสียแบบไม่ใช้ออกซิเจนพบว่า มีประสิทธิภาพพลังงานไฟฟ้าต่ำมากคือ 3.82

เปอร์เซ็นต์ของที่เก็งสีวิภาพผลิตได้ ซึ่งไม่สามารถนำมาใช้เป็นพลังงานทดแทนที่มีประสิทธิภาพได้ จึงมีแนวความคิดในการพัฒนาเซลล์เชือเพลิงจุลชีพเพื่อเป็นตัวชี้วัดความสกปรก เช่น ค่าบีโอดีของแหล่งน้ำต่อไป ซึ่งสามารถจะทำให้ประหยัดเวลาและค่าใช้จ่ายในการวิเคราะห์ได้

ข้อเสนอแนะ

1. ควรมีการศึกษาทดลองเพิ่มความเข้มข้นของน้ำเสีย เพื่อศึกษาค่ากระแสไฟฟ้าที่เกิดขึ้นควบคู่กับความสามารถในการรองรับสารอินทรีย์ของเซลล์เชือเพลิงจุลชีพ
2. ควรมีการศึกษาปัจจัยในด้านการเปลี่ยนแปลงระยะเวลาภัยเงี่ยนน้ำเสียที่มีผลต่อการผลิตกระแสไฟฟ้าของเซลล์เชือเพลิงจุลชีพ
3. ควรมีการศึกษาปัจจัยที่ทำให้ปริมาณกระแสไฟฟ้ามีแนวโน้มลดลงในแต่ละความเข้มข้นทั้งทางกายภาพ และปฏิกรรมทางเคมีที่เกิดขึ้นในระบบเอง รวมถึงควรนำเชือจุลินทรีย์ที่ใช้ในการศึกษามาหาชนิดจุลินทรีย์ที่เหมาะสมต่อการผลิตกระแสไฟฟ้า เพื่อเพิ่มศักยภาพในการผลิต
4. ในการศึกษาเพื่อพัฒนา เซลล์เชือเพลิงจุลชีพเป็นเครื่องมือตรวจวัดความสกปรกในแหล่งน้ำ ควรมีการเพิ่มชนิดของน้ำเสียในการศึกษา และทดลองนำไปใช้ในภาคสนามเพื่อทดสอบความถูกต้อง

เอกสารและสิ่งอ้างอิง

กิตติ ชีรสารเดช. 2538. การศึกษาระดับห้องปฏิบัติการของการบำบัดน้ำเสีย จากโรงงานผลิตน้ำอัดลมโดยกระบวนการยูเออเอสนี. วิทยานิพนธ์ปริญญาโท, มหาวิทยาลัยเชียงใหม่.

กรมพัฒนาพลังงานทดแทนและอนุรักษ์พลังงาน. 2552. พลังงานแก๊สชีวภาพ. พลังงานทดแทน.
แหล่งที่มา: <http://www.dede.go.th>, 10 เมษายน 2552.

บุญนา ธรรมประเสริฐ. 2537. การกำจัดของเสียจากสูกรโดยใช้ระบบหมักแบบ upflow anaerobic sludge blanket. วิทยานิพนธ์ปริญญาโท, มหาวิทยาลัยเกษตรศาสตร์.

มั่นสิน ตันทุกเวศ. 2543. คุณภาพเชื้อราห์คุณภาพน้ำ. ภาควิชาวิศวกรรมสิ่งแวดล้อม, จุฬาลงกรณ์มหาวิทยาลัย, กรุงเทพฯ

สุเทพ สิริวิทยากรณ์. 2549. เทคโนโลยีน้ำเสีย. ภาควิชาวิศวกรรมสิ่งแวดล้อม, คณะวิศวกรรมศาสตร์, มหาวิทยาลัยเกษตรศาสตร์, กรุงเทพฯ

Akiba, T., H.P. Bennetto, J.L. Stirling, and K. Tanaka. 1985. Electricity generation from alkolotrophic organisms. **Biotechnol. Lett.** 9: 611-616.

Allen, R.M. and H.P. Bennetto. 1993. Microbial fuel cell. **Appl. Biochem Biotechnol.** 39 (40): 24-40.

Bettin, C. 2006. **Applicability and Feasibility of Incorporation Microbial Fuel Cell Technology in to Implantable Biomedical Devices.** B.C. Thesis, Ohio State University.

Bond, D.R., D.E. Holmes and D.R. Lovley. 2002. Electrode-reducing microorganisms that harvest energy from marine sediments. **Science.** Jan.2002: 483-485.

Bond, D.R. and D.R. Lovley, 2003. Electricity production by *Geobacter sulfurreducens* attached to electrodes. **Appl. Environ. Microbiol.** 69 (3): 1548-1555.

Chaudhuri, S.K. and D.R. Lovley. 2003. Electricity generation by direct oxidation of glucose in mediator less Microbial Fuel Cells. **Nature Biotechnology**: 1229-1232.

Chang, I. F., J.K. Jang, G.C. Gil, M. Kim, H.J. Kim, B.H. Kim and B.W. Cho. 2004. Continous determination of biochemical oxygen demand using microbial fuel cell type biocensor. **Biosensor and Bioelectronics** 19: 607-613.

Chang S., S. Moon. O. Bretschger, J.K. Jang, H.I. Park, K.H. Nealson and B.H. Kim. 2006. Electrochemically active bacteria (EAB) and mediator-less microbial fuel cells. **J. Microbiol. Biotechnol.** 16 (2): 163-177.

Cooney, M.J., E. Roschi, I.W. Marison, C. Comnelliis and U.V. Stockar. 1996. Physiologic studies with the sulfate-reducing bacterium *Desulfovibrio desulfuricans*: evaluation for use in a biofuel cell. **Enzyme Microbiol. Technol.** 18: 358–365.

Cuong, P. A., S.J. Jung, N.Y. Phung, J. Lee, I.S. Chang, B.H. Kim, H. Yi and J. Chun. 2003. A novel electrochemically active and Fe(III)-reducing bacterium phylogenetically related to *Aeromonas hydrophilla*, isolated from a microbial fuel cell. **FEMS Microbiol. Lett.** 233: 129-134.

Dichristina, T. J. and E.F. DeLong. 1994. Isolation of anaerobic respiratory mutants of *Shewanella putrefaciens* and genetic analysis of mutants deficient in anaerobic growth on Fe^{3+} . **J. Bacteriol.** 176: 1468–1474.

Gil, G. C., I.S. Chang, B.H. Kim, M. Kim, J.K. Jang, H.S. Park and H.J. Kim. 2003. Operational parameters affecting the performance of a mediator-less microbial fuel cell. **Biosensor and Bioelectronics**. 18 (4): 327-334

Gottschalk, G., 1979. In **Bacterial Metabolism**, 2nd edn. Springer Verlag., New York.

Habermann, W. and E.H. Pommer, 1991. Biological fuel cells with sulphide storage capacity.

Appl. Microbiol. Biotechnol. 35: 128–133

Henslee, B.E., P.D. Gehres, C.C. Bettin, A.V. Weber, C. Sanford, M. Nazareth, J. Henry, K.

Kennedy and C. Eichel. 2005. Design and implementation of electrode material in a microbial fuel cell using dairy waste. **Final Report for ASAE's G.B. Gunlogson Student Environmental Design Competition**. Ohio State University, Columbus, Ohio.

Heyndrickx, M., P. Devos. and J.U. De Ley. 1990. Hydrogen production from chemostat fermentation of glucose by *Clostridium butyricum* and *Clostridium pasteurianum* in ammonium and phosphate limitation. **Biotechnol. Lett.** 12: 731–736.

Holmes, D.E., D.R. Bond, and D.R. Lovley. 2004. Electron transfer by *Desulfobulbus propionicus* to Fe(III) and graphite electrodes. **Appl. Environ. Microbiol.** 70: 1234–1237.

Karube, I., T. Matsunaga, T. Tsuru and S. Suzuki. 1977. Biochemical fuel cell utilizing immobilized cells of *Clostridium butyricum*. **Biotechnol. Bioeng.** 19: 1727–1733.

_____, S. Suzuki, T. Matsunaga and S. Kuriyama. 1981. Biochemical energy conversion by immobilized whole cells. **Ann. N.Y. Acad. Sci.** 369: 91–98.

Kim, B.H., I.S. Chang, G.C. Gil, H.S. Park and H.J. Kim. 2003. Novel BOD (biological oxygen demand) sensor using mediator-less microbial fuel cell. **Biotechnol. Lett.** 25: 541–545.

_____, H.S. Park, H.J. Kim, G.T. Kim, I.S. Chang, J. Lee and N.T. Phung. 2004. Enrichment of microbial community generating electricity using a fuel-cell-type electrochemical cell. **Appl. Microbiol. Biotechnol.** 63(6): 672–681.

- Kim, B.H., H.S. Park, M.S. Hyun and D.H. Park. 1999. Direct electrode reaction of Fe(III) reducing bacterium, *Shewanella putrefaciens*. **J. Microbiol. Biotechnol.** 9: 127-131.
- Kim, H. J., H.S. Park, M.S. Hyun, I.S. Chang, M.A. Kim and B.H. Kim. 2002. A mediator-less microbial fuel cell using a metal reducing bacterium, *Shewanella putrefaciens*. **Enzyme Microbiol. Technol.** 30: 145-152.
- _____, M.S. Hyun, I.S. Chang and B.H. Kim. 1999. A microbial fuel cell type lactate biosensor using a metal reducing bacterium, *Shewanella putrefaciens*. **J. Microbiol. Technol.** 9: 265-267.
- Kim, G.T., M.S. Hyun, I.S. Chang, H.J. Kim, H. S. Park, B.H. Kim, S.D. Kim, J.W.T. Wimpenny and A.J. Weightman. 2005. Dissimilatory Fe(III) reduction by electrochemically active lactic acid bacterium phylogenetically related to *Enterococcus gallinarum* isolated from submerged soil. **J. Appl. Microbiol.** 99: 978-987.
- Lee, J., N.T. Phung, I.S. Chang, B.H. Kim and H.C. Sung. 2003. Use of acetate for enrichment of electrochemically active microorganisms and their 16S rDNA analyses. **FEMS Microbiol. Lett.** 223(2): 185-191.
- Clesceri, L.S., A.E. Greenberg and A.D. Eaton. n.d. **Standard Methods for The Examination of Water and Wastewater**. 20th ed. n.p.
- Liu, H. and B.E. Logan. 2004. Electricity Generation Using an Air-Cathode Single Chamber Microbial Fuel Cell in the Presence of a Proton Exchange Membrane. **Environmental Science and Technolog.** 14: 4040-4046.
- Logan, B., S. Oh and B. Min. 2004. Cathode Performance as a Factor in Electricity Generation in Microbial Fuel Cells. **Environmental Science and Technology.** 38(18): 4900-4904.

- Lovley, D. R., S.J. Giovannoni, D.C. White, J.E. Champine, E.J.P. Phillips, Y.A. Gorby and S. Goodwin. 1993. *Geobacter metallireducens* gen nov sp. nov, a microorganism capable of coupling the complete oxidation of organic compounds to the reduction of iron and other metals. **Arch. Microbiol.** 159: 336–344.
- Myers, C. R. and J.M. Myers. 1992. Localization cytochromes to the outer membrane of anaerobic ally grown *Shewanella putrefaciens* MR-11992. **J. Bacteriol.** 174: 3429–3438.
- Park, H. S., B.S. Kim, H.S. Kim, H.J. Kim, G.T. Kim, M. Kim, I.S. Chang, Y.K. Park and H.I. Chang. 2001. A novel electrochemically active and Fe(III)-reducing bacterium phylogenetically related to *Clostridium butyricum* isolated from microbial fuel cell. **Anaerobic** 7: 297-306.
- Rabaey, K., G. Lissens and W. Verstraete. n.d. Performances and perspectives. **Microbial fuel cell.** n.p.
- _____, W. Ossieur, M. Verhaege and W. Verstraete. 2005. Continuous Microbial Fuel Cell Convert Carbohydrates to Electricity. **Water science and technology.** 52(1-2): 515-523
- Scholz, F. and Schroder, U. 2003. Bacterial batteries. **Nature Biotechnology.** 21 (10).
- Schroder, U., J. Nieber and F. Scholz. 2003. A generation of microbial fuel cells with current output boosted by more than one order of magnitude. **Angew. Chem.** 115: 2986–2989.
- Shukla, A.K., P. Suresh, S. Berchmans and A. Rajendran. 2004. Biological fuel cells and their applications. **Current Science,** 87(4)
- Suzuki, S. and I. Karube. 1983. Energy production with immobilized cells. **Appl. Biochem. Bioeng.** 4: 281–310

Suzuki, S., I. Karube, H. Matsuoka, S. Ueyama, H. Kawakubo, S. Isoda and T. Murahashi.

1983 Biochemical energy conversion by immobilized whole cells. **Ann. N.Y. Acad. Sci.** 413: 133–143.

_____, _____, T. Matsunaga, S. Kuriyama, N. Suzuki, T. Shirogomi and T. Takamura. 1980.

Biochemical energy conversion using immobilized whole cells of *Clostridium butyricum*.

Biochimie, 62: 353–358.

Tartakovsky, B., and S.R. Guiot. 2006. A Comparison of Air and Hydrogen Peroxide

Oxygenated Microbial Fuel Cell Reactor. **Biotechnology Progress**. 22:241-246

Tender, L. M., C.E. Reimers, H.A. Stecher, D.E. Holmes, D.R. Bond, D.A. Lowy, K. Pilobello, S.

J. Fertig and D.R. Lovley. 2002. Harnessing microbially generated power on the seafloor.

Nat. Biotechnol. 20(8): 821-825.

Veronica P. M. 1997. Flocculation of Melanoidins Induced by Inorganic Ions. **Journal of**

Fermentation and Bioengineering. 83(3): 287-291.

ภาคผนวก

ภาคผนวก ก

นำเสียสังเคราะห์ที่ใช้ในการทดลอง

น้ำเสียสังเคราะห์

น้ำเสียที่ใช้ในการทำวิจัยนี้เป็นน้ำเสียสังเคราะห์ที่เตรียมจากสารละลายเข้มข้น 3 ชนิด (stock solution) โดย

เตรียมสารละลายเข้มข้นชนิดที่ 1 ต่อปริมาตรน้ำ 1 ลิตร ประกอบด้วย

KH_2PO_4	0.06375	กรัม
$(\text{NH}_4)_2\text{SO}_4$	0.1405	กรัม
CaCl_2	3.75	กรัม
$\text{MgSO}_4 \cdot 7\text{H}_2\text{O}$	0.05	กรัม
$\text{FeCl}_3 \cdot 6\text{H}_2\text{O}$	0.25	กรัม
$\text{MnSO}_4 \cdot 4\text{H}_2\text{O}$	5.0	กรัม
NaHCO_3	0.105	กรัม

เตรียมสารละลายเข้มข้นชนิดที่ 2 ต่อปริมาตรน้ำ 1 ลิตร ประกอบด้วย

NTA	1.5	กรัม
$\text{FeSO}_4 \cdot 7\text{H}_2\text{O}$	0.1	กรัม
$\text{MnCl}_2 \cdot 4\text{H}_2\text{O}$	0.1	กรัม
$\text{CoCl}_2 \cdot 6\text{H}_2\text{O}$	0.17	กรัม
$\text{CaCl}_2 \cdot 2\text{H}_2\text{O}$	0.1	กรัม
ZnCl_2	0.1	กรัม
$\text{CuCl}_2 \cdot 2\text{H}_2\text{O}$	0.02	กรัม
H_3BO_3	0.01	กรัม
Na_2MoO_4	0.01	กรัม
Na_2SeO_3	0.017	กรัม
$\text{NiSO}_4 \cdot 6\text{H}_2\text{O}$	0.026	กรัม
NaCl	1.0	กรัม

เตรียมสารละลายเข้มข้นชนิดที่ 3 ต่อปริมาตรน้ำ 1 ลิตร ประกอบด้วย

KH_2PO_4	134.74	กรัม
K_2HPO_4	1.73	กรัม

ภาคผนวก ๖
การวิเคราะห์ซีโอดี

วิธีวิเคราะห์ค่าซีโอดี

วิธีวิเคราะห์แบบเทียนดี

1. เครื่องมือและอุปกรณ์

- 1.1 ขวดรูปชنمพู่ ขนาด 50 มิลลิลิตร
- 1.2 เตาอบ (oven) สามารถควบคุมอุณหภูมิให้อยู่ประมาณ 150 ± 2 องศาเซลเซียส
- 1.3 เครื่องสะปำกโต ไฟฟ้ามิตเตอร์

2. สารเคมี

2.1 สารละลายใช้ย่อย (Digestion solution)

สารละลายไปตัตสเซี่ยมไดโกรเมตซึ่งองแห้งที่ 103 องศาเซลเซียส เป็นเวลา 2 ชั่วโมงหนัก 10.216 กรัม ในน้ำกลั่น 500 มิลลิลิตร เติมกรดกำมะถันเข้มข้น 167 มิลลิลิตร และprotothallite 33.3 กรัม คนให้ละลายปล่อยทิ้งไว้ให้เย็น แล้วเจือจางด้วยน้ำกลั่นจนได้ปริมาตร 1,000 มิลลิลิตร (สารละลาย ใช้ย่อยไม่จำเป็นต้องมีความเข้มข้นที่แน่นอน แต่ต้องอย่างน้ำและตัวอย่างมาตรฐานที่ใช้ เทรียมกราฟ มาตรฐานจะต้องใช้สารละลายใช้ย่อยขนาดเดียวกันเสมอ)

2.2 กรดซัลฟูริกและซิลเวอร์ซัลเฟต

ซัลฟูริกและซิลเวอร์ซัลเฟต (Ag_2SO_4) 8.8 กรัม ใส่ลงในกรดซัลฟูริกเข้มข้น 1 ลิตร ตั้งทิ้งไว้ 1-2 วัน เพื่อให้ซิลเวอร์ซัลเฟตละลายได้ทั้งหมด ก่อนนำไปใช้ต่อไป

2.3 สารละลายมาตรฐานไปแพตเติลเซี่ยมไฮโดรเจนพาทาเลต (KHP)

บด KHP เพื่อลดขนาดลงและนำไปอบที่อุณหภูมิ 103 องศาเซลเซียส จนแห้งและมีน้ำหนักคงที่ แล้วละลาย KHP ที่บดและอบแห้งแล้ว 850 มิลลิกรัม ในน้ำกลั่น เจือจางให้เป็น 1,000 มิลลิลิตร สารละลายนี้มีซีโอดีเท่ากับ 1000 มก./ล. สามารถเก็บรักษาในตู้เย็นได้นานไม่เกิน 3 เดือน

3. วิธีวิเคราะห์

ถ่างขวดรูปชามพู่ด้วยสารละลายกรดกำมะถัน 20% เสมอทุกครั้งก่อนใช้งาน

3.1 การเลือกปริมาตรตัวอย่างน้ำ ในการทดลองนี้รู้ค่าซีโซดีที่แน่นอนจึงเลือกใช้ปริมาตรน้ำตัวอย่าง 5 มิลลิลิตร และเจือจาง 10 เท่า

3.2 การย่อตัวอย่าง

3.2.1 ใส่น้ำตัวอย่างลงในขวดรูปชามพู่ปริมาตร 5 มิลลิลิตร (เจือจาง 10 เท่า) เติมสารละลายใช้ย่อตัวอย่างหรือ โปรแทสเซียมไนโตรเมต ปริมาตร 3 มิลลิลิตร ตามด้วยกรดกำมะถันอย่างช้าๆ ปริมาตร 7 มิลลิลิตร ปิดฝาด้วยกระดาษฟอยด์เบย์ผสานกันให้ดี สำหรับแบล็คใช้น้ำกลันแล้วทำเหมือน ตัวอย่างทุกอย่าง

3.2.2 นำไปอบในตู้อบธรรมชาตั้งอุณหภูมิไว้ที่ 150 ± 2 องศาเซลเซียส เป็นเวลา 2 ชั่วโมง เสร็จแล้วทิ้งไว้ให้เย็น

3.3 การวัดสี

ค่อยๆเทตัวอย่างน้ำ (อย่าให้ตะกอนฟุ้ง) ลงในหลอดวัดของเครื่องสเปกโตโฟโตมิเตอร์ (ยี่ห้อ Pharmacia LKB. รุ่น Novaspec II) และวัดค่า Absorbance ที่ความยาวคลื่น 600 นาโนเมตร นำเอา Absorbance ที่ได้ไปอ่านค่าปริมาณซีโซดี (มิลลิกรัม) จากกราฟมาตรฐานและคำนวณค่าความเข้มข้นซีโซดี (มิลลิกรัมต่อลิตร) จากสูตรในข้อ 4



ภาพน翁กที่ ข1 การวิเคราะห์ซีโซดีแบบเทียบสี

3.4 การเตรียมกราฟมาตรฐาน

เตรียมสารละลายน้ำมีต้องปริมาตร 100 มิลลิลิตร ที่มีความเข้มข้น 20, 80, 160, 250, 400, 600, 800 และ 1,000 มิลลิกรัมต่อลิตร โดยใช้สารละลายน้ำมีต้อง KHP ที่มีซีโอดีเข้มข้น 1,000 มิลลิกรัมต่อลิตร เจือจากกับน้ำกลั่นในอัตราส่วนดังแสดงในตารางข้างล่างนี้ (ปริมาตรของสารละลายน้ำที่ได้เท่ากับ 100 มิลลิลิตร)

ตารางผนวกที่ ช1 อัตราส่วนสารละลายน้ำกลั่นตามความเข้มข้นของซีโอดี

ซีโอดี, มก./ล.	20	80	160	250	400	600	800	1000
สารละลายน้ำ KHP, มล.	2	8	16	25	40	60	80	100
น้ำกลั่น, มล.	98	92	84	75	60	40	20	0

ย่อยตัวอย่างและวัดสีตามข้อ 2 และ 3 พล็อตกราฟระหว่าง Absorbance และปริมาณซีโอดี (มก.) จะได้กราฟเส้นตรง

4. การคำนวณ

$$\text{ซีโอดี, มิลลิกรัม } \text{O}_2/\text{ลิตร} = \frac{\text{ปริมาณซีโอดี (มก.)} \times 1000}{\text{มล. ของตัวอย่างน้ำ (มล.)}}$$

ภาคผนวก ค
การวิเคราะห์ปีโอลี

วิธีวิเคราะห์คำบีโอดี

วิธีวิเคราะห์น้ำดื่ม โดย Dilution method

1. เครื่องมือ

1.1 Incubation bottles (BOD Bottle) ปริมาตร 300 มล. มีจุกปิดเป็น ground-glass

1.2 air incubator หรือ water bath สามารถคงอุณหภูมิอยู่ในช่วง 20 ± 1 องศาเซลเซียส ทึบแสง เพื่อป้องกันการสังเคราะห์แสง

2. สารเคมี

สาระความมานะที่ใช้ในการวิเคราะห์หาค่าบีโอดี ประกอบด้วย

2.1 สารละลายฟอสเฟตบัฟเฟอร์

✓ Monobasic potassium phosphate (KH_2PO_4)	8.5	กรัม
Dibasic potassium phosphate (K_2HPO_4)	21.75	กรัม
Dibasic sodium phosphate ($\text{Na}_2\text{HPO}_4 \cdot 7\text{H}_2\text{O}$)	33.4	กรัม
Ammonium chloride (NH_4Cl)	1.7	กรัม

2.2 สารละลายเมกนีเชิ่ยมซัลเฟต

ละลาย $MgSO_4 \cdot 7H_2O$ 22.5 กรัม ในน้ำกลั่น แล้วเจือจางให้ได้ 1 ลิตร

2.3 สารละลายแคลเซียมคลอไรด์

ละลาย CaCl_2 27.5 กรัม ในน้ำกลั่น แล้วจีอิจางให้ได้ 1 ลิตร

2.4 สารละลายน้ำกรด-堿

ละลายน้ำ $\text{FeCl}_3 \cdot 6\text{H}_2\text{O}$ 0.25 กรัม ในน้ำกลั่น แล้วเจือจางให้ได้ 1 ลิตร

2.5 สารละลายน้ำกรด-堿 1 นอร์มอล สำหรับการปรับสภาพ pH ของตัวอย่าง

Acid – เติมน้ำ H_2SO_4 28 มล. ลงในน้ำกลั่น (คนขณะที่เติมกรดทีละน้อย) แล้วเจือจางให้ได้ 1 ลิตร

Alkali – ละลายน้ำ NaOH 40 กรัม ในน้ำกลั่น 1 ลิตร

2.6 ตัวยับยั้งปฏิกิริยาไนโตรฟิเกชัน (Nitrification inhibitor)

2-chloro-6-(trichloro methyl) pyridine

2.7 น้ำเจือจาง

1) เตรียมน้ำตัวอย่างปริมาณที่ต้องการใช้ไว้ในขั้นตอน

2) เตรียม สารละลายฟอสเฟตบัฟเฟอร์ แมกนีเซียมซัลไฟต์ แคลเซียมคลอไรด์ และ เพอร์วิคคลอไรด์ อายุร่วม 1 มล. ต่อน้ำกลั่น 1 ลิตร

3) ก่อนจะนำไปใช้เพื่อเจือจางตัวอย่าง ต้องปรับให้มีอุณหภูมิ 20 องศาเซลเซียสก่อน จากนั้นทำให้ออกซิเจนละลายน้ำอิ่มตัวในน้ำ อาจทำได้โดยเบี่ยงช่องที่มีน้ำอยู่เพียงครึ่งช่อง แรงๆ หรือ ใช้เครื่องเติมอากาศที่ผ่านการกรอง หรือ เก็บน้ำไว้ในขวดที่ปิดปากขวดด้วยสำลี เป็นเวลานานพอที่น้ำจะอิ่มตัวด้วยออกซิเจน

4) ควรตรวจสอบคุณภาพน้ำเจือจางด้วย โดยการหา DO_0 และ DO_5 ของน้ำเจือจาง ค่า DO uptake ในช่วง 5 วันของการบ่มไม่ควรเกิน 0.2 มก./ลิตร

3. การเตรียมตัวอย่างเพื่อการวิเคราะห์

3.1 ตัวอย่างที่มีความเป็นกรด - ด่างสูง

ให้ปรับพีโซของตัวอย่างให้อยู่ระหว่าง 6.5 ถึง 7.5 ด้วย H_2SO_4 หรือ NaOH 1 N หรือเลือกใช้ความเข้มข้นที่เหมาะสม ที่ไม่ทำให้ปริมาณที่เติมลงไปมีผลไปเจือจางน้ำตัวอย่างมากกว่า 0.5% การเจือจางตัวอย่างจะต้องไม่มีผลให้พีโซที่ปรับแล้วเปลี่ยนแปลง

3.2 ตัวอย่างที่มีคลอรินตกค้าง

ให้หลักเลี้ยงตัวอย่างพวณนี้ โดยเก็บตัวอย่างก่อนเติมคลอริน ถ้าตัวอย่างผ่านการเติมคลอรินแต่ตรวจไม่พบคลอรินตกค้าง ให้เติม seed ในน้ำเจือจางได้เลย แต่ถ้าพบคลอรินตกค้างให้กำจัดคลอรินก่อนเติม seed อย่างวิเคราะห์ตัวอย่างที่ผ่านการเติมคลอรินโดยไม่ได้เติม seed บางตัวอย่างคลอรินจะถลวยไปเองภายใน 1-2 ชั่วโมง ถ้าดังที่ว่าในที่ที่มีแสงสว่าง ถ้าไม่ถลวยไปเองอาจกำจัดได้ด้วยสารละลาย Na_2SO_3 ในปริมาณที่เหมาะสมซึ่งจะหาได้จากการวิเคราะห์ปริมาณคลอรินที่มีอยู่

3.3 ตัวอย่างที่มีสารที่เป็นพิษชนิดอื่นๆ

ของเสียจากอุตสาหกรรมบางอย่างอาจมี Toxic metals ปนอยู่ ให้ศึกษาและหาวิธีกำจัดที่เหมาะสม

3.4 ตัวอย่างที่มีปริมาณออกซิเจนละลายน้อยอย่างอื่นตัวอย่างเช่น

ตัวอย่างพวณนี้จะมีค่า DO สูงกว่า 9 มิลลิกรัมต่อลิตร ที่ 20 องศาเซลเซียส เช่น นำที่มีอุณหภูมิต่ำ หรือน้ำที่มีการสั่งเคราะห์แสลงมากๆ เพื่อป้องกันการสูญเสียออกซิเจน ระหว่างการบ่ม เชื้อ ให้ลดปริมาณการละลายของออกซิเจนลง โดยการเบี่ยงช่องด้วยแรงๆ หรือเป่าลมลงในตัวอย่าง

3.5 การปรับอุณหภูมิตัวอย่าง

ก่อนวิเคราะห์ตัวอย่าง หรือก่อนเจือจางตัวอย่างต้องปรับอุณหภูมิให้อยู่ประมาณ 20 ± 1 องศาเซลเซียส

3.6 การยับยั้งปฏิกิริยา Nitrification

เติม 2-chloro-6-(trichloromethyl) pyridine 3 มก. ลงในขวดน้ำอิโดดี หรือ เติมในน้ำเจือจาง ในปริมาณพอเพียงที่จะให้มีความเข้มข้นสุดเท่ากับ 10 มก./ล. ตัวอย่างที่อาจต้องการยับยั้ง nitrification คือ น้ำทึ้งจากโรงบำบัดน้ำทางชีววิทยา (รวมทั้งน้ำตัวอย่างที่เติม seed จากระบบบำบัดทางชีววิทยาด้วย) และ น้ำจากแม่น้ำ ทั้งนี้ให้บันทึกการยับยั้ง nitrogen ในรายงานการวิเคราะห์ด้วย

4. วิธีวิเคราะห์

4.1 ถ้าน้ำตัวอย่างมีปริมาณสารอินทรีย์มาก ต้องเจือจางน้ำตัวอย่าง โดยเลือกระดับการเจือจาง (ทำ 2-3 ระดับ) และวิธีเจือจางที่เหมาะสม

ใช้น้ำตัวอย่าง 3 ขวด ต่อระดับความเจือจางหนึ่งๆ สำหรับค่า DO โดย Azide

Modification Method

4.1.1 ใช้น้ำขวดที่ 1 หา DO ที่เวลาตั้งต้น (DO_0)

4.1.2 นำน้ำอีก 2 ขวด ไปทำ water seal ที่ปากขวด แล้วนำไปบ่มที่ 20 ± 1 องศา

เซลเซียส และระหว่างส่งส่วนด้วยเพื่อป้องกันการสั่นเคราะห์แสง เมื่อบ่มครบ 5 วัน(± 3 ชั่วโมง)

นำมาหาค่า DO_s

4.2 ทำ Dilution water blank

เพื่อเป็นการควบคุมคุณภาพของ Dilution water และความสะอาดของขวดน้ำไฮโดร ควรทำการทดสอบนี้ทุกๆครั้งที่ทำการวิเคราะห์น้ำไฮโดร โดยวิเคราะห์น้ำไฮโดรของน้ำเจือจากด้วยวิธีที่ใช้กับตัวอย่าง ค่า DO up take ของน้ำเจือจากไม่ควรเกิน 0.2 mg. /ลิตร

5. การคำนวณค่า น้ำไฮโดร

$$BOD_{5, \text{ mg/L}} = (D_1 - D_2) P$$

โดยที่ $D_1 = DO$ ของตัวอย่างก่อนเข้า Incubator (มิลลิกรัมต่อลิตร)

$D_2 = DO$ ของน้ำตัวอย่างหลังจากบ่มเป็นระยะเวลา 5 วัน ที่ 20 องศาเซลเซียส (มิลลิกรัมต่อลิตร)

$P = \frac{\text{ปริมาตรขวดน้ำไฮโดร}}{\text{ปริมาตรตัวอย่าง}}$

ภาคผนวก ๔
ตารางบันทึกผลการทดสอบ

ตารางผนวกที่ ง1 ค่า D0 และ D5 นำเข้าระบบของนำเสียสังเคราะห์

ระบบ (มิลลิกรัมต่อลิตร)	D0	D5	D5	เปอร์เซ็นต์ การเจือจาง
100 - 200	7	4.5	4.7	2
200 - 300	7.1	2.3	2.2	2
350 - 450	7.2	3	3.2	1
550 - 650	7.1	4	4	0.5
750 - 850	7	3.1	3	0.5
950 -1050	7	2.3	2	0.5

ตารางผนวกที่ ง2 ค่า D0 และ D5 นำออกระบบของนำเสียสังเคราะห์

ระบบ (มิลลิกรัม ต่อลิตร)	ช่วงบีโอดี นำเสียที่เข้า			ช่วงบีโอดี นำเสียที่ออก			เปอร์เซ็นต์ การเจือจาง
	D0	D5	D5	D0	D5	D5	
100 - 200	7.2	4.6	4.7	7.1	4.8	4.9	10
200 - 300	7	3.4	3.6	7	3.7	3.6	10
350 - 450	7.2	4.4	4.5	7.1	4.6	4.6	5
550 - 650	7.2	3	3	7.1	3.2	3.4	5
750 - 850	7	4.5	4.6	7.1	4.7	4.9	2
950 -1050	7.1	3.6	3.8	7.1	3.8	3.7	2

ตารางผนวกที่ ๑๓ ค่า D0 และ D5 นำเข้าระบบของนำากส่า

ระบบ (มิลลิกรัมต่อลิตร)	D0	D5	D5	เปอร์เซ็นต์ การเจือจาง
100 - 200	7	4.4	4.2	2
200 - 300	7.1	2.3	2.2	2
350 - 450	7.2	3.5	3.2	1
550 - 650	7.1	4	3.7	0.5
750 - 850	7	3.2	3.3	0.5
950 -1050	7	2.3	2	0.5

ตารางผนวกที่ ๑๔ ค่า D0 และ D5 นำ้ออกรอบของนำากส่า

ระบบ (มิลลิกรัม ต่อลิตร)	ช่วงบีโอดี นำําเสียที่เข้า			ช่วงบีโอดี นำําเสียที่ออกเพลิงกุลชีพเซลล์ที่ 1			ช่วงบีโอดี นำําเสียที่ออกเพลิงกุลชีพเซลล์ที่ 2			เปอร์เซ็นต์ การเจือจาง
	D0	D5	D5	D0	D5	D5	D0	D5	D5	
100 - 200	7.2	2.1	2.2	7	2.3	2.3	7	2.3	2.3	10
200 - 300	7	2.4	2.6	7	2.7	2.8	7	2.7	2.8	10
350 - 450	7.2	3.2	3	7.1	3.1	3.4	7.1	3.1	3.4	5
550 - 650	7	3	2.8	7.1	2.9	3	7.1	2.9	3	5
750 - 850	7	4.5	4.4	7	4.6	4.7	7	4.6	4.7	2
950 -1050	7.1	3.2	3	7.2	3.3	3.5	7.2	3.3	3.5	2

ตารางผนวกที่ ๔๕ ค่า D0 และ D5 นำเข้าระบบของนำเสียโรงอาหาร

ระบบ (มิลลิกรัมต่อลิตร)	D0	D5	D5	เปอร์เซ็นต์ การเจือจาง
100 - 200	7	4.5	4.6	2
200 - 300	7	2	2.4	2
350 - 450	7.1	2.8	3.2	1
550 - 650	7.2	4	4.2	0.5
750 - 850	7	3	2.9	0.5
950 -1050	7	2.4	2	0.5

ตารางผนวกที่ ๔๖ ค่า D0 และ D5 นำออกระบบของนำเสียโรงอาหาร

ช่วงบีโอดี นำเสียที่เข้า	เซลล์เชื้อเพลิงชุดชีพเซลล์ที่ 1			เซลล์เชื้อเพลิงชุดชีพเซลล์ที่ 2			
ระบบ (มิลลิกรัม ต่อลิตร)	D0	D5	D5	D0	D5	D5	การเจือจาง
100 - 200	7.2	3.1	2.9	7.1	3	3.1	10
200 - 300	7.2	3.3	3.6	7.1	3.5	3.4	10
350 - 450	7	4.1	4.4	7	3.9	4.2	5
550 - 650	7.1	4	4.5	7	3.9	4.1	5
750 - 850	7	4.7	4.6	7	4.9	4.8	2
950 -1050	7	4	4.1	7.1	3.7	3.8	2

ตารางผนวกที่ ๔๗ ค่าบีโอดีของน้ำเสียเข้าและออกระบบของน้ำเสียสังเคราะห์

ช่วงบีโอดีน้ำเสีย (มิลลิกรัมต่อ ลิตร)	ค่าบีโอดีน้ำเสียที่ เข้าระบบ (มิลลิกรัมต่อ ลิตร)	ค่าบีโอดีน้ำเสียที่ออกระบบ (มิลลิกรัมต่อลิตร)		
		เชลล์เชื้อเพลิงจุล ชีพเชลล์ที่ 1	เชลล์เชื้อเพลิงจุล ชีพเชลล์ที่ 2	ค่าเฉลี่ยบีโอดีน้ำ เสียที่ออกระบบ
100 - 200	120.0	25.5	22.5	24.0
200 - 300	242.5	35.0	33.5	34.3
350 - 450	410.0	55.0	25.0	40.0
550 - 650	620.0	84.0	76.0	80.0
750 - 850	790.0	122.5	115.0	118.8
950 -1050	970.0	170.0	167.5	168.8

ตารางผนวกที่ ๔๘ ค่าบีโอดีของน้ำเสียเข้าและออกระบบของน้ำากาส่า

ช่วงบีโอดีน้ำเสีย (มิลลิกรัมต่อ ลิตร)	ค่าบีโอดีน้ำเสียที่ เข้าระบบ (มิลลิกรัมต่อ ลิตร)	ค่าบีโอดีน้ำเสียที่ออกระบบ (มิลลิกรัมต่อลิตร)		
		เชลล์เชื้อเพลิงจุล ชีพเชลล์ที่ 1	เชลล์เชื้อเพลิงจุล ชีพเชลล์ที่ 2	ค่าเฉลี่ยบีโอดีน้ำ เสียที่ออกระบบ
100 - 200	135.0	49.5	47.0	48.3
200 - 300	242.5	90.0	87.0	88.5
350 - 450	385.0	136.7	128.3	132.5
550 - 650	650.0	205.0	207.5	206.3
750 - 850	780.0	255.0	235.0	245.0
950 -1050	970.0	390.0	380.0	385.0

ตารางผนวกที่ ๑๙ ค่าบีโอดีของน้ำเสียเข้าและออกระบบของน้ำเสียโรงอาหาร

ช่วงบีโอดีน้ำเสีย (มิลลิกรัมต่อลิตร)	ค่าบีโอดีน้ำเสียที่เข้าระบบ (มิลลิกรัมต่อลิตร)	ค่าบีโอดีน้ำเสียที่ออกระบบ (มิลลิกรัมต่อลิตร)		
		เชลล์เชื้อเพลิงจุด ซีพเชลล์ที่ 1	เชลล์เชื้อเพลิงจุด ซีพเชลล์ที่ 2	ค่าเฉลี่ยบีโอดีน้ำเสียที่ออกระบบ
100 - 200	122.5	40.0	40.5	40.3
200 - 300	240.0	75.0	73.0	74.0
350 - 450	410.0	91.7	98.3	95.0
550 - 650	620.0	142.5	150.0	146.3
750 - 850	810.0	235.0	215.0	225.0
950 -1050	9760.0	295.0	335.0	315.0

ตารางผนวกที่ ๑๐ ค่าการดูดกลืนแสง (Absorbance) น้ำเข้าระบบของน้ำเสียสังเคราะห์

ช่วงบีโอดีน้ำเสีย ที่เข้าระบบ (มิลลิกรัมต่อลิตร)	ค่าการดูดกลืนแสง (Absorbance)			เปอร์เซ็นต์การเจือจาง
	ตัวอย่างที่ 1	ตัวอย่างที่ 2	ตัวอย่างที่ 3	
100 - 200	0.069	0.07	0.07	-
200 - 300	0.127	0.128	0.128	-
350 - 450	0.22	0.21	0.2	-
550 - 650	0.321	0.33	0.314	-
750 - 850	0.405	0.409	0.405	-
950 -1050	0.265	0.264	0.264	50

ตารางผนวกที่ ง11 ค่าการดูดกลืนแสง (Absorbance) นำ้ออกระบบทองน้ำเสียสังเคราะห์

ช่วงบีโอดี น้ำเสียที่เข้า ระบบ (มิลลิกรัม ต่อลิตร)	ค่าการดูดกลืนแสง (Absorbance)						เปลอร์เซ็นต์ การเจือ จาง	
	เซลล์เชื้อเพลิงจุลชีพเซลล์ที่ 1			เซลล์เชื้อเพลิงจุลชีพเซลล์ที่ 2				
	ตัวอย่าง ที่ 1	2	3	1	2	3		
100 - 200	0.015	0.018	0.016	0.015	0.019	0.016	-	
200 - 300	0.021	0.023	0.02	0.021	0.023	0.024	-	
350 - 450	0.031	0.033	0.034	0.033	0.035	0.035	-	
550 - 650	0.061	0.057	0.059	0.06	0.057	0.062	-	
750 - 850	0.076	0.074	0.076	0.075	0.075	0.074	-	
950 -1050	0.055	0.057	0.055	0.056	0.058	0.057	50	

ตารางผนวกที่ ง12 ค่าการดูดกลืนแสง (Absorbance) นำ้าเข้าระบบของน้ำภาคล่า

ช่วงบีโอดีน้ำเสีย ที่เข้าระบบ (มิลลิกรัมต่อ ลิตร)	ค่าการดูดกลืนแสง (Absorbance)			เปลอร์เซ็นต์การ เจือจาง	
	ตัวอย่างที่ 1				
	ตัวอย่างที่ 2	ตัวอย่างที่ 3	ตัวอย่างที่ 3		
100 - 200	0.167	0.165	0.167	-	
200 - 300	0.299	0.302	0.3	-	
350 - 450	0.238	0.236	0.238	50	
550 - 650	0.359	0.353	0.357	50	
750 - 850	0.094	0.096	0.097	10	
950 -1050	0.125	0.124	0.125	10	

ตารางผนวกที่ ง13 ค่าการดูดกลืนแสง (Absorbance) นำ้ออกระบบทองนำ้ภาคล่า

ระบบ (มิลลิกรัม ต่อลิตร)	ค่าการดูดกลืนแสง (Absorbance)						เบอร์เซ็นต์ การเจือ จาง	
	เซลล์เชื้อเพลิงจุลชีพเซลล์ที่ 1			เซลล์เชื้อเพลิงจุลชีพเซลล์ที่ 2				
	ตัวอย่างที่ 1	2	3	1	2	3		
100 - 200	0.108	0.11	0.109	0.109	0.109	0.108	-	
200 - 300	0.197	0.195	0.196	0.193	0.189	0.19	-	
350 - 450	0.164	0.163	0.16	0.156	0.155	0.156	50	
550 - 650	0.244	0.253	0.25	0.237	0.24	0.24	50	
750 - 850	0.067	0.063	0.066	0.068	0.067	0.066	10	
950 -1050	0.088	0.085	0.085	0.086	0.088	0.086	10	

ตารางผนวกที่ ง14 ค่าการดูดกลืนแสง (Absorbance) นำ้าเข้าระบบของนำ้เสียโรงอาหาร

ช่วงบีโอดีนำ้เสีย ที่เข้าระบบ (มิลลิกรัมต่อ ลิตร)	ค่าการดูดกลืนแสง (Absorbance)			เบอร์เซ็นต์การ เจือจาง
	ตัวอย่างที่ 1	ตัวอย่างที่ 2	ตัวอย่างที่ 3	
100 - 200	0.134	0.134	0.136	-
200 - 300	0.259	0.263	0.26	-
350 - 450	0.208	0.216	0.21	50
550 - 650	0.33	0.333	0.35	50
750 - 850	0.085	0.082	0.084	10
950 -1050	0.107	0.108	0.105	10

ตารางผนวกที่ ง15 ค่าการดูดกลืนแสง (Absorbance) นำ้ออกรอบของน้ำเสียโรงอาหาร

ช่วงบีโอดี น้ำเสียที่เข้า ระบบ (มิลลิกรัม ต่อลิตร)	ค่าการดูดกลืนแสง (Absorbance)						การเจือ จาง เบอร์เซ็นต์	
	เซลล์เชื้อเพลิงจุลชีพเซลล์ที่ 1			เซลล์เชื้อเพลิงจุลชีพเซลล์ที่ 2				
	ตัวอย่าง ที่ 1	2	3	1	2	3		
100 - 200	0.07	0.067	0.067	0.069	0.067	0.067	-	
200 - 300	0.127	0.125	0.128	0.113	0.117	0.115	-	
350 - 450	0.086	0.089	0.088	0.084	0.082	0.083	50	
550 - 650	0.141	0.136	0.138	0.138	0.14	0.137	50	
750 - 850	0.034	0.029	0.033	0.032	0.031	0.031	10	
950 -1050	0.048	0.045	0.047	0.043	0.043	0.039	10	

ตารางผนวกที่ ง16 ค่าซีโอดีของน้ำเสียเข้าและออกรอบของน้ำเสียสังเคราะห์

ช่วงซีโอดีน้ำเสีย (มิลลิกรัมต่อลิตร)	ค่าซีโอดีน้ำเสียที่ เข้าระบบ (มิลลิกรัมต่อลิตร)	ค่าซีโอดีน้ำเสียที่ออกรอบ (มิลลิกรัมต่อลิตร)			ค่าเฉลี่ยซีโอดีน้ำ เสียที่ออกรอบ
		เซลล์เชื้อเพลิงจุล ชีพเซลล์ที่ 1		เซลล์เชื้อเพลิงจุล ชีพเซลล์ที่ 2	
		1	2	3	
100 - 200	161.6	37.9	38.7	38.3	
200 - 300	296.2	49.5	52.6	51.0	
350 - 450	487.2	75.8	79.7	77.7	
550 - 650	746.3	136.9	138.4	137.7	
750 - 850	942.8	174.8	173.2	174.0	
950 -1050	1226.6	258.3	264.5	216.4	

ตารางผนวกที่ ง17 ค่าซีไอดีของน้ำเสียเข้าและออกระบบของน้ำภาคส่า

ช่วงซีไอดีน้ำเสีย (มิลลิกรัมต่อลิตร)	ค่าซีไอดีน้ำเสียที่เข้าระบบ (มิลลิกรัมต่อลิตร)	ค่าซีไอดีน้ำเสียที่ออกระบบ (มิลลิกรัมต่อลิตร)		
		เชลล์เชื้อเพลิงจุด ชีพเชลล์ที่ 1	เชลล์เชื้อเพลิงจุด ชีพเชลล์ที่ 2	ค่าเฉลี่ยซีไอดีน้ำเสียที่ออกระบบ
100 - 200	390.9	256.2	255.4	255.8
200 - 300	705.8	460.6	448.1	454.4
350 - 450	1115.6	763.0	731.7	747.4
550 - 650	1674.9	1170.4	1123.4	1146.9
750 - 850	2248.3	1535.4	1574.6	1555.0
950 -1050	2929.9	2021.2	2036.8	2029.0

ตารางผนวกที่ ง18 ค่าซีไอดีของน้ำเสียเข้าและออกระบบของน้ำเสียโรงอาหาร

ช่วงซีไอดีน้ำเสีย (มิลลิกรัมต่อลิตร)	ค่าซีไอดีน้ำเสียที่เข้าระบบ (มิลลิกรัมต่อลิตร)	ค่าซีไอดีน้ำเสียที่ออกระบบ (มิลลิกรัมต่อลิตร)		
		เชลล์เชื้อเพลิงจุด ชีพเชลล์ที่ 1	เชลล์เชื้อเพลิงจุด ชีพเชลล์ที่ 2	ค่าเฉลี่ยซีไอดีน้ำเสียที่ออกระบบ
100 - 200	321.2	159.8	159.0	159.4
200 - 300	611.8	297.7	270.3	284.0
350 - 450	993.3	412.1	390.1	401.1
550 - 650	1587.2	650.2	650.2	650.2
750 - 850	1966.3	752.1	736.4	744.2
950 -1050	2506.9	1096.7	979.2	1038.0

ประวัติการศึกษา และการทำงาน

ชื่อ – นามสกุล	ณัฐสิริ แสงธรรมชร
วัน เดือน ปี ที่เกิด	21 มิถุนายน 2527
สถานที่เกิด	นนทบุรี
ประวัติการศึกษา	วิศวกรรมศาสตรบัณฑิต (วิศวกรรมเกษตร)
ตำแหน่งหน้าที่การงานปัจจุบัน	-
สถานที่ทำงานปัจจุบัน	-
ผลงานคีเด่นและรางวัลทางวิชาการ	-
ทุนการศึกษาที่ได้รับ	กองทุนเพื่อส่งเสริมการอนุรักษ์พลังงาน สำนักงานนโยบายและแผนพัฒนา ประจำปีงบประมาณ 2550